

TECHNICKÁ UNIVERZITA  
V LIBERCI

FAKULTA STROJNÍ

KATEDRA OBRÁBĚNÍ A MONTÁŽE

VÝZNAM ČASOVÉHO PRŮBĚHU ŘEZNÉ SÍLY  
PŘI BROUŠENÍ VÁLCOVÝCH PLOCH

DISERTAČNÍ PRÁCE

UNIVERZITNÍ KNIHOVNA  
TECHNICKÉ UNIVERZITY V LIBERCI



3146071356

Vypracoval : Ing. František Holešovský

Školitel : Doc.Ing.Vladimír Gabriel, CSc.

Vedoucí katedry : Doc.Ing.Vladimír Gabriel, CSc.

Ústí nad Labem leden 1997

KOM 124 s., 5 příloha  
obr. graf. 13 tab.

11297 1

de UK Mat.98

## A N O T A C E

Zpracoval : Ing. František Holešovský

MDT : 621, 923

### Význam časového průběhu řezné sily při broušení válcových ploch

Práce vychází ze shrnutí dosavadních znalostí o závislostech jednotlivých veličin procesu broušení. Současná etapa v technologii obrábění a ve výrobních procesech všeobecně směřuje ke snížování podílu lidské práce, zvyšování stupně automatizace za přispění robotizace.

Práce je proto zaměřena na zjištění závislostí průběhu vyjiskřovací fáze broušení ( vyjiskřovací křivky ) a výstupní charakteristiky povrchu dané drsností povrchu  $R_a$ . Je vytvořena matematická závislost mezi vyjiskřovací křivkou a touto drsností povrchu, stejně tak matematický popis strmosti vyjiskřovací křivky.

Počet stran : 124

Počet příloh : 5

Počet obrázků : 75

Počet tabulek : 24

## **Obsah.**

Anotace .....	2
Obsah .....	3
Seznam použitých symbolů.....	5
Úvod .....	10
1.0 Historie obrábění .....	12
2.0 Problematika broušení .....	15
2.1 Současný stav .....	15
2.2 Vlivy na proces broušení .....	18
2.3 Charakteristika procesu broušení .....	20
2.3.1 Podstata a zvláštnosti procesu broušení .....	20
2.3.2 Charakteristické veličiny procesu broušení .....	22
2.3.2.1 Vstupní veličiny .....	23
2.3.2.2 Veličiny průběhu procesu .....	28
2.3.2.3 Přímé výstupní veličiny .....	41
2.3.2.4 Složené veličiny nepřímé .....	48
2.4 Shrnutí .....	49
3.0 Experimentální část .....	53
3.1 Formulace problému .....	53
3.2 Expertní systémy .....	55
3.3 Matematické modelování .....	57
3.4 Podmínky experimentu .....	60
3.4.1 Experiment .....	60
3.4.1.1 Plánování experimentů .....	61
3.4.2 Materiální zajištění experimentu .....	62
3.4.2.1 Vybavení pracoviště .....	62
3.4.2.2 Brousící materiál .....	65
3.4.2.3 Materiál obrobku .....	65
3.4.2.4 Řezná kapalina .....	66
3.5 Metodika měření .....	67
3.5.1 Uchovávání dat .....	70
3.5.2 Plánování experimentu .....	71
3.5.3 Nosné veličiny .....	72
3.5.3.1 Časová závislost řezné sily .....	72

3.5.4 Provedení experimentu .....	77
4.0 Vyhodnocení experimentu .....	78
4.1 Vztah drsnosti povrchu a vyjiskřovací fáze .....	78
4.1.1 Jednoduchá závislost .....	78
4.1.2 Vícenásobná závislost .....	82
4.2 Závislost strmosti vyjiskřovací křivky .....	93
4.2.1 Jednoduché závislosti .....	93
4.2.2 Vícenásobná závislost .....	96
4.2.3 Jiné závislosti .....	97
4.3 Aplikace a využití nových poznatků .....	114
5.0 Závěr .....	117
Literatura .....	119

## SEZNAM POUŽITÝCH SYMBOLŮ :

a	mm	celková hloubka odebíraného materiálu obrobku
$a_d$	$\mu\text{m}$	orovnávací záběr
$a_z$	mm	tloušťka třísky odebraná jedním zrnem
$a_{zstr}$	mm	střední tloušťka třísky odebíraná jedním zrnem
$a_e$	mm	pracovní záběr
A		kriterium počátečního impulzu
$A'$		koeficient
$A, A_1, A_2$		koeficienty
$b_j$	mm	šířka třísky odebíraná jedním zrnem
$b_d$	mm	šířka broušené plochy
$B_s$	mm	šířka brousicího kotouče
$B_d$	mm	délka kontaktní oblasti orovnavače
c	$\text{J} \cdot \text{kg}^{-1} \cdot \text{K}^{-1}$	měrné teplo
C		konstanta vyjiskřovací křivky
$c_k, c_{wg}, c_{gw}, c_p, c_{Ra}$		koeficienty
$c_a, c_w, c_g$		koeficienty
$d_{eq}$		ekvivalentní průměr
$d_s$	mm	průměr brousicího kotouče
$d_w$	mm	průměr obrobku
D	mm	průměr brousicího kotouče
d	mm	průměr obrobku
$e_c$	$\text{J} \cdot \text{mm}^{-3}$	měrná energie broušení
$e, e_1 \dots e_8$		exponenty
E	$\text{kN} \cdot \text{mm}^{-2}$	modul pružnosti v tahu
f		exponent diagramu broušení
$f_a$	mm/ot.	rychlosť podélného posuvu vztažená na 1 otáčku obrobku
$f_r$	mm/ot.	rychlosť přičného posuvu vztažená na 1 otáčku obrobku
$f_d$	mm/ot.	rychlosť posuvu orovnavače vztažená na 1 otáčku brousicího kotouče
$F_{CL}$	N	velikost upínací síly hrotů
$F_n$	N	normálová složka řezné síly

$F'_n$	$N \cdot mm^{-1}$	normálová složka řezné síly vztažena na šířku 1 mm broušené plochy
$F_t$	N	tangenciální složka řezné síly
$F'_t$	$N \cdot mm^{-1}$	tangenciální složka řezné síly vztažena na šířku 1 mm broušené plochy
$F_a$	N	axiální složka řezné síly
$F'_{n1}$	$N \cdot mm^{-1}$	normálová složka řezné síly při $h_{eq}=1\mu m$
$F'_{t1}$	$N \cdot mm^{-1}$	tangenciální složka řezné síly při $h_{eq}=1\mu m$
$F'_s$	$N \cdot mm^{-1}$	měrná prahová síla
G		poměrný objemový obrus
$G_1$		poměrný objemový obrus při $h_{eq}=1\mu m$
h	mm	hloubka vtisku
$h_{eq}$	$\mu m$	ekvivalentní tloušťka třísky
HVm		mikrotvrďost Vickers
$h_v$	$\mu m$	vzdálenost od povrchu
$k_Q$	$mm^3 \cdot s^{-1} \cdot N^{-1}$	řezná schopnost, koeficient řezivosti ( Lurje, Maslov)
$k_r$	$mm^3 \cdot N^{-1} \cdot s^{-1}$	součinitel řezivosti nástroje
$k, k_1 \dots k_{12}$		koeficienty
$k_s$	$N \cdot mm^{-1}$	tuhost soustavy
$k_y$	$m \cdot s^{-1} \cdot N^{-1}$	řezivost ( Majkus )
$l_k$	mm	kinematická délka stykového oblouku
$l_s$	mm	střední vzdálenost mezi zrny brusiva
$l_w$	mm	délka broušené plochy
l	$\mu m$	délka hodnoceného úseku drsnosti
L	mm	kinematická délka stykového oblouku
$L_{pl}$	mm	kinem.délka styk oblouku pro rovinné brouš. obvodem brousicího kotouče
$L_n$	mm	kinem. délka styk.oblouku pro vnější válcové broušení
$M_h$		modelové hodnoty
m		exponent
$n_s$	$min^{-1}$	frekvence otáčení brousicího kotouče
$n_{zc}$	ks	počet činných zrn brusiva na $1mm^2$ nástroje

$n_w$	$\text{min}^{-1}$	frekvence otáčení obrobku
$p_f$	MPa	tlak řezné kapaliny
$p$	MPa	měrný řezný odpor
$P$	kW	výkon
$p, z, q, w, \mu, n$		exponenty vztahu výpočtu drsnosti $R_a$ (Maslov)
$q$	-	rychlostní poměr
$Q_f$	$1 \cdot \text{min}^{-1}$	množství řezné kapaliny
$Q_s$	$\text{mm}^3 \cdot \text{s}^{-1}$	rychlosť opotřebení brousicího kotouče
$Q'_s$	$\text{mm}^3 \cdot \text{mm}^{-1} \cdot \text{s}^{-1}$	rychlosť opotřebení na jednotku aktivní šířky brousicího kotouče
$Q_w$	$\text{mm}^3 \cdot \text{s}^{-1}$	objemový výkon
$Q'_w$	$\text{mm}^3 \cdot \text{mm}^{-1} \cdot \text{s}^{-1}$	objemový výkon na jednotku aktivní šířky kotouče
$R_a$	$\mu\text{m}$	střední aritmetická úchylka profilu
$R_z$	$\mu\text{m}$	střední výška nerovností profilu měřená na pěti základních úsečích
$R_m$	$\mu\text{m}$	maximální výška nerovností profilu stanovená na pěti základních úsečích
$R_t$	$\mu\text{m}$	největší hloubka nerovností profilu uvnitř vyhodnocovaného úseku
$R_y$	$\mu\text{m}$	největší výška nerovností profilu ( DIN )
$R_a^d$	$\mu\text{m}$	drsnost povrchu po vyjiskřování
$R_{a1}$	$\mu\text{m}$	střední aritmetická úchylka profilu při $h_{eq}=1\mu\text{m}$
$R_p$	MPa	mez kluzu materiálu
$R_{ts0h}$	$\mu\text{m}$	teoretická výchozí drsnost povrchu
$\Delta r_s$	mm	radiální opotřebení brous. kotouče
$r$		exponent diagramu broušení
$r_z$	mm	střední poloměr zrna
$S_h$		skutečné hodnoty
$S$	$\text{mm}^2$	velikost plochy
$S_{ts}$	$\text{mm}^2$	střední průřez trásky odebraný 1 zrnem
$S_n$	$\text{mm}^2$	činná plocha nástroje
$\operatorname{tg}\beta$		strmost vyjiskřovací křivky
$t$	min	čas

$T, T_1$		časová konstanta
$T_n$	min	trvanlivost ostří
$u_d$	$\text{mm} \cdot \text{min}^{-1}$	rychlosť orovnávania
$U$	$\text{mm}^{-2}$	kriterium strmosti práce
$v_c$	$\text{m} \cdot \text{s}^{-1}$	řezná rychlosť
$v_s$	$\text{m} \cdot \text{s}^{-1}$	pracovní rychlosť brousicího kotouče
$v_{fr}$	$\text{mm} \cdot \text{min}^{-1}$	rychlosť radiálneho pŕísuvu brousicího kotouče
$v_{fa}$	$\text{mm} \cdot \text{min}^{-1}$	rychlosť axiálneho posuvu brousicího kotouče (obrobku)
$V_s$	$\text{mm}^3$	objemové opotřebení brousicího kotouče
$V'_s$	$\text{mm}^3 \cdot \text{mm}^{-1}$	objemové opotřebení brousicího kotouče na jednotku jeho aktivnej šírky
$V_w$	$\text{mm}^3$	množstvo odebraného materiálu
$V'_w$	$\text{mm}^3 \cdot \text{mm}^{-1}$	množstvo odebraného materiálu na jednotku aktivnej šírky brous. kotouče
$v_w$	$\text{m} \cdot \text{min}^{-1}$	obvodová rychlosť obrobku
$\Delta V$	$\mu\text{m}$	odchylka geom. tvaru
$w$		exponent diagramu broušení
$x, y, z$		souřadnice os; neznámé veličiny
$x$		střední hodnota
$\Delta x$		rozdíl $x - x$
$y$		střední hodnota
$\Delta y$		rozdíl $y - y$
$y_{def}$	mm	velikost deformace
$y_{pmax}$	$\mu\text{m}$	maximální výška nerovnosti profilu
$y_{vmax}$	$\mu\text{m}$	maximální hloubka nerovnosti profilu
$z$		střední hodnota
$\Delta z$		rozdíl $z - z$
$z_s$	$\text{kusů} \cdot \text{mm}^{-3}$	měrná hustota zrn v brousicím kotouči
$\alpha$	$\text{J} \cdot \text{m}^{-2} \cdot \text{s}^{-1} \cdot \text{K}^{-1}$	součinitel tepelné vodivosti
$\alpha_p$	$\text{mm}^2 \cdot \text{s}^{-1}$	měrná teplotní vodivost
$\alpha$		úhel vyjískrovací křivky
$\alpha_o$		ortogonální úhel hřbetu
$\beta$		úhel vyjískrovací křivky

$\gamma$		úhel čela
$\gamma_0$		ortogonální úhel čela
$\sigma$	MPa	napětí
$\tau$	s	čas
$\omega$		úhel tření
$\Theta$	J	množství tepla
$\Theta_z$	°C	kontaktní teplota
$\Theta_0$	°C	okamžitá teplota
$\Theta_k$	°C	styková teplota
$\Theta_s$	°C	střední teplota
$\lambda$	W.m <sup>-1</sup> .K <sup>-1</sup>	měrná tepelná vodivost
$\psi$		koeficient broušení ( +1 - brouš. vnějších válc.ploch, -1 - brouš.vnitřních válc.ploch, 0 - brouš.roviných ploch )
$\rho$	kg.m <sup>-3</sup>	měrná hmotnost materiálu
$\mu$		koeficient broušení
$\lambda_{KE}$	mm	efektivní vzdálenost mezi zrny brusiva

## Úvod.

Současné období je charakterizováno bouřlivým rozvojem nových technologií, což je vyvoláno požadavkem nových netradičních konstrukcí strojů a zařízení, rozvojem v oblasti nových materiálů a jejich použití při konstrukcích zejména z hlediska požadavků na pevnost, hmotnost a životnost. Výroba je úzce spojena s ekonomickou sférou a musí tedy daleko pružněji řešit zavádění dalších inovací, současně však dochází ke zkracování period těchto inovačních cyklů. Zaplňování trhu konkurenčními produkty vyvolává požadavek na snižování nákladovosti výroby, zvyšování výsledného efektu atď ve formě zisku či nepřímo formou zvyšování kvality, úspory zdrojů a podobně.

Tyto skutečnosti jsou úzce svázány s rozvojem technologií, kdy technologie výroby musí zajišťovat výše uvedené požadavky. Jedná se mimo jiné o technologie zvyšující kvalitu výrobků, kam patří i metody dokončování povrchu součástí. Mezi dokončovací metody technologií obrábění patří již tradičně broušení, honování, lapování, superfiniš a dále modernější metody jako broušení kmitající páskou, plastické broušení a další.

Skutečně efektivní využití všech technologií však závisí ještě na dalším činiteli. Tímto činitelem je podíl lidské práce na výrobní technologii. Z toho vyplývá, že požadavkem nových technologií a technologií moderních je možnost jejich maximálního využití v automatickém cyklu. U běžných tradičních technologií obrábění je tento problém v podstatě vyřešen (soustružení, frézování atd.). Komplikace vznikají u technologií, kde nelze jednoznačně stanovit výsledek procesu při určitých vstupních podmínkách. To znamená, že vliv vstupních a pracovních podmínek je komplexním jevem, kde jednotliví činitelé se vzájemně ovlivňují při současné změně dalších parametrů řezného procesu. Mezi takto pojaté technologie patří obrábění mnohobřitými nástroji s obtížně definovatelnou geometrií břitů, jejímž představitelem je především broušení. Brousicí nástroj je tvořen množstvím

jednotlivých zrn s různou geometrií řezné části, kdy se velikost řezných úhlů pohybuje v poměrně širokém rozmezí.

Řezné podmínky pro broušení jsou stanovovány informativně s tím, že definitivní podmínky určí kvalifikovaná obsluha stroje v závislosti na dosažených výsledcích.

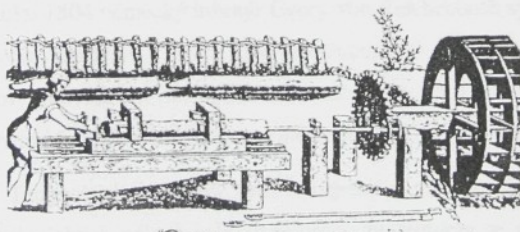
Řada výzkumných prací řeší více či méně úspěšně otázku jednoznačného stanovení závislosti výsledku broušení vzhledem ke vstupním a pracovním podmínkám. Předložená práce uvedené poznatky shrnuje a metodou experimentu hledá nejvhodnější model pro použití při automatickém řízení výrobního stroje - brusky, současně se snaží dokázat souvislost mezi závěrečnou fází časového průběhu řezné síly a kvalitou povrchu broušené součásti.

## 1.0 HISTORIE OBRÁBĚNÍ

V období 600 let př.Kristem jsou zaznamenány pokusy o broušení drahokamů, kdy tato technologie byla kolem roku 532 zdokonalena matematikem, vynálezcem a technikem Theodorosem. První zmínkou o broušení kovů je období kolem 200 let př.Kristem, kdy v Řecku a Římské říši začali běžně používat železné pilníky pro uhlazování železa. Uhlazování železa je vlastně ruční obrábění kovu, nyní snad lapování, kdy k úběru materiálu dochází mnohobřitým nástrojem. Železné nástroje se vyráběly kováním, posléze byly broušeny brusnými kameny a v závěru pilovány. Brusné kamenné tvořily přírodní materiály z Kréty a Lakedonie.

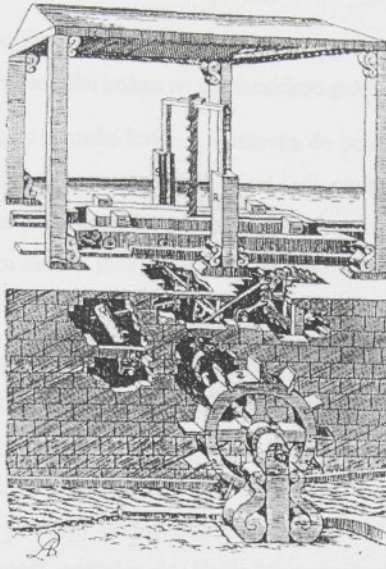
První obráběcí stroje - zařízení nahrazující a ulehčující ruční práci, se objevují v 16.století ( obr.1.1, obr.1.2 ). Jedním z prvních strojů byla závitnice Francouze Jacquese Bessona ( 1568 ). Stroje byly vyrobeny ze dřeva, výrobky nebyly tedy zvláště přesné. Koncem 17. a počátkem 18. století se začínají používat vrtačky na kovy a stroje na obrábění ozubených kol. Na základě již existujících soustruhů na dřevo vznikají soustruhy pro opracování kovů.

Velký rozmach ve výrobě obráběcích strojů a technologií obrábění zaznamenala v 18.stol. Anglie, kdy tento rozmach byl vyvolán zejména rychlým rozvojem textilního průmyslu.



*Vodním kolem poháněný stroj na provrtání kmene stromu po délce (pro vodovodní potrubí), zobrazený francouzským inženýrem Salomonem de Caus v díle: Les raisons de forces mouvantes, 1615.*

obr.1.1



Zobrazení rámové pily v díle Klenotnice mechanického umění francouzského královského inženýra Augustina de Ramelli z roku 1620. V popisu pod obrázek se uvádí: „Jak je možné pilovat velké kusy dřeva pomocí vodního proudu a z nich řezat desky nebo prkna . . .“; vodní koloto nepoháně jen vlastní pilu, ale působí i při posuvání opracovávaného dřeva. Pily byly budovány v blízkosti vodních toků i v českých zemích.

obr.1.2

Bylo nutno stále více se od dřeva orientovat na kovové materiály. Současně bylo nutné zvýšit přesnost výrobků. Průkopníky ve stavbě obráběcích strojů byli konstruktéři Henry Mandslay, Richard Roberts, Joseph Whitworth a James Nasmyth. Pravděpodobně jeden z prvních železných soustruhů s křížovým suportem vyrobeným z mosazi zkonstruoval Francouz Jacques de Vancanson.

Roku 1804 německý inženýr Georg von Reichenbach vynalezl stroj na hoblování kovů. Tento stroj zmechanizoval do této doby pracný způsob pilování kovů. Speciální soustruh z roku 1797 Angličana Henryho Mandslaye má již rysy současných moderních soustruhů.

Technologie broušení patří k nejstarším způsobům obrábění. Z archeologických nálezů bylo prokázáno, že broušení se používalo již před 40 tis. lety pro ostření nástrojů, zbraní a podobně. Brousicí nástroje byly vyrobeny z přírodních materiálů - pískovce, křemene, smirku a dalších. Není prokázána doba počátku použití brousicího rotujícího kamene - kotouče, ale byly nalezeny návrhy stroje na vybrušování válců od Leonarda da Vinci přibližně z roku 1500. Později

se k pohonu brousicích strojů začalo využívat vodní energie při její přeměně vodním kolem na mechanickou práci.

Umělý brousicí kotouč je datován do poloviny 19.stol., kdy o něco později byla sestrojena také první universální bruska (1860). V roce 1891 se podařilo provést syntézu uhlíku a křemíku za vzniku karbidu křemíku SiC. V roce 1893 byl tento produkt vyroben v Benátkách nad Jizerou.

Americký vynálezce Benjamin Chew Tilghman vyvinul roku 1871 technologický postup pískování k opracování povrchů. Vzduchem, stlačeným pod vysokým tlakem, byl vymršťován křemenný písek z trysky na opracovávanou plochu. Tento postup se začal užívat i pro čištění povrchu včetně odstraňování produktů koroze, zdrsňování a zpevňování povrchu atd. Vedle křemenného písku se začal používat i "ocelový písek".

V oblasti materiálů pro obrábění vytvořili němečtí metalurgové v roce 1914 karbyd wolframu ( WC a W<sub>2</sub>C ). Materiál byl použit k plátování řezných nástrojů pro obrábění velmi tvrdých materiálů a také se používal jako brusný a leštící materiál.

Velký rozvoj v oblasti materiálů pro obrábění a tedy i broušení nastal po 2.sv.válce. V této době se začaly využívat nové druhy velmi tvrdých keramických materiálů odolných proti opotřebení. Mezi ně patří:

oxid hliníku ( Al<sub>2</sub>O<sub>3</sub> ) - dnes umělý korund

oxid zirkonu ( Zr O<sub>2</sub> )

oxid berylia ( Be O )

oxid hořčíku ( Mg O )

Roku 1955 byly ve Spojených státech poprvé synteticky vyrobeny průmyslové diamanty velikosti 0.01 až 1.2 mm.

## **2.0 PROBLEMATIKA BROUŠENÍ**

### **2.1 Současný stav**

Broušení, jako dokončovací technologie, se v posledních letech objevuje i jako technologie pro hrubovací i dokončovací fázi obrábění. Je to právě díky kvalitě celého systému broušení, který je tvořen výrobním systémem bruska - brousicí kotouč - přípravek - výrobní lokalita. Zejména vzhledem k růstu kvalitativních parametrů brusek a brosicích kotoučů se začalo broušení používat pro menší konstrukční prvky jako technologie výrobní, t.j. broušení probíhá do plného materiálu při získání konečného tvaru v jedné nebo dvou etapách broušení.

Z klasického broušení se postupně vytvořila řada aplikovaných metod, které mají totožný princip:

- honování
- lapování
- superfiniš
- broušení kmitající páskou
- plastické broušení
- leštění

Mezi nekonvenční abrazivní metody bychom zařadili:

- obrábění vodním paprskem s abrazivem
- obrábění ultrazvukem
- elektrochemické broušení
- elektrochemické honování

Broušení jako principiální systém prochází také svým vlastním vývojem.

Ten se ubírá několika směry :

- 1. Vznik a využití nových brousicích materiálů ( CBN, B<sub>4</sub>C, DIA ), konstrukce nástrojů**

**2. Vývoj nových technologií :**

- a) hloubkové broušení
- b) integrální broušení
- c) broušení tangenciálním přísvuem
- d) broušení bodové

**3. Vývoj v konstrukci strojů, případně integrovaný vývoj :**

- a) rychlostní broušení
- b) NC, CNC řízení
- c) adaptivní řízení
- d) nové komponenty strojů a použité konstrukční materiály

**4. Výzkum v oblasti technologie a teorie broušení :**

- a) zpřesnění známých matematických závislostí
- b) vytváření databanky směřující k vytvoření expertního systému pro podporu řízení brousicích strojů
- c) sledování dalších vlivů na brousicí proces ( řezné kapaliny, tuhost stroje a celého systému a pod. )

Současný význam technologie broušení je vysoký. Trh je bohatý na různé druhy materiálů brousicích kotoučů od různých renomovaných i méně známých výrobců. Problém použití technologie broušení by se dalo říci je jen jeden, ale zásadní. Ani v současné době nedokážeme stanovit jednoznačné řezné podmínky tak, abyhom získali určité požadované výstupní vlastnosti povrchu součásti, o něž nám jde především :

- a) **geometrický tvar** - předpokládaný tvar součásti
  - vlnitost povrchu
- b) **přesnost povrchu** - rozměrová
  - vztažena k jiným konstručním prvkům

### c) jakost povrchu - drsnost

- tvrdost a soudržnost povrchové vrstvy
- průběh povrchového napětí
- struktura povrchu

První dva požadavky se při různé vlastní tuhosti strojů a kvality soustavy S - N - O - P daří plnit a tím se broušení řadí k přesným technologiím. Kvalita povrchu je většinou hodnocena drsností  $R_a$  ( vyjímečně  $R_z$  ,  $R_t$  ,  $R_m$  ). Ostatní vlastnosti obrobeneho povrchu se vzhledem k obtížnosti zjišťují pouze vyjímečně např. při poruchách součástí. Ve výrobě však kvalitu povrchu nedokážeme předem dostatečně přesně stanovit a většinou se ponechává na zkušenostech brusiče dosažení požadovaných výstupních kvalitativních hodnot. Tento nedostatek je možno odstranit následujícími možnými způsoby řešení :

- a) databáze s modelováním výstupních vlastností na základě banky dat řady údajů získaných experimentálně a údajů získaných z výroby
- b) expertní systém - kombinace matematického nebo matematických modelů a banky dat
- c) přímé řízení procesu broušení se vstupem okamžitých hodnot a jejich porovnání s uloženými daty a matematickým modelem, kdy na základě zpětné vazby dojde ke změně řezných podmínek

Dalo by se říci, že se jedná o jeden způsob řešení se třemi vývojovými etapami, kde nejvyšším stupněm je plně automatické řízení procesu broušení.

## 2.2 Vlivy na proces broušení.

V průběhu procesu broušení působí charakteristické vlivy dané vlivem jednotlivých členů soustavy : stroj - nástroj - obrobek - přípravek ( S-N-O-P ). Charakteristika vlivu jednotlivých členů je následující :

### Stroj

- Tuhost stroje je dána jeho konstrukcí, velikostí, uložením, polohou (vliv chvění, teplotních podmínek ) a jeho fyzickým oplotřebením. V případě broušení je tuhost možno pro jednotlivé případy určit ze sklonu vyjiskřovací křivky nebo z frekvenční analýzy chvění v průběhu pracovního cyklu stroje.

### Nástroj

- Velikost nástroje je dána průměrem brousicího kotouče  $d_s$  a šířkou kotouče  $B_s$

- Druh nástroje je dán technickou charakteristikou brousicího kotouče, t.j. druhem brusiva a jeho velikosti, druhem pojiva a jeho pevnosti, póravitosti. S technickou charakteristikou nástroje souvisí i použitelná obvodová rychlosť kotouče.

- Velikost a jakost orovnání určuje hloubka a počet orovnávacích cyklů, typ a druh orovnavače, jeho stav, rychlosť posuvu orovnávacího nástroje při orovnávání, tuhost orovnavače. Určitý vliv má také množství, tlak a druh použité chladící kapaliny.

Komplexní schopnost brousicího kotouče odebírat materiál v určitém reálném případě nazýváme *řezivost*.

### Obrobek

- Velikost obrobku je dána průměrem obrobku  $d_w$  a délkom broušené plochy  $l_w$  .

- Jakost obrobku je dána chemickým složením materiálu, strukturou materiálu a tvrdostí a stavem povrchové vrstvy.

- Konstrukce je dána tvarem a použitými konstrukčními prvky, ovlivňuje chvění soustavy S-N-O-P svojí tuhostí a možností upnutí.

Komplexní souhrn vlastností materiálu obrobku a jeho schopnost vytvářet třísku a řezáním (broušením) novou plochu v reálném případě nazýváme *obrobitelnost*.

### Přípravek

- Tuhost je dána konstrukcí a upevněním přípravku na stroji. Tuhost přípravku ovlivňuje tuhost celé soustavy, tato tuhost může být proměnlivá, jestliže lze měnit například velikost upínací síly.

### Řezný proces

- Řezná rychlosť brousicího kotouče závisí na otáčkách brousicího vřetene  $n_s$  a na průměru  $d_s$  brousicího kotouče. Je to tangenciální rychlosť na obvodě brousicího kotouče  $v_s$  [  $m \cdot s^{-1}$  ].

- Obvodová rychlosť obrobku  $v_w$  závisí na otáčkách pracovního vřetene  $n_w$  a průměru broušené plochy  $d_w$ . Udává se v [  $m \cdot min^{-1}$  ].

- Tloušťka odebraného materiálu a [ mm ] je dána rozdílem poloměrů obrobku před a po vykonání brousicího cyklu.

- Velikost přísvu je určena hodnotou přísvuvové rychlosti brousicího kotouče  $v_{fr}$  [  $mm \cdot min^{-1}$  ].

- Rychlosť podélného posuvu, kdy touto rychlosť rozumíme rychlosť podélného posuvu nástroje nebo obrobku  $v_{fa}$  [  $mm \cdot min^{-1}$  ].

- Opotřebení brousicího kotouče je hloubka opotřebení pracovní plochy brousicího kotouče  $\Delta r_s$  [mm].

- Řezné kapalina - ovlivňuje velikost řezných sil, opotřebení kotouče a kvalitu povrchové vrstvy obrobku. Je charakterizována druhem (složením), tlakem -  $p_f$  [MPa] a množstvím dodávaným do místa broušení  $Q_f$  [ $l \cdot min^{-1}$  ].

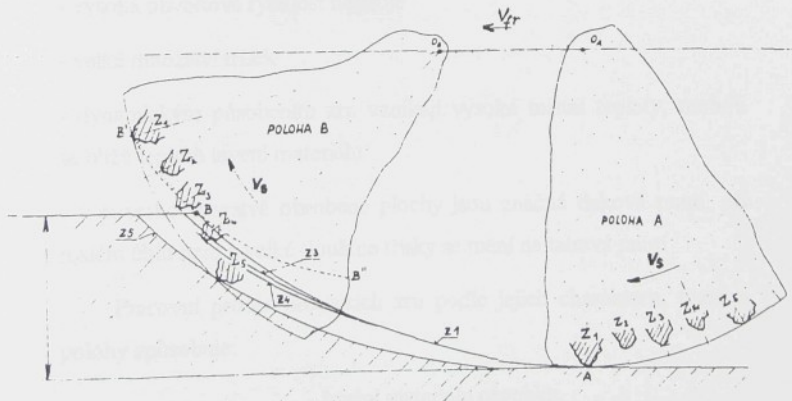
## 2.3 Charakteristika procesu broušení

Broušení je výrobní metoda, která je charakterizována mnohačetným rychlostním mikrořezáním a rytmem povrchové vrstvy obrobku zrny pevně umístěnými v brousicím kotouči. Proces broušení probíhá při vyšších řezných rychlostech než ostatní druhy obrábění, čehož důsledkem je malý průřez trásky a úzká oblast styku nástroje a obrobku. Broušení vyžaduje dostatečné ochlazování, i když jsou známy práce o výzkumu broušení bez použití chladících médií. Broušení charakterizuje :

- vysoká produktivita
- rozměrová a geometrická přesnost
- kvalita povrchu daná jeho drsností
- jakost povrchové vrstvy s minimálním stavem napjatosti
- možnost obrábět velmi tvrdé materiály
- ekonomická přijatelnost vzhledem k dosaženým efektům.

### 2.3.1 Podstata a zvláštnosti procesu broušení

Broušením rozumíme odebírání a vysokorychlostní deformaci materiálu velkým množstvím zrn, nepravidelně rozmístěnými po obvodu, případně čele nástroje. Většina zrn má dle [22] negativní úhel



obr. 2.1

čela  $\gamma_0 = -30^\circ$  a více, úhel hřbetu  $\alpha_0 = 20^\circ$  až  $30^\circ$ . Zrna mají určitou nepravidelnost povrchu a drsnost. Vlivem nepravidelnosti zrn je proces charakterizován svojí proměnlivostí v čase. Dochází ke změně průřezu třísky odebírané 1 zrnem brousicího kotouče. V souvislosti s tím dochází ke změně posudu, hloubky řezu a tloušťky vrstvy odebírané jedním brousicím zrnem.

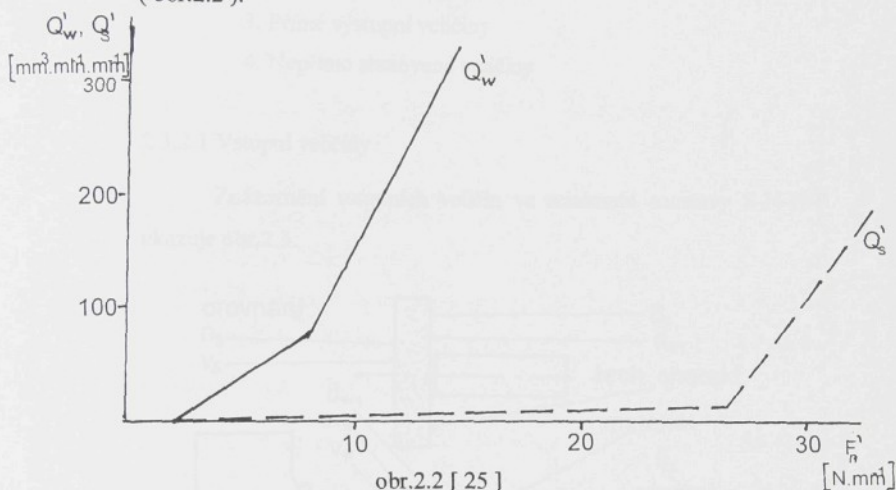
Proces broušení se liší řadou dalších jevů od běžného obrábění definovaným ostřím nástroje. Jsou to zejména následující odlišnosti:

- nepravidelné rozmístění zrn a tím řezných hran
- nesouvislý břít
- různá výška zrn vyčnívajících z vazby kotouče a s tím související různá tloušťka odebírané třísky, tloušťka třísky bývá  $0.6$  až  $10\mu\text{m}$  [22]
- závislost mezi tloušťkou a šírkou vrstvy materiálu odebíraného jednotlivým zrnem
- nepravidelný tvar zrn, zaoblení jejich vrcholů
- průřez třísky  $1.10^{-4}$  až  $2.10^{-3} \text{ mm}^2$
- vysoká tvrdost materiálu zrn, tepelná odolnost, materiál je křehký a po překročení limitního zatížení se štěpí
- vysoká obvodová rychlosť nástroje
- velké množství třísek
- dynamickým působením zrn vznikají vysoké místní teploty, mohou se blížit teplotě tavení materiálu
- v povrchové vrstvě obroběné plochy jsou značná tlaková pnutí, při malém úhlu řezu a velké tloušťce třísky se mění na tahová pnutí

Pracovní proces brousicích zrn podle jejich charakteru, tvaru a polohy způsobuje:

- řezání materiálu obrobku
- rytí povrchu
- plastickou deformaci povrchu

Charakteristika vzájemného vztahu brousicího kotouče a obrobku je dána závislostí normálové složky řezné sily a množství odebraného materiálu obrobku, případně úbytku materiálu brousicího kotouče (obr.2.2).



### 2.3.2 Charakteristické veličiny procesu broušení

Proces broušení je procesem komplexního působení jednotlivých činitelů na procesu se podílejících. Vliv těchto činitelů při vzájemném působení může být potlačován nebo naopak narůstá - např. při zvýšení obvodové rychlosti brousicího kotouče může dojít ke zvýšení posudu bez vlivu na hodnoty chvění. Tento příklad je však velkým zjednodušením, protože komplex parametrů působících při procesu broušení se ovlivňuje vzájemně i skupinově. Dalším atributem procesu je nahodilost některých jevů, např. samoostření kotouče, nahodilost lomu a vylamování zrn, vzdálenost zrn atd.

Vzhledem k objemu poznatků uvedené problematiky, vzhledem k tomu, že se jedná o první ucelenou práci v dané oblasti na mé pracovišti, jsem se rozhodl pro následující systém pohledu na veličiny působící při broušení. Dalším důvodem je určitý způsob jasné

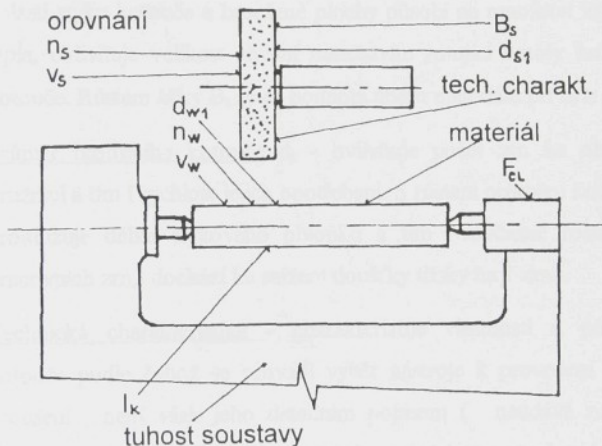
systematizace a také vztah všech vlivů působících při procesu broušení k experimentální části mojí práce.

Veličiny působící při broušení můžeme tedy rozdělit do následujících skupin:

1. Vstupní veličiny
2. Veličiny průběhu procesu
3. Přímé výstupní veličiny
4. Nepřímo stanovené veličiny

#### 2.3.2.1 Vstupní veličiny

Znázornění vstupních veličin ve schématu soustavy S-N-O-P ukazuje obr.2.3.



obr. 2.3

Mezi vstupní veličiny lze zahrnout:

a) *nástrój=brousicí kotouč*

Tento nástrój charakterizuje šířka brousicího kotouče  $B_s$ , technická charakteristika a otáčky brousicího kotouče  $n_s$ . Také musíme zahrnout vliv orovnání brousicího kotouče.

b) *obrobek=obráběný materiál*

Obrobek je charakterizován druhem materiálu a jeho vlastnostmi, velikostí a otáčkami  $n_w$ .

c) *přípravek*

Přípravek ovlivňuje proces broušení svojí tuhostí, která je dána jeho konstrukcí a velikostí upínací síly.

d) *stroj*

Vliv stroje se projevuje jeho tuhostí, konstrukcí a velikostí.

#### **Brousicí kotouč.**

Šířka brousicího kotouče  $B_s$  - ovlivňuje počet zrn v záběru, má také vliv na velikost řezných sil a výkon při broušení. Ovlivněním velikosti oblasti styku kotouče a broušené plochy působí na množství vzniklého tepla, ovlivňuje velikost chvění množstvím rotující hmoty brousicího kotouče. Růstem šířky  $B_s$  roste hodnota úběru materiálu při  $b_d \geq B_s$ .

Průměr brousicího kotouče  $d_s$  - ovlivňuje počet zrn na obvodové kružnici a tím i rychlosť jejich opotřebení. S růstem průměru kotouče se prodlužuje délka stykového oblouku a tím současně roste počet pracovních zrn, dochází ke snížení tloušťky trásky na 1 zrno.

Technická charakteristika - charakterizuje vlastnosti a provedení kotouče podle čehož se provádí výběr nástroje k provedení operací broušení, není však jeho detailním popisem ( neudává například hodnotu modulu pružnosti kotouče, řeznou schopnost nástroje atd. ).

Každá charakteristika udává:

druh brusiva

zrnitost

tvrďost kotouče - odpor proti vylomení a lomu zrn

pórovitost - hutnost kotouče

druh pojiva

Součástí charakteristiky je i rozměr a tvar kotouče a maximální přípustná obvodová rychlosť.

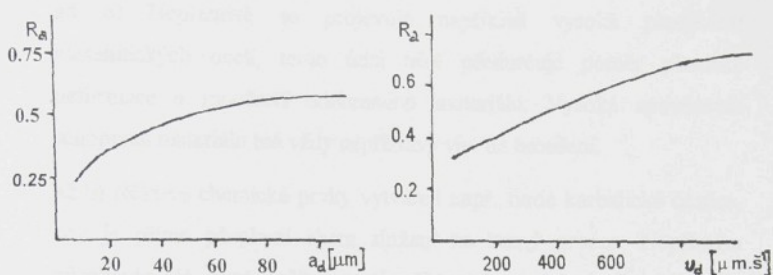
Příklady technických charakteristik :

Výrobce:	brusivo	zrnitost	tvrdost	pórovitost	pojivo
CARBORUNDUM ELECTRITE	A99	80	K	10	V
EFESIS Schleiftechnik (SRN)	30A	80	K	10	V
TYROLIT (SRN)	89A	80	K	5	AV

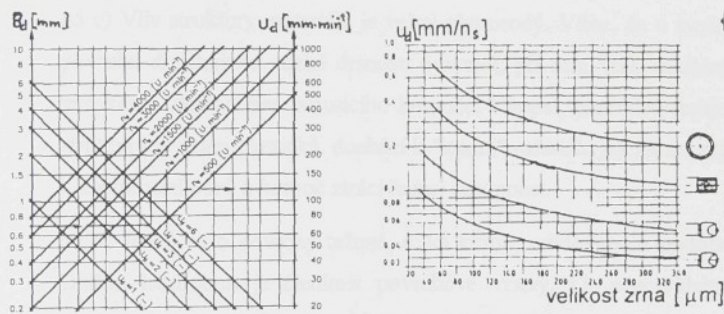
Otáčky brousicího kotouče n, určují obvodovou rychlosť, t.j. řeznou rychlosť brousicího kotouče. Běžně se používá tato rychlosť do  $50 \text{ m.s}^{-1}$ , vyšší rychlosti vyžadují vyšší tuhost soustavy S-N-O-P a týkají se tzv. rychlostního broušení, v současné době v USA probíhají výzkumy s obvodovou rychlosťí brousicího kotouče přes  $200 \text{ m.s}^{-1}$ . Možnost volby počtu otáček pracovního vřetene určuje šíři užití brusky.

Orovnání brousicího kotouče je důležitým parametrem přípravy brousicího kotouče. Výchozí profil kotouče závisí na druhu nástroje pro orovnání [ 7 ], [ 29 ] a způsobu orovnání [ 43 ]. Orovnání je proces obnovy řezivosti nástroje, kdy dochází k odstranění porušených zrn, vytvoření nových ostří a případně odstranění narušených částí zrn. Orovnáním dochází také k odstranění vrstvy pojiva, což je pro obnovu řezivosti nástroje velmi důležité. Vliv na drsnost povrchu po orovnání má hloubka orovnání i rychlosť posuvu [ 29 ], což ukazují grafy na obr.2.4. Vliv rychlosti orovnávacího diamantu [100] na drsnost povrchu kotouče ukazuje obr. 2.5. Pro výrobní praxi jsou důležité konkrétní hodnoty pro orovnávání. Tyto doporučené hodnoty jsou zpracovány některými výrobci brousicích strojů [ 100 ] a jsou dány například grafem obr. 2.6. Je prokázáno, že hrubě orovnaný kotouč se v průběhu procesu zjemní a naopak jemně orovnaný kotouč hrubne. Kvalita orovnání závisí i na dalších vlivech mezi něž patří dle [ 38 ] také kombinace druhu orovnavače a tvrdosti brousicího kotouče. Při

orovnávání není zanedbatelný vliv tuhosti stroje, což s sebou přináší působení chvění na přesnost a tvar orovnávané plochy kotouče.



obr.2.4 [29]



obr.2.5 [99]

obr.2.6 [99]

### Obrobek.

Materiál obrobku je dán charakteristikou jeho vlastností :

- pevnost a plastičnost
- chemické složení
- struktura
- stav povrchové vrstvy
- tvrdost
- tepelná vodivost

Všechny tyto údaje obsahují materiálové listy jednotlivých druhů materiálů.

ad a) Nepříznivě se projevuje například vysoká plastičnost austenitických ocelí, tento údaj také předurčuje poměr plasticke deformace a množství odebraného materiálu. Vysoká zpevňovací schopnost materiálu má vždy nepříznivý vliv na broušení.

ad b) Některé chemické prvky vytvářejí např. tvrdé karbidické částice, což je přímé působení chem složení na řezný proces. Nepřímým působením je např. přítomností některých prvků ( Cr, Ni ) je stabilizován austenit za běžných teplot ( oceli tř.17 ). Důsledkem je vysoká zpevňovací schopnost takového materiálu a jeho špatná brusitelnost.

ad c) Vliv struktury materiálu je velmi různorodý. Víme, že u tvrdého povrchu dosahujeme nízké drsnosti povrchu, při tom však dochází k vysokému zatížení zrn brousicího kotouče. Naopak například feritická struktura je velmi plastická, dochází k "lepení" materiálu jak na zrna, tak k zaplňování pórů a kotouč ztrácí řezací schopnost.

ad d) Jedná se o povrchy tažené, s licí kůrou, oxidované a podobně. Dalším hlediskem je členitost povrchové vrstvy, t.j. nepravidelnost přídavku na broušení . Důležitý, ač v praxi neměřitelný, je průběh zbytkových napětí po předchozím obrábění.

ad e) Růst tvrdosti materiálu působí pozitivně na výstupní drsnost povrchu, problematický je při tom rozsah změn působením tepla, které při brousicím procesu vzniká. Vzhledem k množství tepla a průběhu teplotního pole může dojít k popuštění povrchu, případně i k popuštění podpovrchové vrstvy [39]. Tento nevhodný průběh tvrdosti povrchové vrstvy může vést k provozní poruše nebo havárii součásti.

ad f) Tepelná vodivost je důležitým údajem, který poskytuje informace o tvaru tepelného pole po broušení součásti. S tím potom souvisí průběh tvrdosti povrchové vrstvy a průběh prnutí v této vrstvě.

Otáčky obrobku  $n_w$  ovlivňují svým nastavitelným rozsahem na stroji a zvláště potom po čtem nejnižších otáček možnost získání nízké drsnosti povrchu, případně řízení velikosti úběru materiálu.

Průměr obrobku  $d_w$  ovlivňuje délku stykového oblouku obrobku a brousicího kotouče společně s průměrem brousicího kotouče. Průměr je omezen velikostí použitelného oběžného průměru nad ložem stroje.

### Přípravek.

Upínací síla ovlivňuje tuhost soustavy S-N-O-P, tím také časový průběh závislosti řezné síly  $F$  v průběhu řezného procesu a to zejména ve vyjískrovací fázi.

Soustava S-N-O-P významně ovlivňuje průběh celého procesu broušení svým působením na kvalitu, geometrii a přesnost obráběné součásti. Ovlivňuje také možnost využití vyšších řezných rychlostí spolu s konstrukčním pojetím stroje. Svojí tuhostí předurčuje velikost chvění celé soustavy, tuhost je dána již umístěním stroje a kvalitou jeho základů, končí tuhostí jednotlivých komponentů a pevností upínacího mechanismu.

#### 2.3.2.2 Veličiny průběhu procesu

Mezi tyto veličiny bývají zpravidla zahrnovány:

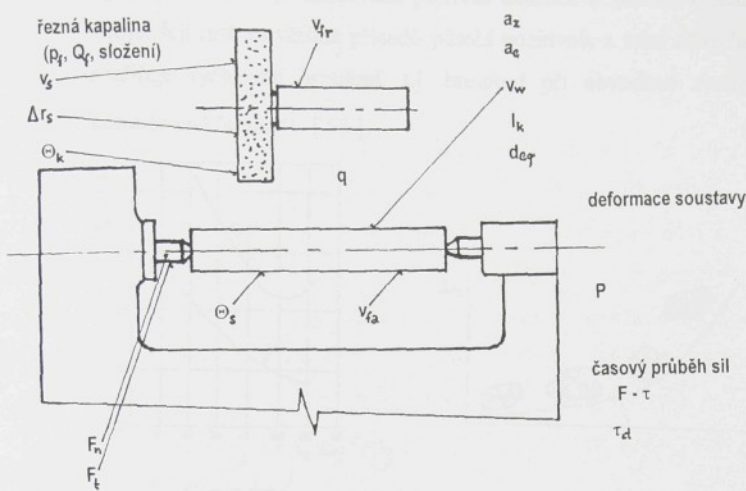
- obvodová rychlosť brousicího kotouče
- tloušťka opotřebené vrstvy brousicího kotouče
- rychlosť přísvu brousicího kotouče, případně obrobku
- teplotní pole brousicího kotouče
- tloušťka odebírané vrstvy

Pro přehlednost jsou tyto veličiny znázorneny schématicky na obr.2.7.

#### Obvodová rychlosť brousicího kotouče ( viz také kap.2.3.2.1 )

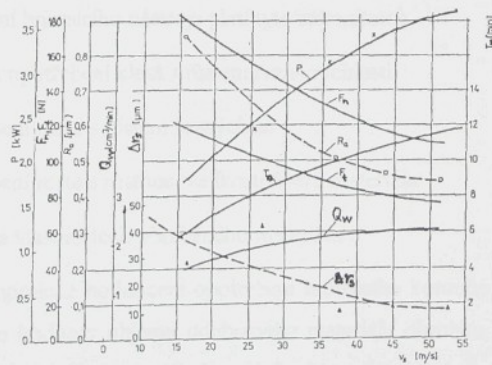
Obvodová rychlosť brousicího kotouče je velmi důležitou veličinou procesu ovlivňující následující složky procesu :

- řeznou silu  $F_n$ ,  $F_t$  ( obr. 2.8 )
- velikost opotřebení kotouče  $\Delta r_s$  ( obr. 2.9 )



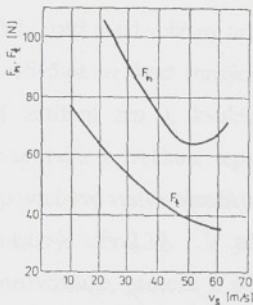
obr.2.7

- objemový úběr materiálu ( obr.2.9 )
- drsnost povrchu ( obr. 2.9 )
- příkon stroje ( obr. 2.9 )
- geometrickou přesnost součásti
- průřez třísky
- průběh teplotního pole
- kvalitu povrchu : tvrdost, průběh napětí, strukturu
- délku stykového oblouku

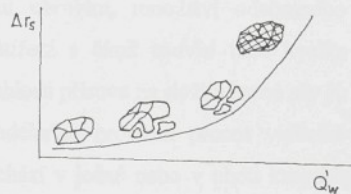


obr.2.9 [22]

Rychlosť kotouče je limitovaná pojivom kotouče a tuhostí vŕeteníku stroje. Její rúst ve väčšine prípadov pôsobí pozitívne, z toho dôvodu sa rozširouje rychlosťní broušení, t.j. broušenie pri obvodovej rychlosťi kotouče nad  $60 \text{ m.s}^{-1}$  [ 68 ].



obr.2.8 [22]



obr. 2.10 [99]

#### Tloušťka opotřebené vrstvy brousicího kotouče.

V průběhu procesu dochází k otupování, štěpení a vylamování brusných zrn ( obr.2.10 ). Tímto mechanismem se mění průměr brousicího kotouče, kdy však úbytek je zejména důležitý z hlediska ekonomiky řezného procesu. V pozitívnom prípade dochází ke vzniku další řezné vrstvy - tzv. **samoostření brousicího kotouče**, negativným důsledkom je však udržování výsledné tolerance obrobku pri časové zmene průměru kotouče. Kotouč je nutno po opotřebení orovnat. V oblasti opotřebení brousicího nástroje platí tyto zákonitosti:

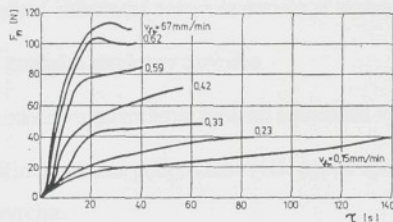
- velikosť opotřebení klesá s rústem řezné rychlosťi
- opotřebení roste s rústem řezných sil
- opotřebení roste s rostoucou velkosťou úběru materiálu
- závisí na vlastnostech obráběného materiálu .

Ekonomické hodnocení opotřebení brousicího kotouče sa provádzí vztažením hodnoty objemu odebraného materiálu obrobku k velkosťi objemového úbytku materiálu brousicího kotouče v stejném čase. Tato

veličina je jednou ze známek řezivosti kotouče pro daný materiál. Hodnota se může pohybovat mezi 6 až 60.

#### Rychlosť prísuva řežného nástroja (obrobku).

Rychlosť prísuva je rozhodujúci výkonnostnou hodnotou pri zapichovacom broušení, kdy patrí medzi výkonné hodnoty určujúce veľkosť prúžku trásky. Veľkosť prísuva ovlievá veľkosť řežných sil, rychlosť a zpôsob opotrebenia kotouče (zatíženie zrnu), kvalitu povrchu obrobku, množstvo odberaného materiálu a veľkosť tepelného zatíženia s čímž súvisí také kvalita povrchovej vrstvy obrobku. Vliv rychlosťi prísuva na súčetku řežnej sily  $F_n$  ukazuje obr.2.11. V prípade podélného broušenia proces viditeľne neovlievá, protože k prísuvu dochádza v jednej alebo v obu krajných polohach.



obr.2.11 [22]

#### Teplotní pole brousicího kotouče.

Teplotní pole pri procesu broušenia tvorí:

- oblasť záběru jednotlivého zrna - kontaktní teplota ( $\Theta_z$ )
- oblasť místa záběru brusiva - okamžitá teplota ( $\Theta_0$ ), která se vyvíjí v místě záběru zrn brusiva, dosahuje vysokých hodnot po krátkou dobu
- oblasť styku kotouče a obrobku v šířce kotouče - styková teplota ( $\Theta_k$ ), určená jako střední hodnota v pracovní šířce kotouče
- oblasť povrchu obrobku - střední teplota ( $\Theta_s$ ), určená jako ustálená teplota na povrchu broušeného obrobku

Okamžitá teplota se blíží teplotě tavení materiálu, roste s hloubkou vniknutí zrna a s rychlosťí brousicího kotouče, po dosažení určité rychlosťi je již konstantní. Opatřebovaný a pevnost zrn závisí na hloubce

průniku tepla, při čemž vznik a rozdelení tepla souvisí se všemi podmínkami broušení. Z hlediska samotných brousicích zrn jejich pevnost a opotřebení závisí na hloubce průniku tepla a průběhu teplotního pole v zrnu. Z tohoto pohledu má nejvyšší tepelnou vodivost zrno diamantu, dále CBN a nejnižší umělý korund  $\text{Al}_2\text{O}_3$ .

#### Teplotní pole obrobku.

Z hlediska obráběného materiálu je teplota povrchu ovlivněna zejména třením hřbetní plochy zrna (závisí na  $v_s$  a  $F_n$ ). Nezanedbatelný je také vliv pojiva brusných zrn, kdy působí tření pojiva ve velikosti dané druhem pojiva (kovové, keramické atd.).

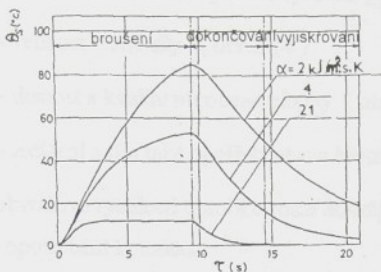
Tepelné jevy způsobují:

- teplem zasažená odebíraná vrstva materiálu je lépe obrobitelná
- dochází ke změnám struktury povrchu
- dochází ke změnám povrchové tvrdosti a průběhu v povrch. vrstvě
- teplo je příčinou vzniku podpovrchových napětí spolu s mechanickým zatížením povrchu
- se zvyšováním řezné rychlosti klesá tepelné zatížení zrna, nejvyšší dosahuje při  $25-40 \text{ m.s}^{-1}$ .

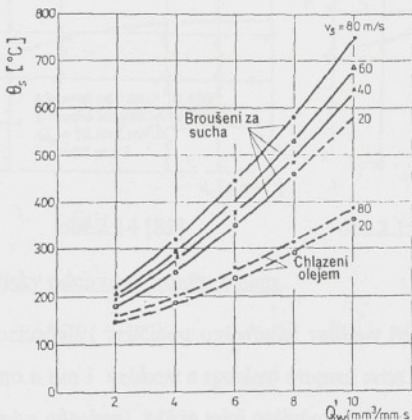
Průběh střední teploty  $\Theta_s$  obrobku při zapichovacím broušení pro různé hodnoty součinitele přenosu tepla ukazuje obr.2.12. Obr.2.13 následně ukazuje závislost obvodové rychlosti brousícího kotouče  $v_s$ , výkonu obrábění  $Q_w$  a způsobu chlazení na této střední teplotě povrchové vrstvy obrobku.

#### Tloušťka odebírané vrstvy materiálu.

Velikost odebrané vrstvy povrchu obrobku ovlivňuje stupeň odstranění geometrických nepřesností po předchozím opracování. Má vliv na ekonomiku broušení jak svým vlivem na strojní časy, tak působením na opotřebení nástroje.



obr.2.12 [87]



obr.2.13 [22]

### Hloubka záběru.

Při podélném broušení se pohybuje řádově v [mm] a určuje hloubku odebrané vrstvy obráběné plochy na jeden zdvih. Její velikost ovlivňuje zejména rychlosť opotřebení brousicího kotouče a mechanické i tepelné zatížení povrchu obráběné plochy. Dále také průřez trásky odebíraný jedním zrnem, velikost řezných sil a délku stykového oblouku. S růstem hodnoty hloubky roste množství odebraného materiálu na jedno zrno.

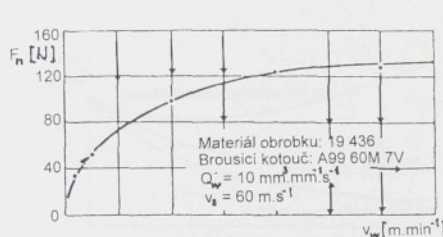
### Obvodová rychlosť obrobku.

Obvodová rychlosť obrobku je dynamickou veličinou ovlivňující

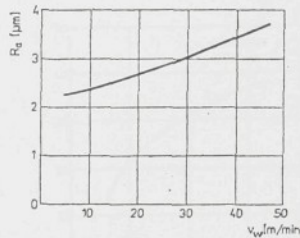
rychlosť deformace a odběr trásky. Tato rychlosť především ovlivňuje:

- velikost řezné sily ( obr.2.14 )
- drsnost a kvalitu obrobenej plochy ( obr.2.15 )
- zatížení a tím také opotřebení zrn brousicího kotouče

S růstem obvodové rychlosťi obrobku roste dosažená drsnost povrchu a zvyšuje se opotřebení kotouče.



obr.2.14 [82]



obr.2.15 [22]

#### Průřez trásky odebíraný jedním zrnem.

Je rozhodující veličinou ovlivňující velikost řezné sily působící na jedno zrno a tím i velikost a rychlosť otupení zrnu a okamžitou teplotu v místě jeho působení. Může také ovlivňovat drsnost a kvalitu povrchu obráběné plochy apod. [ 37 ]. Protože je velmi obtížné prakticky zjistit hodnotu tloušťky trásky, byla na základě experimentů vypracována řada metod. Tyto metody vycházejí ze sledování procesu při řezání jedním zrnom brousicího kotouče. Pro broušení vnějších válcových ploch to např. je :

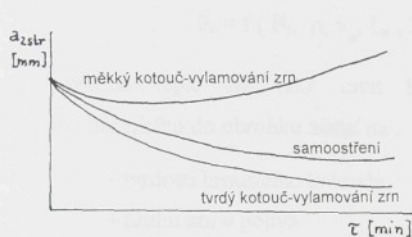
$$J.N.Maslov [55]: \quad a_z = \frac{v_w}{60v_s \pm 2v_w} \cdot \sqrt{a_e \cdot l_s} \cdot \sqrt{\frac{1}{d_s} + \frac{\psi}{d_w} \cdot \frac{f_a}{B_s}} \quad (1)$$

$$R.Přikryl, R.Musílková[65]: \quad a_z = \frac{l_s}{L} \cdot a_e \cdot \frac{v_w}{60v_s} \quad (2)$$

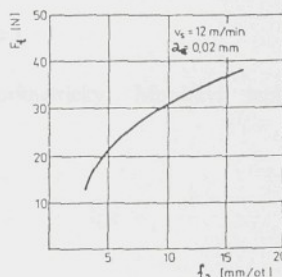
$$K.\text{Preger} [37]: \quad a_z = \frac{\lambda_{KE}}{q} \cdot \sqrt{a_e \cdot \left( \frac{1}{d_s} \pm \frac{1}{d_w} \right)} \quad (3)$$

$$\check{S}.\text{Kissoczy} [42]: \quad a_z = k \cdot \frac{v_f^{e1} \cdot a_e^{e2}}{v_s^{e3} \cdot z_s^{e4} \cdot L^{e5} \cdot r_z^{e6}} \quad (4)$$

Střední hloubka třísky se mění v průběhu řezného procesu s opotřebením brousicího kotouče. Podle [42] mohou nastat tři případy změn (obr. 2.16).



obr.2.16 [42]



obr.2.17 [22]

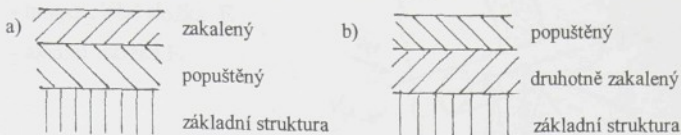
#### Rychlosť podélného posuvu.

Rychlosť podélného posuvu je dynamickou veličinou procesu, která ovlivňuje proces jak z ekonomického hlediska tak kvalitativně. Má vliv na velikost řezných sil (obr.2.17), opotřebení kotouče - způsob a rychlosť, drsnost a kvalitu povrchu obrobene plochy, tepelné zatížení, délku stykového oblouku a velikost úběru materiálu.

#### Teplotní pole obrobku.

Toto pole je ovlivněno teplem tření na hřbetní ploše zrna, kdy vlivem vysoké tepelné vodivosti materiálu obrobku oproti brusným zrnům přechází do obrobku více tepla. Teplota povrchu je však nižší než kontaktní teplota v místě styku zrna a materiálu, závisí zejména na  $v_s$ ,  $F_n$  a řezném prostředí. Jak bylo uvedeno již v popisu teplotního pole brousicího kotouče má na teplotní pole obrobku značný vliv tření pojiva.

Podle druhu a struktury materiálu může být povrch :



Průběh tepelného ovlivnění lze stanovit měřením mikrotvrdosti povrchové vrstvy a pozorováním její mikrostruktury.

Množství tepla přecházející do obrobku závisí na [ 55 ] :

$$\Theta_0 = f( B_s, \rho, v_w, L_n, \lambda, c )$$

Uvedené teplo lze také určit kalorimetricky. Množství tepla přecházejícího do obrobku závisí na :

- tvrdostí brousicího kotouče
- druhu zrn a pojiva
- řezné rychlosti
- řezné síle, rychlosti deformace
- obvodové rychlosti obrobku
- velikosti třísky
- druhu a způsobu chlazení
- délce stykového oblouku
- pracovní šířce brousicího kotouče

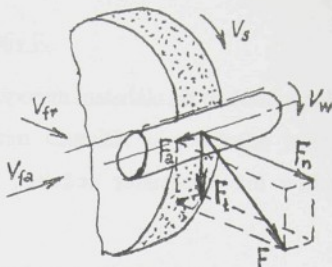
Množství tepla působí na :

- drsnost povrchu
- kvalitu povrchové vrstvy ( průběh napětí a tvrdosti, strukturu povrchu materiálu obrobku )

### Řezná síla.

Řezná síla vzniká jako výsledek působení brousicího kotouče na obrobek při základních kinematických podmínkách. Pro účely stanovení její velikosti se rozkládá do tří, vzájemně kolmých složek  $F_n$ ,  $F_t$ ,  $F_a$  ( obr. 2.18 ) :

- normálová složka  $F_n$
- tangenciální složka  $F_t$
- axiální složka  $F_a$



obr.2.18

Velikost jednotlivých složek je možno určit buď experimentálně nebo analyticky [ 55 ] :

a) na základě měrného řezného odporu

$$F_t = p \cdot a_e \cdot b_d \quad (5)$$

dle [ 22 ]  $F_t = S_{ts} \cdot n_{z\delta} \cdot S_n \cdot p$  (6)

dle [ 55 ]  $F_t = \frac{A'}{a_e^k} \cdot a_e \cdot b_d$  (7)

b) experimentálně stanovenými vztahy např. [ 55 ]

$$F_t = c_p \cdot v_w^{e1} \cdot a_e^{e2} \cdot f_a^{e3} \cdot v_s \cdot B_s^{e4} \quad (8)$$

c) teoretické závislosti ( Rosenberg, Eremin ) [ 7 ]:

$$F_t = f( a_e, b_d, \text{tvar třísky}, \gamma, \omega ) \quad (9)$$

### Normálová složka řezné síly $F_n$

Oproti procesům obrábění s definovaným ostřím je složkou dominantní, je tedy vždy násobkem zbývajících složek řezné síly. Normálová složka působí v rovině styku brousicího kotouče a obrobku, ve směru procházejícím osami rotace obrobku a brousicího kotouče. Složka  $F_n$  působí deformačně ve dvojici nástroj-obrobek.

### Tečná složka řezné síly $F_t$ .

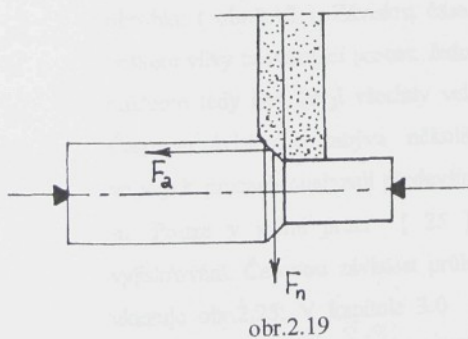
Tečná složka působí ve směru otáčení brousicího kotouče na tečně vedené k jeho obvodu. V závislosti na řezném procesu bývá poloviční až dvoutřetinové velikosti normálové složky řezné síly.

### Podélná ( axiální ) složka řezné sily $F_a$ .

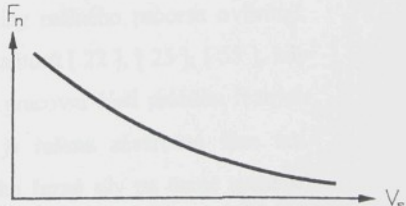
Podélná složka je vyvolána odporem materiálu při podélném pohybu kotouče vzhledem k obráběnému materiálu u podélného broušení. Velikost této složky klesne při rozložení zabírajících zrn v šíkmém ( kosém ) orovnání ( obr.2.19 ).

*Složky řezné sily  $F$  mají v oblasti broušení následující vlastnosti:*

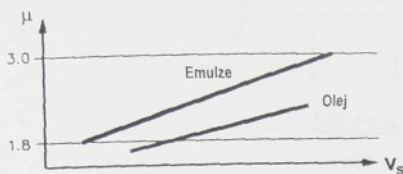
- s růstem obvodové rychlosti brousicího kotouče mají klesající tendenci v oblasti běžně používaných rychlostí ( obr.2.20 )
- s růstem rychlosti obrobku složky řezné sily rostou [ 68 ] - obr.2.22
- závisí na velikosti a druhu zrn brousicího kotouče a na počtu zrn, která jsou současně v záběru
- závisí na druhu a kvalitě řezného prostředí ( tření, rozpad zrn atd. ) - obr.2.21
- závisí na pracovním záběru  $a_e$  a materiálu obrobku ( obr.2.23 )
- závisí na radiálním opotřebení brousicího kotouče ( obr.2.24 )
- rostou zejména při zmenšení tloušťky trásky pod  $a_Z = 0.7\mu\text{m}$  [ 7 ]
- jsou ovlivněny komplexním vlivem rychlosti deformace s níž souvisí teplota povrchové vrstvy ( dochází ke změně struktury ), při broušení je rychlosť deformace až 9x větší než u běžného obrábění
- klesají se snižováním tvrdosti materiálu a naopak se jejich hodnota zvyšuje při vysokých stykových teplotách, kdy dochází k rekrytalizaci materiálu



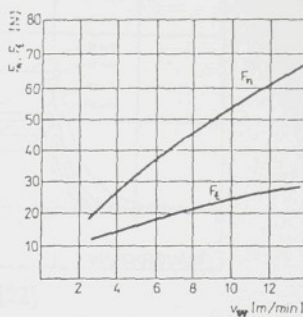
obr.2.19



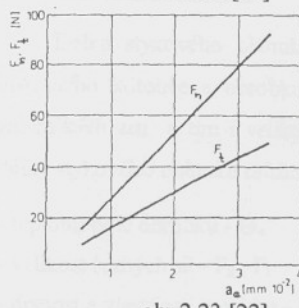
obr.2.20 [99]



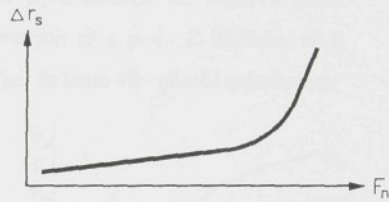
obr.2.21 [99]



obr.2.22 [22]



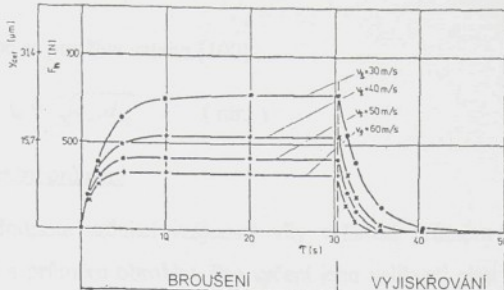
obr.2.23 [22]



obr.2.24 [99]

### Časový průběh řezné síly při broušení.

Průběh řezné síly v závislosti na čase a zejména časový průběh jednotlivých složek řezné síly je důležitou informací o procesu broušení. Průběh je téměř analogický s křivkou časové závislosti teplotního pole obrobku ( obr.2.12 ). Závislost časového průběhu řezných sil odráží veškeré vlivy provázející proces. Jedná se o veličinu dynamickou o niž můžeme tedy říci, že ji všechny veličiny reálného procesu ovlivňují. Časovou závislostí se zabývá několik autorů [ 22 ], [ 25 ], [ 55 ], kdy ve svých pracích analyzují především pracovní části průběhu řezných sil. Pouze v jedné práci [ 25 ] je řešena závěrečná fáze tzv. vyjiskřování. Časovou závislost průběhu řezné síly na řezné rychlosti ukazuje obr.2.25. V kapitole 3.0 je tato časová závislost hlouběji rozvedena, protože tvoří podstatu této práce.



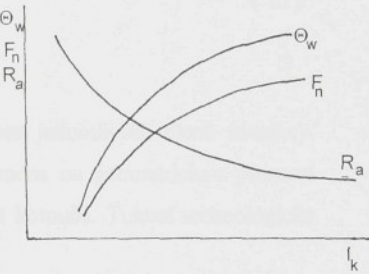
obr.2.25 [22]

### Délka stykového oblouku.

Délka stykového oblouku určuje předpokládanou délku styku brousicího kotouče a obrobku. Na jejím základě lze stanovit počet zabírajících zrn a tím i velikost řezných sil a pod.. Z hlediska vlivu délky stykového oblouku můžeme říci, že tento vliv působí zejména na:

- teplotní pole obrobku -  $\Theta_w$
  - velikost řezných sil -  $F_n$ ,  $F_t$
  - drsnost a vlastnosti povrchu -  $R_a$
  - opotřebení brousicího kotouče -  $\Delta r_s$
- Závislost některých z uvedených veličin je na obr.2.26.

Podle [ 55 ] se určí ze vztahu:



obr.2.26 [ 99 ]

a) pro rovinné broušení obvodem kotouče

$$L_{pl} = \left( 1 \pm \frac{v_w}{60v_k} \right) \cdot \sqrt{d_s \cdot a_e} \quad (10)$$

b) pro broušení vnějších válcových ploch

$$L_n = \sqrt{\left( 1 \pm \frac{v_w}{60v_s} \right)^2 + \left( \frac{v_f}{60v_s} \right)^2} \cdot \sqrt{\frac{d_s \cdot d_w \cdot a_e}{d_s + d_w}} \quad (11)$$

c) pro broušení vnitřních válcových ploch

$$L_n = \sqrt{\left( 1 \pm \frac{v_w}{60v_s} \right)^2 + \left( \frac{v_f}{60v_s} \right)^2} \cdot \sqrt{\frac{d_s \cdot d_w \cdot a_e}{d_s - d_w}} \quad (12)$$

ve výrobě se používá vztahu [100] :

$$l_k = \sqrt{a_e \cdot d_{eq}} \quad (\text{mm}) \quad (13)$$

### Ekvivalentní průměr.

Hodnota určující vzájemný vliv velikosti průměru brousicího kotouče a průměru obrobku. Pro určení jeho velikosti platí následující vztahy.

a) pro broušení vnějších rotačních ploch :

$$d_{eq} = \frac{d_w \cdot d_s}{d_w + d_s} \quad (14)$$

b) pro broušení vnitřních rotačních ploch :

$$d_{eq} = \frac{d_w \cdot d_s}{d_s - d_w} \quad (15)$$

### Tuhost soustavy S-N-O-P.

Tuhost soustavy je dána tuhostí jednotlivých členů soustavy. Ovlivňuje vznik chvění a působí zejména na geometrickou přesnost obrobku, jakost povrchu a opotřebení kotouče. Tuhost technologické soustavy je definována [ 55 ] :

$$k_s = \frac{F_n}{y_{def}} \quad (16)$$

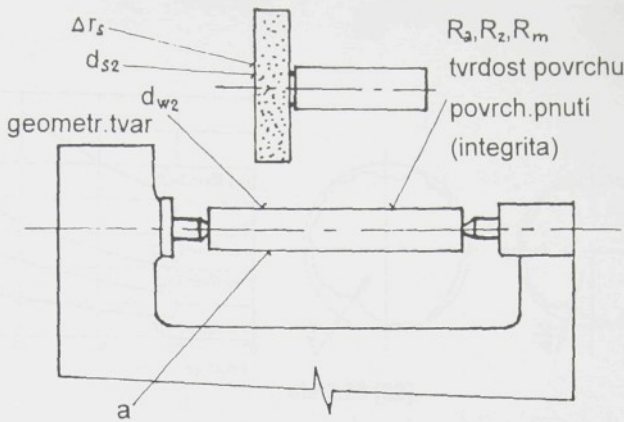
#### 2.3.2.3 Přímé výstupní veličiny

Tyto veličiny jsou závislé na dostupnosti měřicího zařízení a metod měření. Mezi tyto veličiny řadíme zpravidla:

- stav brousicího kotouče daný hloubkou opotřebení  $\Delta r_s$
- integritu povrchu broušené plochy danou hodnotami

$R_a$ ,  $R_z$ ,  $R_m$ , průběhu tvrdosti a povrchového pnutí

Pro přehlednost jsou znázorněny schématicky na obr.2.27.



obr.2.27

#### Hloubka opotřebení brousicího kotouče $\Delta r_s$ .

Je dána rozdílem mezi vstupním poloměrem brousicího kotouče a jeho poloměrem po ukončení procesu. Tato hloubka je ovlivňována hlavně stavbou brousicího kotouče, materiálem obrobku a řeznými podmínkami.

#### Konečný průměr brousicího kotouče $d_{s2}$ .

Konečným průměrem rozumíme průměr brousicího kotouče po ukončení brousicího cyklu.

#### Výstupní průměr obrobku $d_{w2}$ .

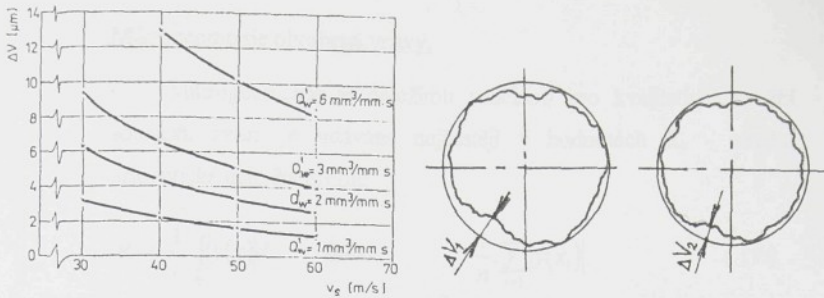
Jedná se o skutečný průměr obrobku po odebrání vrstvy určené k broušení.

#### Geometrický tvar obrobku.

Geometrický tvar je dán jeho rozměrovou a tvarovou přesností. Ovlivňuje jej zejména tuhost soustavy S-N-O-P, kvalita předchozího opracování, kvalita brousicího kotouče a řezné podmínky. Při broušení může být kopírováno předchozí zvlnění povrchu obrobku [ 57 ], [ 32 ] - obr. 2.28 vpravo, levý graf ukazuje vliv rychlosti  $v_s$  na hloubku zvlnění  $\Delta V$ .

#### Integrita povrchu.

Pod pojmem integrita povrchu rozumíme soubor charakteristik povrchu a povrchové vrstvy, jež jsou vytvářeny a ovlivněny



obr.2.28 [22]

technologickými procesy a mají vliv na funkční vlastnosti součásti.

Jednotlivými charakteristikami jsou :

- mikrogeometrie obořené vrstvy
- stupeň a hloubka zpevnění
- strukturní, fázové a chemické změny
- smysl, velikost a gradient zbytkových prutí

Tabulka I. ukazuje jednotlivé hodnoty změn, k nimž dochází při broušení, tab. II. potom popisuje pravděpodobné druhy ovlivnění integrity povrchu při broušení [ 57 ].

TAB.I

PARAMETRY POVRCHOVÉ VRSTVY	HLOUBKA OVLIVNĚNÍ POVRCHU V mm
hospodárná přesnost IT	5 - 7
hospodárná drsnost $R_a$	0.4 - 1.6
plastická deformace	0.008 - 0.05
změna tvrdosti kolmo k povrchu	0.04 - 0.25
zbytkové prutí rovnoběžné s povrchem	0.02 - 0.32
mikro nebo makrotrhliny	0.02 - 0.23
fázová transformace	0.02 - 0.32
sekundární zakalení, přetavení	0.02 - 0.15
nahodilé výstupky, prohlubně, naleptání	0.005 - 0.01

TAB.II

OBRÁBĚNÝ MATERIÁL	OVLIVNĚNÍ INTEGRITY POVRCHU
nekalitelné oceli	plastická deformace, vytrhaný materiál
kalitelné oceli: konstrukční, nástrojové, korozivzdorné	plastická deformace, nepopuštěný martenzit a austenit, vysokopopuštěný martenzit, mikrotrhliny
austenitické korozivzdorné oceli	plastická deformace, vytrhaný materiál
martenziticky vytvrzitelný materiál	plastická deformace, přeměna austenitu, přestárnutí
Ni a Co slitiny	plastická deformace, mikrotrhliny
Ti slitiny	plastická deformace, mikrotrhliny

### Mikrogeometrie obrobené vrstvy.

Mikrogeometrie je důležitou veličinou pro kvalitativní využití součásti, zatím je udávána nejčastěji v hodnotách  $R_a$  - střední aritmetická úchylka profilu

$$R_a = \frac{1}{l} \cdot \int_0^l |y(x)| dx \quad \text{nebo} \quad \frac{1}{n} \cdot \sum_{i=1}^n |y(x_i)| \quad (17)$$

dle nových norem ( ISO 1302: 1992 ) a norem souvisejících je označování drsnosti povrchu na výkresech také v hodnotách  $R_z$  nebo  $R_y$  [ 19 ]:

$$R_z = \frac{\sum_{i=1}^5 |y_{pi}| + \sum_{j=1}^5 |y_{pj}|}{5} \quad (18)$$

$$R_y = y_{pmax} + y_{vmax} \quad (19)$$

Při broušení se dosahuje hodnot drsnosti povrchu  $R_a = 0.05$  až  $0.8 \mu\text{m}$ ,  $R_z = 0.6$  až  $6.3 \mu\text{m}$ ,  $R_y = 1$  až  $10 \mu\text{m}$ .

Protože je drsnost povrchu velmi obtížně determinovatelná veličina vzhledem k počtu působících činitelů, je její stanovení obtížné. Prvním známějším vztahem pro určení drsnosti povrchu  $R_a$  [ 55 ] je její závislost na řezných podmínkách ve tvaru :

$$R_a = \frac{c_{Ra} \cdot v_w^p \cdot a_e^z \cdot f_a^q k_1 k_2 k_3}{v_s^w \cdot d_w^\mu \cdot B_s^n} \quad (20)$$

Většina údajů pro stanovení drsnosti povrchu je ve formě grafických závislostí ( obr.2.29-2.35 ) [ 99 ], [ 100 ]. Dalším příspěvkem jsou tzv. diagramy broušení, kde je drsnost povrchu určena pro jednotlivé materiály a určité řezné podmínky v závislosti na ekvivalentní tloušťce třísky:

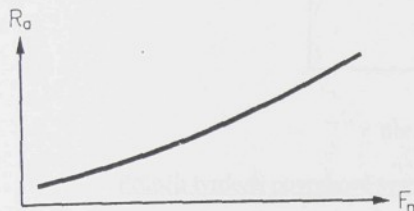
$$\text{před vyjiskřovací fází} \quad R_a = R_{a1} \cdot h_{eq}^r \quad (21)$$

$$\text{po vyjiskřovací fázi} \quad R_a^d = R_{a1}^d \cdot h_{eq}^{rd} \quad (22)$$

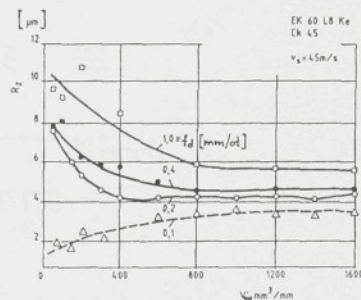
Podobné řešení publikuje např. S. Malkin [ 52 ]. Také jsou vytvořeny závislosti drsnosti povrchu na obvodové rychlosti obrobku a brousícího kotouče [ 8 ] :

$$R_a = f(v_w) \quad (23)$$

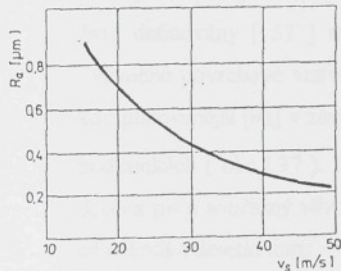
$$R_a = f(v_s) \quad (24)$$



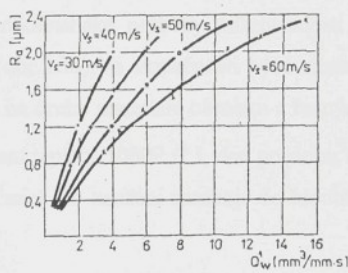
obr.2.29 [99]



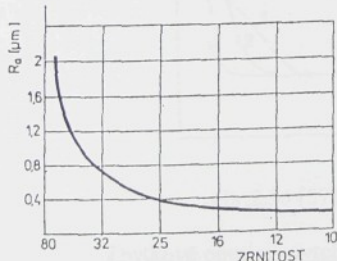
obr.2.30 [100]



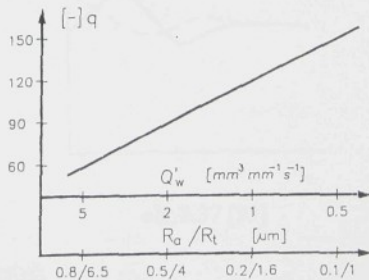
obr.2.31 [22]



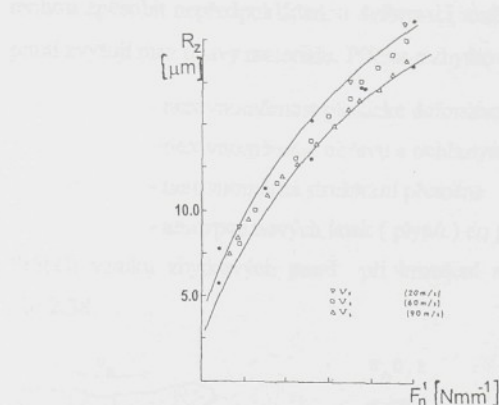
obr.2.32 [22]



obr.2.33 [22]



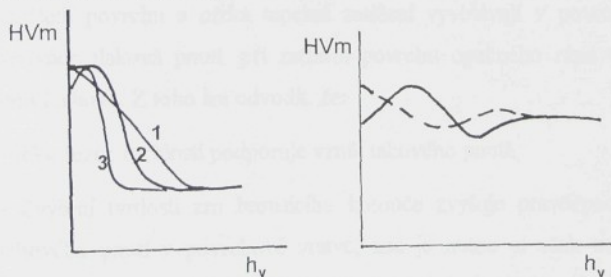
obr.2.34 [99]



obr.2.35 [32]

#### Průběh tvrdosti povrchové vrstvy.

Tento průběh ukazuje kvalitu broušené plochy vzhledem k odolnosti vůči opotřebení a únavě, charakterizuje soudržnost vrstev materiálu. Změny tvrdosti jsou dány vysokým mechanicko-tepelným zatížením. Jsou definovány [ 57 ] tři charakteristické průběhy mikrotvrdosti v ovlivněné povrchové vrstvě (obr.2.36). Ve skutečnosti bývá situace komplikovanější [93] v závislosti na druhu materiálu obrobku a řezných podmínkách ( obr.2.37 ). Působení teploty 1000° C i více po dobu až desítek ms a současný vliv mechanického zatížení zasahuje do hloubky až několika desetin mm.



obr.2.36 [57]

obr.2.37 [93]

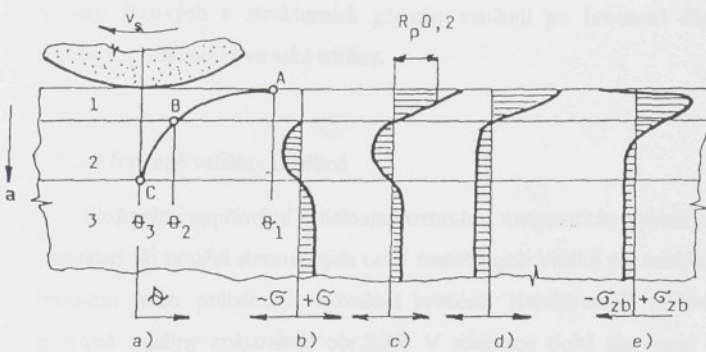
#### Zbytkové pnutí v povrchové vrstvě.

Průběh zbytkových pnutí v povrchové vrstvě obroběné plochy má vliv zejména na únavovou pevnost materiálu. Zbytková pnutí tahová

mohou způsobit nepředpokládanou deformaci součásti, naopak tlaková pnutí zvyšují mez únavy materiálu. Příčinou zbytkových pnutí je:

- nerovnoměrnost plastické deformace
- nerovnoměrnost ohřevu a ochlazování
- nerovnoměrná strukturní přeměna
- absorpcie nových látek ( plynů ) do povrchové vrstvy

Průběh vzniku zbytkových pnutí při broušení např.[ 57 ] ukazuje obr.2.38.



obr.2.38 [57]

Zbytková pnutí zasahují do hloubky kolem 0.3 mm. Působení jednotlivých složek procesu broušení je poměrně složité a komplikované, všeobecně lze konstatovat, že vysoké mechanické zatížení povrchu a nízká tepelná zatížení vyvolávají v povrchových vrstvách tlaková pnutí, při zatížení povrchu opačného rázu vznikají pnutí tahová. Z toho lze odvodit, že:

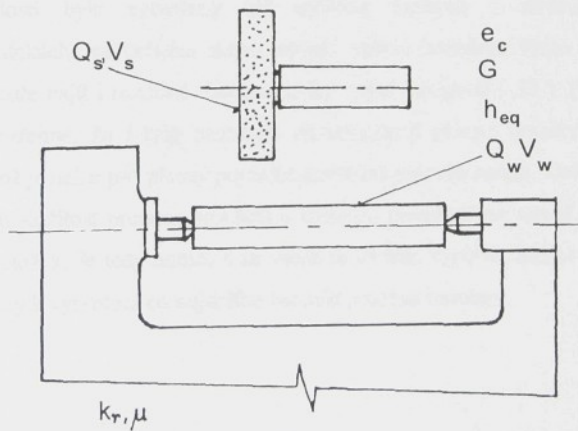
- Růst řezné rychlosti podporuje vznik tahového pnutí.
- Zvýšení tvrdosti zrn brousicího kotouče zvyšuje pravděpodobnost tahového pnutí v povrchové vrstvě, zde je nutno si však uvědomit komplexnost působících vlivů v reálném řezném procesu, kdy se tyto vlivy mohou zesilovat nebo naopak zeslabovat. Např. zvýšení řezné rychlosti při současném snížení velikosti brusných zrn, případně zvýšení rychlosti přísluva při zapichovacím broušení bude mít za následek snížení tahové hladiny pnutí a pod.

## Strukturální změny.

Ke strukturálním změnám dochází zejména vlivem tepelného zatížení povrchu. Jedná se v podstatě o mechanicko-tepelné opracování materiálu. Změny jsou závislé na druhu obráběného materiálu a jeho stavu. Při broušení dochází k rychlosti ohřevu materiálu  $105\text{--}106^{\circ}\text{C.s}^{-1}$ , nejcitlivější chování přitom mají zušlechtěné martenzitické oceli. U některých slitin ( např. Ti, Co... ) může dojít ke změnám poměru strukturních složek fáze s vlivem na vlastnosti materiálu obrobku. Vlivem fázových a strukturních přeměn vznikají po broušení díky změnám v objemu kovu také trhliny.

### 2.3.2.4 Složené veličiny nepřímé

Složenými nepřímými veličinami rozumíme matematicky vyjádřené závislosti při použití stanovených nebo naměřených veličin při zahájení broušení, jeho průběhu a ukončení procesu. Nejužívanější složené nepřímé veličiny znázorňuje obr.2.39. V současné době uznávané a používané i další charakteristické veličiny udává tab.III.



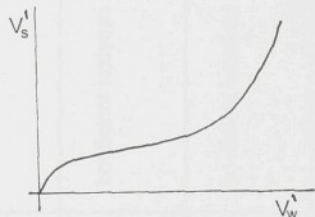
obr.2.39

Tyto údaje slouží k hodnocení již ukončeného řezného procesu. Jedná se o údaje technického a ekonomického charakteru. Popisují řezný proces a lze hledat vzájemné závislosti s cílem řízení řezného

procesu, jeho analýzy a případně vyhledání optimálních podmínek procesu. Na základě těchto údajů byl vytvořen i diagram broušení s nomogramem řezných podmínek.

Různí autoři se zabývali do současné doby tvorbou a využitím řady závislostí veličin brousicího procesu. Tyto závislosti lze rozdělit na vztahy k :

- a) výkonu obrábění ( obr.2.40-2.43 )
- b) ekvivalentní tloušťce trásky ( obr.2.44 )
- c) výkonovým parametry ( obr.2.45 )
- d) časové závislosti
- e) nákladovým položkám



obr.2.43 [ 1 ]

#### 2.4 Shrnutí

V kapitole jsou popsány jednotlivé vlivy působící jako vstupní, průběhové a výstupní veličiny procesu broušení. Jednotlivé odstavce shrnují do současné doby poznané spektrum závislostí jednotlivých veličin, které až na diagram broušení, jsou velmi separované. Tyto závislosti byly vytvořeny při určitých řezných i technických podmínkách, na určitém stupni vývoje oblasti broušení. Proto lze v literatuře najít i rozdílné charakteristiky stejné závislosti [ 32 ], [ 40 ]. Samozřejmě, že i tyto závislosti charakterizují proces broušení, ale obecně je nelze pro přesný popis konkrétního procesu použít. Dokazuje to jen složitost procesu broušení a časovou proměnlivost téměř všech jeho složek. Je tedy nutno, a ze všech prací toto vyplývá, hledat určité metody k vytvoření co nejširšího modelu procesu broušení.

TAB. III

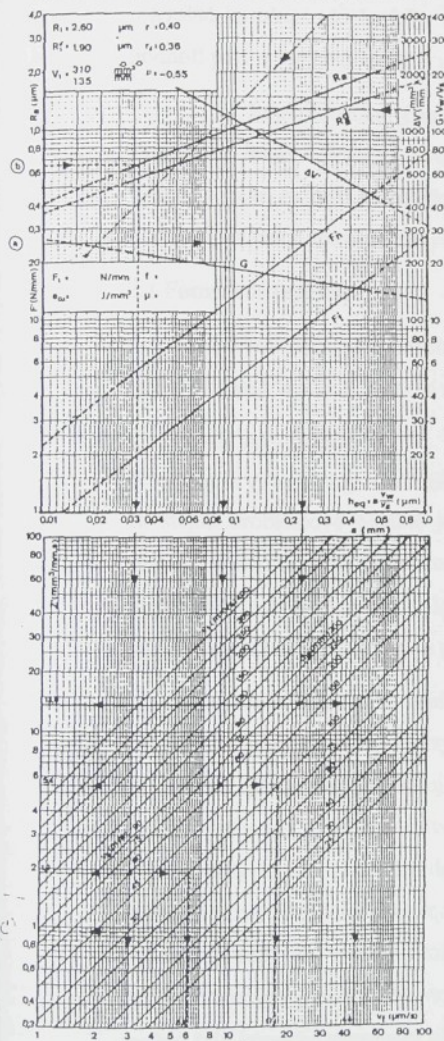
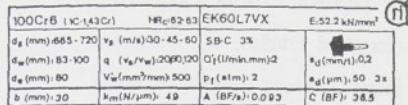
## KRITERIA PRACOVNÍ SCHOPNOSTI BROUSICÍCH NÁSTROJŮ A OBROBITELNOSTI

ROK	AUTOR	VZTAH	ROZMĚR	NÁZEV KRITERIA	LIT.
		$Q_w = \frac{V_w}{\tau}$	$\text{mm}^3 \cdot \text{s}^{-1}$	výkon broušení	
	Schlesinger	$G = \frac{V_w}{V_s}$	-	poměrný objemový obrus	[ 49 ]
1953	Majkusz	$k_y = \frac{V_f}{F_n}$	$\text{m} \cdot \text{s}^{-1} \cdot \text{N}^{-1}$	řezivost	[ 25 ]
1969	Lurje	$k_Q = \frac{Q_w}{F_n}$	$\text{mm}^3 \cdot \text{s}^{-1} \cdot \text{N}^{-1}$	řezná schopnost	[ 49 ]
1974	Maslov	$k_Q = \frac{Q_w}{F_n}$	$\text{mm}^3 \cdot \text{s}^{-1} \cdot \text{N}^{-1}$	koeficient řezivosti	[ 55 ]
1974	Maslov	$\mu = \frac{F_i}{F_n}$	-	koeficient broušení	[ 55 ]
1974	Snoeys,Peters,Deconinck	$h_{eq} = a_e \cdot \frac{V_w}{V_s}$	$\mu\text{m}$	ekvivalentní tloušťka oděbírané třísky	[ 76 ]

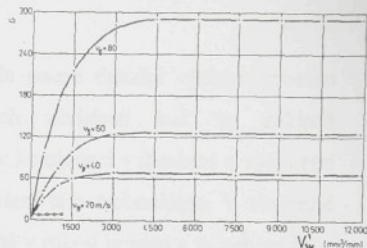
TAB. III - pokrač.

## KRITERIA PRACOVNÍ SCHOPNOSTI BROUŠICÍCH NÁSTROJŮ A OBROBITELNOSTI

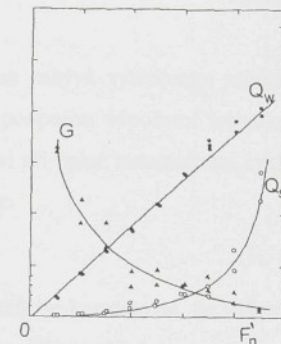
ROK	AUTOR	VZTAH	ROZMĚR	NÁZEV KRITERIA	LIT.
1974	Snoeys, Peters, Decneut	$R_a = R_{al} \cdot h_{eq}^r$ $G = G_1 \cdot h_{eq}^w$ $F'_t = F'_{nl} \cdot h_{eq}^f$ $F'_{n} = \frac{F'_{nl}}{\mu} \cdot h_{eq}^f$	$\mu m$ - N N	diagram broušení	[ 76 ]
1979	Gazda	$e_c = \frac{F_t \cdot v_s}{Q_w}$ $\operatorname{tg}\beta = \frac{C}{T}$ $U = \frac{10^5 \cdot \operatorname{tg}\beta}{S}$	$N \cdot mm^{-2}$ - $mm^{-2}$	měrná energie broušení kriterium strmosti kriterium strmosti práce vyjískrování	[ 29 ] [ 25 ]



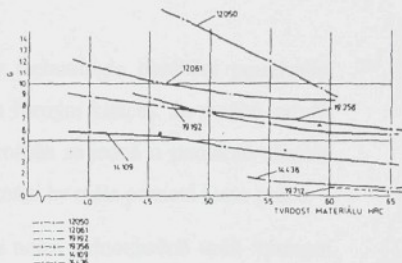
obr. 2.44 [76]



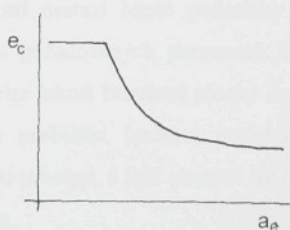
obr.2.40 [22]



obr.2.41 [31]



obr.2.42 [22]



obr.2.45 [ 3 ]

### 3.0 EXPERIMENTÁLNÍ ČÁST

Z druhé kapitoly vyplývá, že pouze detailní výzkum procesu broušení, vytvoření matematických závislostí buď na základě pravděpodobnosti a statistiky nebo v kombinaci s databází a výpočetní technikou, je směrem budoucího řešení této technologie. V současné době je výsledek procesu více či méně v rukou brusiče a to nehovoříme o kvalitě broušené plochy jako celku, kdy její jednotlivé složky praxe hodnotí pouze v případě vzniku poruch.

Experimentální část práce se zabývá vytvořením modelu výstupních hodnot drsnosti povrchu s podporou výpočetní techniky. Využití tohoto modelu by mohlo pomoci při úplné automatizaci cyklu broušení, na čemž autor nadále pokračuje.

#### 3.1 Formulace problému

Na základě dříve uvedených poznatků lze konstatovat, že veškerá řešení v oblasti broušení kovů se nebudou nalézat vzhledem

- a) ke složitosti procesu
  - b) ke stupni vývoje vědy a techniky
- na stejné problémové hladině jako technologie obrábění používající nástroje s jednoznačně definovaným řezným klínem. Je možno použít směry řešení uvedené v kap. 2.1. Protože se jedná o poměrně obsáhlé okruhy, k jejich dalšímu vývoji a poznání by měla pomoci i tato práce.

Při současném stavu znalostí nelze jednoznačně určit výstupní parametry broušené plochy. Ve výrobní praxi je tento problém přenesen na úroveň pracovníka obsluhující brusku - brusiče. Ten na základě svých zkušeností, praxe a dovedností nastaví řezné podmínky a připraví celý systém tak, aby dosáhl požadovaných parametrů. Přes existenci různých řídících systémů, nelze jakost broušené plochy dosud vytvořit řízeně. K vyřešení tohoto problému bychom potřebovali vyhledat takovou dynamickou veličinu procesu, s jejíž pomocí by bylo možno řídit konečné parametry plochy.

Práce si klade za cíl:

- a) ověření některých stávajících přístupů k technologii broušení
- b) vytvoření a ověření nového přístupu, zjištění oboru jeho platnosti a využitelnosti a porovnání se stávajícími přístupy

Práce bude zaměřena na zjištění významu časového průběhu složek řezných sil a to zvláště složky dominantní pro broušení - normálové složky řezné sily. Časový průběh tvoří tři oblasti brousicího cyklu - vřezání kotouče, pracovní fáze a závěrečná, vyjiskřovací fáze. Pro stanovení a dosažení určité jakosti povrchu by měla mít význam právě fáze vyjiskřování. Proto se v práci zaměřím na zjištění významu této oblasti z pohledu jakosti finálního povrchu. Jakost budeme hodnotit v hodnotách drsnosti povrchu, nejlépe  $R_a$ . Bude nás zajímat i to, zda existuje nějaká závislost vyjiskřovací fáze vzhledem k dalším veličinám průběhu procesu brusení.

Přínosem práce se stane i takové řešení, které zjistí, že daný směr není správný, je pro všeobecné řešení nepoužitelný a nelze jej tedy při řešení systému broušení aplikovat.

Přitom je nutno si uvědomit, že dané řešení bude vytvořeno při daném stupni přístrojového vybavení a stupni znalostí, kdy je možné, že ověření platnosti při vývoji technického zajištění zejména, se stane pozitivním i v případě současného zamítnutí postupu.

Řešení práce by mělo potvrdit, že pomocí některé charakteristické veličiny vyjiskřovací fáze, databanky údajů reálných procesů a vytvořeného matematického modelu je možné vytvořit takové řízení brousicího procesu, při němž budou dodrženy všechny předpokládané ( požadované ) výstupní veličiny. Podle kvality modelu a databáze zejména :

- drsnost povrchu
- ovlivnění povrchové vrstvy
- geometrická a rozměrová přesnost
- struktura povrchové vrstvy

Na kvalitě modelu a databáze bude závislá i velikost pole v němž se s danou přesností budou výstupní veličiny pohybovat.

### 3.2 Expertní systémy

Expertními systémy se zabývá ve spojitosti s broušením řada pracovišť [ 66 ], [ 85 ], [ 80 ], dále také Dr.Trmal na UWE v Bristolu, katedra KOM na TU v Liberci a další. Tyto systémy simulují rozhodovací proces při řešení a formulaci problému, mohou vést k optimalizaci činnosti. Expertní systémy pracují v několika rovinách ( obr. 3.1 ).

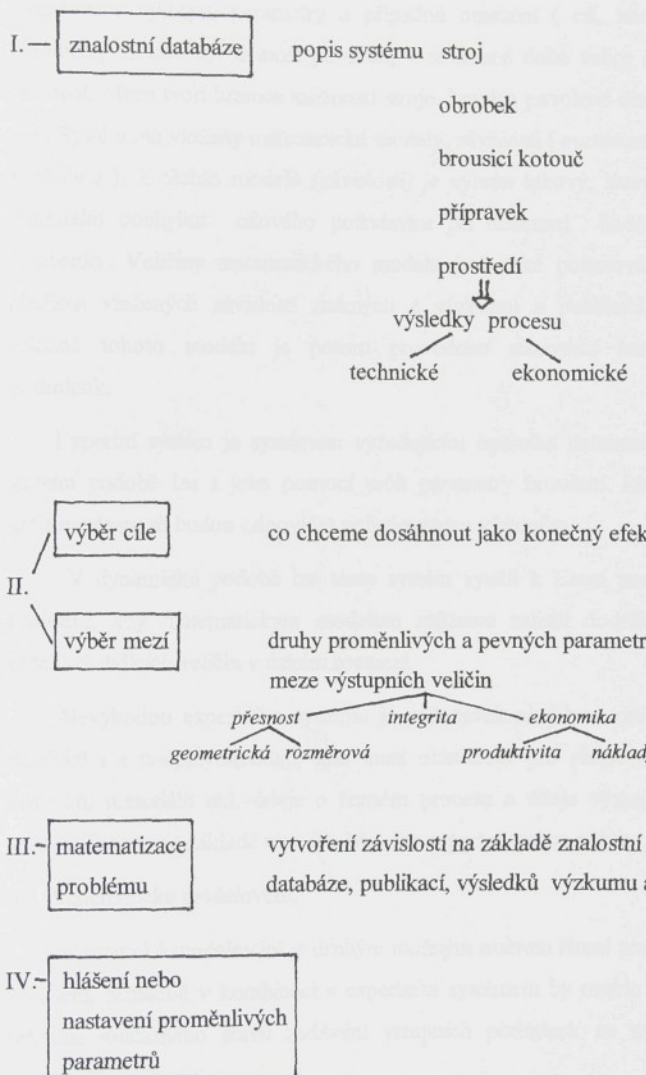
Vlastní konstrukce expertního systému [ 66 ] zahrnuje zdrojovou část a pracovní část. Vstupní data tvoří nejdůležitější část expertního systému. Obsahují údaje :

popis použité technologie  
obrobek  
specifikaci pro obrábění ( drsnost,přesnost,integritu)  
brousící kotouč  
podmínky broušení  
orovnání  
řezné prostředí  
**dodané údaje :**  
výpočet drsnosti, přesnosti, integrity  
výpočet operačních hodnot ( F, q atd.)

Jednotlivé údaje a výběr řezných podmínek je determinován pevnými postupy nebo výběrem z již uskutečněných experimentů v databázi. V poslední fázi dochází ke kombinaci volby jednotlivých možností řezných podmínek.

Vzhledem k možnostem výpočetní techniky, expertní systém může vycházet z tvorby vlastního matematického modelu na základě údajů uložených v bance dat. Expertní systém na obr.3.2 pracuje za

## **EXPERTNÍ SYSTÉM**



obj.3.1 [ 66 ]

podpory banky dat ( *znalostní databáze* ). V této bance jsou uloženy údaje proběhlých brousicích cyklů ať už experimentálních, tak i neúplné údaje z výroby. Po zadání vstupních dat procesu je nutno zadat také požadované výstupní parametry a případná omezení ( *cíl, meze* ). Parametry mohou být drsnost povrchu, v současné době velice často přesnost. Meze tvoří hranice možností stroje, hranice povolené drsnosti atd.. Systém má vloženy matematické modely, závislosti ( *matematizace problému* ). Z těchto modelů (závislostí) je vybrán takový, který má minimální odchylku cílového požadavku při dosazení hodnot z databanky. Veličiny matematického modelu jsou také posuzovány z hlediska vložených závislostí známých z výzkumu a publikací. Na základě tohoto modelu je potom provedeno stanovení řezných podmínek.

Expertní systém je systémem vyžadujícím operační databázi. Ve stabilní podobě lze s jeho pomocí určit parametry broušení, které s určitou přesností budou odpovídat požadovaným výstupům.

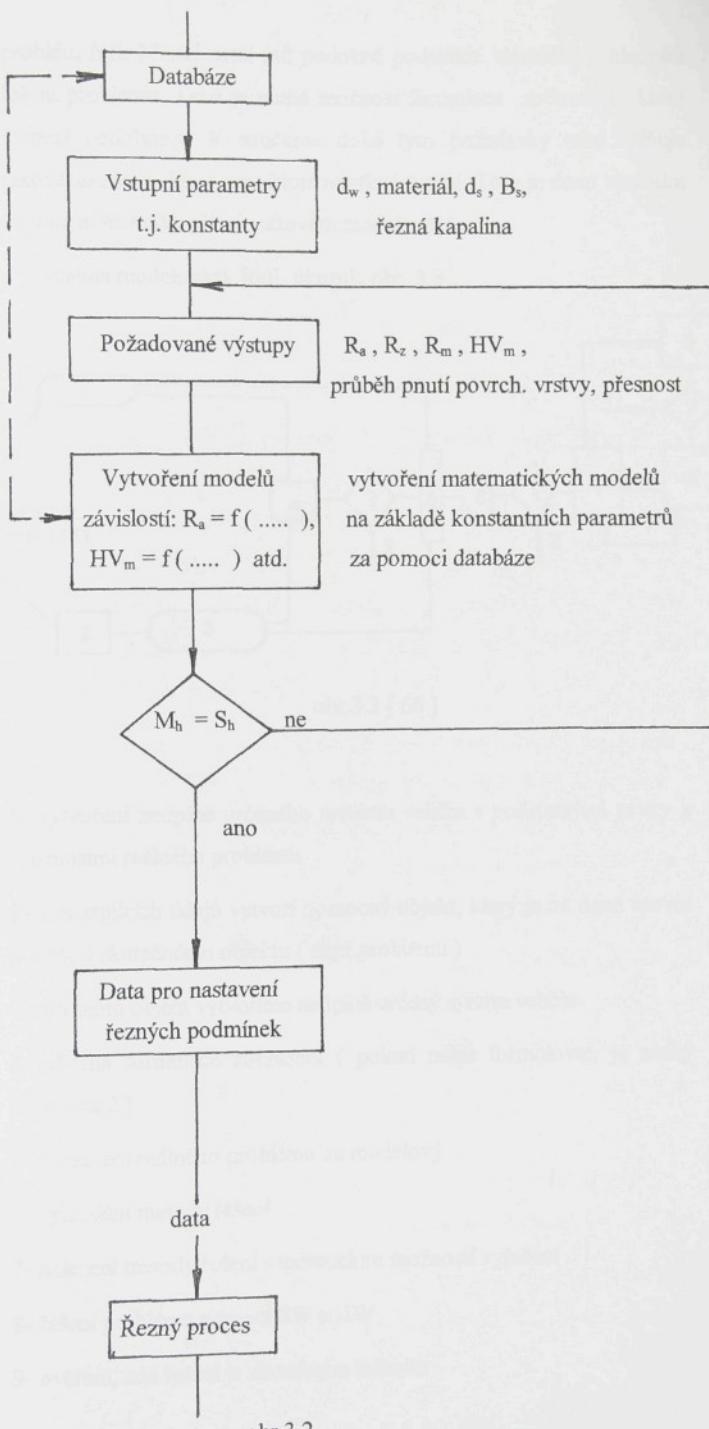
V dynamické podobě lze tento systém využít k řízení procesu broušení, kdy matematickým modelem můžeme zajistit dodržování určených řídicích veličin v úzkém rozmezí.

Nevýhodou expertního systému je požadavek na jeho rozsáhlou databázi i s neúplnými údaji, kde musí obsahovat pro různé druhy kotoučů, materiálů atd. údaje o řezném procesu a údaje výstupních veličin. Teprve na základě této databáze lze expertní systém oživit.

### 3.3 Matematické modelování.

Matematické modelování je druhým možným směrem řízení procesu broušení, případně v kombinaci s expertním systémem by mohlo být řešením současného stavu zadávání vstupních podmínek za nejistě zaručeného výstupu.

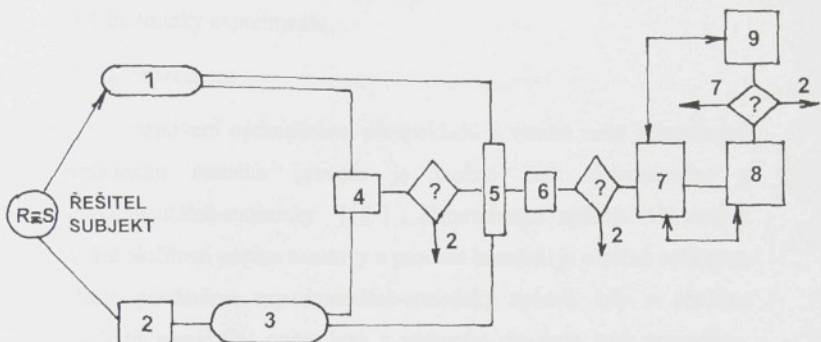
Matematické ( výpočtové ) modelování je založeno na principu vytvoření modelu skutečného problému [ 60 ] a na tomto modelu se



obr.3.2

problém řeší. Model musí mít podobné podstatné vlastnosti z hlediska řešení problému. Také je nutná možnost formulace zobrazení, které vymezí podobnost. V současné době tyto požadavky také splňuje taková soustava, která umožňuje nepřímé řešení. Toto je dánou využitím výpočetní techniky při výpočtovém modelování.

Schéma modelování [60] ukazuje obr. 3.3



obr.3.3 [ 60 ]

- 1- vytvoření neúplně určeného systému veličin s podstatnými prvky a vlastnostmi reálného problému
  - 2- z existujících údajů vytvoří pomocný objekt, který je na dané úrovni podobný skutečnému objektu ( např.problému )
  - 3- pro tento objekt vytvoříme neúplně určený systém veličin
  - 4- obecná formulace zobrazení ( pokud nelze formulovat, je nutný návrat na 2 )
  - 5- zobrazení reálného problému na modelový
  - 6- vyhledání metody řešení
  - 7- nalezení metody řešení s teoretickou možností vyřešení
  - 8- řešení problému pomocí SW a HW
  - 9- ověření, zda řešení je skutečným řešením

Výpočtové modelování odlišuje od běžných výpočtů vztah k experimentu. Experiment patří neoddělitelně právě k výpočtovému modelování. Experiment vlastně nahrazuje model výpočtového modelování, kdy se experiment stává zdrojem dat odpovídajících reálnému procesu.

### 3.4 Podmínky experimentu.

#### 3.4.1 Experiment

Stanovení optimalizace, předpokladů a vztahů mezi jednotlivými veličinami řezného procesu je možno řešit determinačně a experimentálně-statisticky [ 5 ]. Determinační způsob vzhledem k velké složitosti popisu soustavy a procesu broušení je obtížné aplikovat. Proto používáme experimentálně-statistický způsob, kdy se snažíme zachytit maximální počet jevů s vědomím, že řadu jevů opomijíme, případně je pouze předpokládáme.

Při tomto způsobu řešení můžeme zvolit cestu klasického (úplného) výzkumu, kdy sledujeme reakci objektu při všech změnách vstupních veličin v jejich vzájemné kombinaci. Tento postup vyžaduje vysokou kapacitu danou vysokým počtem pokusů, pracnosti, vysokými náklady, přípravnými a experimentálními časy a podobně.

Při plánovaných pokusech ( experimentech ) se kombinuje pouze určitý počet charakteristických faktorů, kdy návrh a zpracování se provádí pomocí statistických metod. V tomto případě dojde ke zkrácení časů, náročnosti, prodloužení časů na kvalitní provedení experimentu, jeho hlubší analýzy a přesnější závěry.

Každý pokus musí mít stanovený cíl a určeny jednotlivé faktory experimentu. Z hlediska stanovených cílů používáme experiment [ 5 ] :

Aktivní a pasivní, kdy vytvořením nových podmínek získáme výsledky o předmětu výzkumu, aktivní experiment se používá v laboratorních podmínkách, pasivní ve výrobních podmínkách.

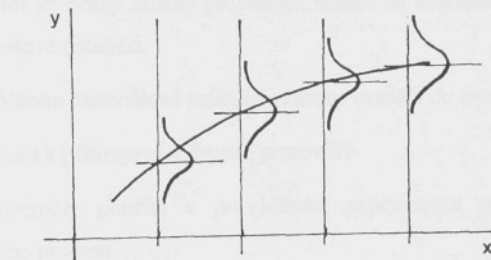
Laboratorní a výrobní jsou dány druhem prostředí probíhajícího experimentu, kdy laboratorní je přesnější v naměřených hodnotách, výrobní v kvalitě těchto hodnot vzhledem k reálnosti procesu.

Fyzikální a matematický rozlišují přístup k podstatě experimentu.

Popisný a optimalizační, kdy popisný použijeme k analýze, k výzkumu a popisu jevů optimalizační hledá a určuje optimální stav i přes ne zcela vyjasněnou podstatu procesu.

Experimentální výzkum je založen na náhodnosti jevů, kdy za základ hodnocení procesů v technické praxi je považováno normální rozdělení pravděpodobnosti jevů ( Gaussovo ) pro spojité jevy.

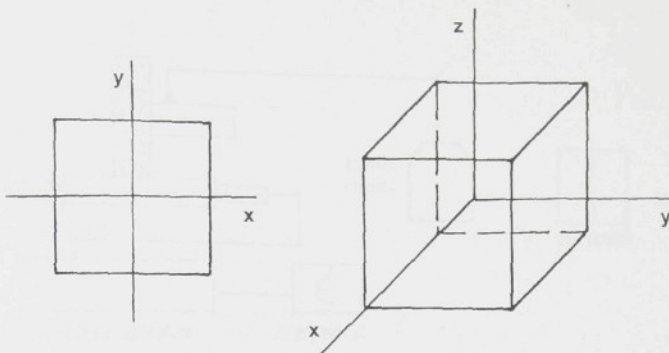
Zpracování výsledků experimentů, hledání závislostí umožňuje korelačně-regresní analýza, kdy regresní křivka s náhodným normálním rozdělením jevů je znázorněna na obr. 3.4. Protože tento matematický postup je pracný a časově náročný, je využíváno výpočetní techniky, případně softwareových produktů např. : Statgraphics, MATLAB atd.



obr.3.4

#### 3.4.1.1 Plánování experimentu

Každý experiment obsahuje konečný počet pokusů, kdy kvalita experimentu je závislá na výběru prvků - tzn. úplný nebo částečný faktorový experiment [ 5 ]. Úplný faktorový experiment realizuje všechny možné kombinace hodnot faktorů bez opakování. Nejčastější jsou plány typu  $2^k$  a méně  $3^k$  ( obr. 3.5 ).



obr.3.5

Pro provedení experimentu se vytváří matice plánovaného experimentu s kombinací jednotlivých faktorů pro daný pokus.

### 3.4.2 Materiální zajištění experimentu

Materiálové zajištění experimentu souvisí úzce s jeho kvalitou, důvěryhodností a kvalitou získaných výsledků.

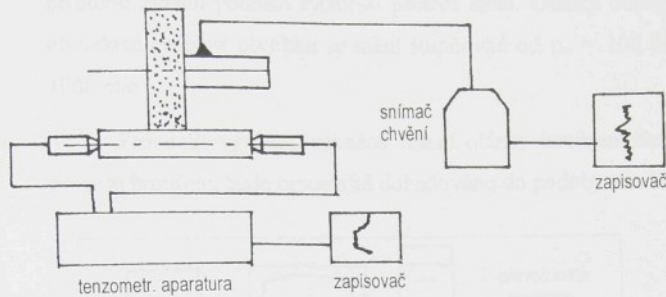
V průběhu řešení práce bylo pracoviště ( obr. 3.6 ) doplněno a přetvořeno na kvalitativně nové pracoviště ( obr.3.7 ), na kterém se provádí již přímý odečet procesních veličin za současného ukládání v počítačové databázi.

Vlastní materiálové zajištění můžeme rozdělit do dvou skupin:

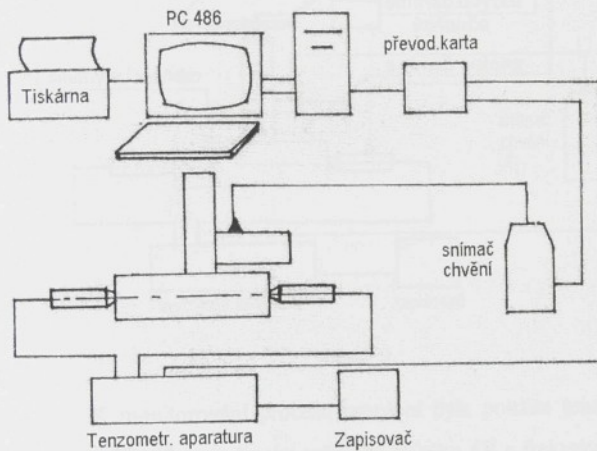
- a) strojní a přístrojové vybavení pracoviště
- b) materiály použité v prováděném experimentu při uskutečnění řezného procesu

#### 3.4.2.1 Vybavení pracoviště

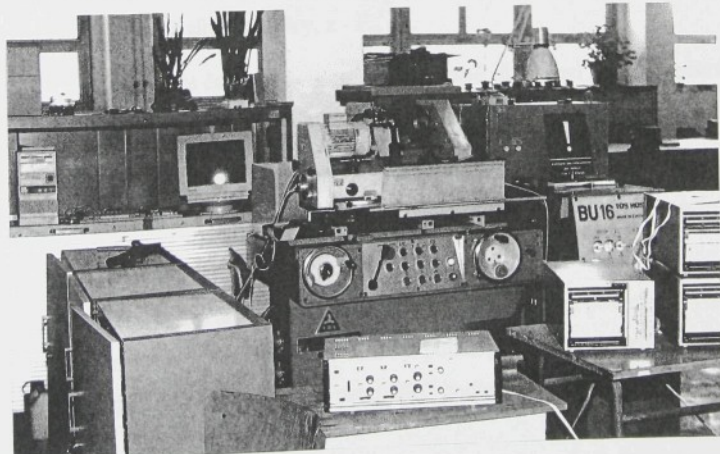
Experimentální pracoviště v současné podobě ( obr.3.8 ) bylo vybaveno hrotovou bruskou BU 16, výrobce TOS Holice, rok výroby 1990. Bruska má možnost volby dvou obvodových rychlostí brousicího kotouče daných  $n_s = 2812$  nebo  $2097 \text{ min}^{-1}$  ( po dohodě s výrobcem bylo využito obou stupňů ), plynulou změnu přísuvové rychlosti pracovního vřeteníku zejména pro zapichovací způsob broušení a



obr.3.6



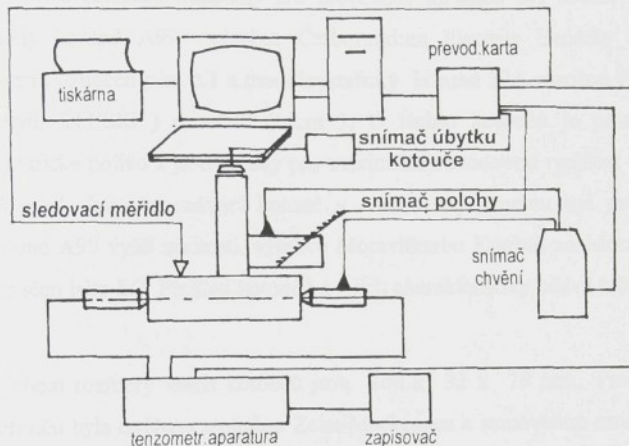
obr.3.7



obr.3.8

plynulou změnu podélné rychlosti posuvu stolu. Otáčky obrobku, t.j. obvodová rychlosť obrobku se mění stupňovitě od  $n_w = 100 \text{ min}^{-1}$  do  $1000 \text{ min}^{-1}$ .

Pro další výzkum, zejména řešení otázky inteligentního řízení procesu broušení, bude pracoviště dobudováno do podoby na obr.3.9.



obr.3.9

K monitorování procesu broušení byla použita tenzometrická aparatura T1000 s napájením měřicího můstku 4V s frekvencí 5 kHz v maximální citlivosti. Tato aparatura byla použita ke sledování velikosti složek řezné síly v osách y, z -  $F_n, F_t$ .

Pro zápis časové závislosti složky řezné síly  $F_n$  byl použit zapisovač Vareg 2.

Měření drsnosti bylo prováděno měřicím přístrojem Hommel-Tester T500. Tento přístroj umožnil snímat drsnost povrchu v hodnotách  $R_a$ ,  $R_z$ ,  $R_m$ .

Pro hlubší analýzu vlivu procesu broušení na stav povrchové vrstvy byla měřena její tvrdost K měření byl použit přístroj Rockwell s identory pro zjišťování hodnot HRB nebo HRC podle tvrdosti povrchu vzorku.

### 3.4.2.2 Brousicí kotouče.

Brousicí kotouč je svým vlivem jedním z hlavních činitelů procesu. Jeho vlastnosti jsou dány technickou charakteristikou . Tyto vlastnosti je nutno však ověřit pro určitý rozptyl hodnot ve výrobě. Vzhledem k použitému stroji byl zvolen maximální průměr kotouče  $d_s=300$  mm. Jako dva základní materiály zrn brousicích kotoučů byl použit bílý umělý korund A99 výrobce Carborundum Electrite Benátky nad Jizerou označen jako č.1 a monokrystalický korund 27A výrobce FAG ( nyní EFESIS ) označen číslem 3. U těchto kotoučů je použito keramické pojivo a jsou určeny pro maximální obvodovou rychlosť  $v_s = 45 \text{ m.s}^{-1}$ . Jako srovnávací kotouč v závěru experimentu byl použit kotouč A99 vyšší zrnitosti, výrobce Moravitkarbo Kunštát na Moravě, označen jako č.2. Přehled kotoučů a jejich charakteristiky udává tab.IV.

Výchozí rozměry všech kotoučů jsou 300 x 32 x 76 mm. Tvrdost kotoučů byla ověřena metodou Zeiss-Mackensen a stanovením modulu pružnosti akustickým signálem v závodě Carborundum Benátky.

tab.IV.

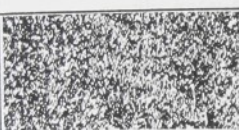
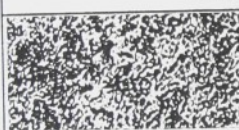
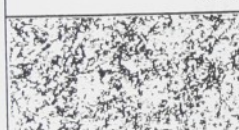
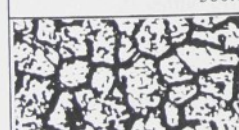
Poř. čís.	Brousicí kotouč	Rozměr	Zeiss-M. h [mm]	E [kN.mm <sup>-2</sup> ]	$\rho$ [g.cm <sup>-3</sup> ]
1.	A99 100J 9V	$\varnothing 300 \times 32 \times 76$	3.8 / J	44.236	1.905
2.	A99 60M 8V	$\varnothing 300 \times 32 \times 76$	2.7 / M	63.2	2.31
3.	27A 120J 9V	$\varnothing 300 \times 32 \times 76$	3.7 / J	44.81	2.075

### 3.4.2.3 Materiál obrobku.

Protože byly pro průmyslové závody současně zjišťovány některé vlastnosti materiálů po broušení, byly tyto materiály zařazeny také do skupiny vzorků pro experiment. Jednotlivé materiály shrnuje tab. V. s udáním jejich charakteristiky. Vzorky byly vytvořeny v několika kusech, aby experiment mohl plynule pokračovat a také aby nedocházelo k příliš rychlému zmenšování průměru obrobku, což by mělo za následek znatelný pokles obvodové rychlosti.

Struktura jednotlivých materiálů je také popsána v tabulce, odpovídá jejich zpracování. Vzorky materiálu měly šířku  $B_s=15\text{mm}$ , průměr byl dán výchozím průměrem polotovaru. Vzorky materiálu byly upínány do přípravku pomocí otvoru o průměru 20 mm.

tab.V

MIKROSTRUKTURA	VZOREK	TVRDOST	SLOŽENÍ DLE ČSN [ % ]
 300:1	12 050.1	HRB 85	0.42-0.5 C 0.5-0.8 Mn 0.17-0.37 Si 0.25 Cr, 0.3 Ni, 0.3 Cu
 500:1	12 050.4	HRC 40	jako 12 050.1
 500:1	15 241. 6	HRC 45	0.35-0.4 C 0.6-0.8 Mn 0.17-0.37 Si 1.7-2.0 Cr 0.6 Ni, 0.1-0.2 V
 500:1	17 027. 0	HRB 83	0.15-0.25 C 0.9 Mn 0.7 Si 14.0-16.0 Cr
 500:1	17 027. 2	HRC 40	jako 17 027.0

### 3.4.2.4 Řezná kapalina.

Řezná kapalina byla použita od výrobce TRIGA Praha . Jedná se o Robol ve 2% koncentraci doporučené výrobcem. Do řezu bylo konstantně dodáváno  $Q_f = 2 \text{ l} \cdot \text{min}^{-1} \cdot \text{mm}^{-1}$ .

### 3.5 Metodika měření

Experimentální pracoviště na němž je měření prováděno ukazuje obr. 3.9. Při měření jednotlivých veličin bylo používáno následujících postupů:

Rozměry obrobku - měřeno mikrometrem na 3 místech a brán aritmetický průměr těchto měření

z měření vyplývá: - velikost obvodové rychlosti obrobku  $v_w$

- velikost úběru materiálu  $V_w$ ,  $Q_w$

Úbytek brousicího kotouče - měřen "žiletkovou metodou" jako otisk profilu kotouče do ocelové planžety ( čepelky ) s vyhodnocením na metalografickém mikroskopu. Tento mikroskop má přídavné zařízení pro přesný odečet měřených hodnot s přesností odpočtu  $1\mu\text{m}$ .

Z měření vyplývá: - obvodová rychlosť brousicího kotouče  $v_s$

- objemové opotřebení brousicího kotouče  $V_s$ ,  $Q_s$

Orovnání brousicího kotouče - jsem prováděl po ukončení každého cyklu broušení, t.j. po čtyřech pracovních záběrech kotouče. K orovnání jsem použil jednokamenový diamantový orovnavač. Orovnání probíhalo ve dvou etapách :

1) hrubé orovnání o hloubce  $a_d = 0.05 \text{ mm}$ ,

2) jemné orovnání o hloubce  $a_d = 0.025 \text{ mm}$  při rychlosti posuvu  $v_d = 0.5 \text{ mm} \cdot \text{s}^{-1}$ .

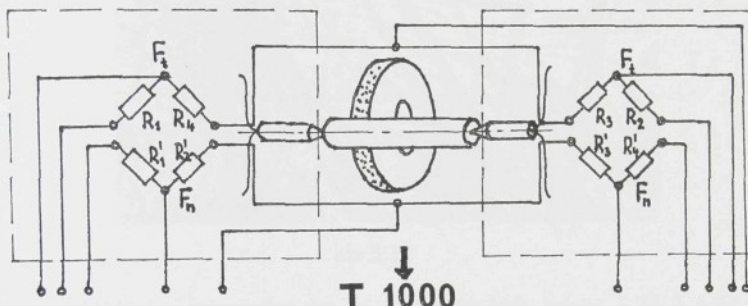
orovnání ovlivňuje : - velikost obvodové rychlosti kotouče zmenšením

jeho průměru

- kvalitu broušené plochy

Velikost řezných sil - měřil jsem dvousložkovým tenzometrickým dynamometrem, jehož schéma ukazuje obr.3.10. Dynamometr je zkonstruován jako speciální hrot s deformačními členy ve tvaru trubky. Ve dvou hlavních směrech působících sil, normálové  $F_n$  a tečné  $F_t$ , byl opatřen tenzometrickými snímači ( na každém hrotu jsou umístěny dva

snímače pro příslušnou sílu). Změna odporu, vyvolaná průhybem deformačních členů působením složek řezné síly, byla zpracovávána tenzometrickou aparaturou T 1000. Registrace probíhala jednak graficky (pro  $F_n$ ) zapisovačem Vareg 2 (obr.3.11) a jednak pomocí převodní karty počítačem. Kalibrace celé soustavy byla provedena třmenovým siloměrem, zapůjčeným školicím pracovištěm.



obr.3.10

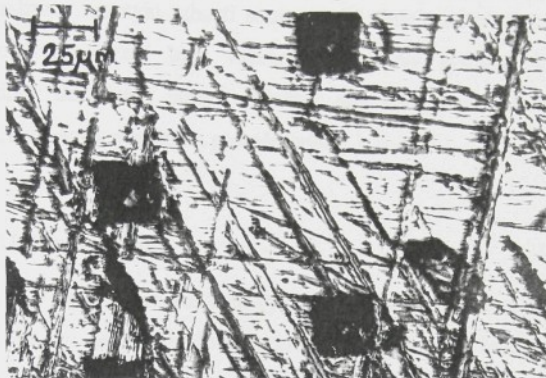
Drsnost povrchu - měřena přístrojem Hommel-Tester T500 pracujícím na principu piezoelektrického jevu v krystalech, kdy při snímání profilu diamantovým hrotom dochází k deformaci krystalu a statisticky se vyhodnocuje průběh signálu s výstupem v hodnotách  $R_s$ ,  $R_z$ ,  $R_m$ . Po každém broušení se provádělo měření drsnosti na třech různých místech povrchu.



obr.3.11

Průběh tvrdosti povrchové vrstvy - měření se provádělo na šikmém řezu pod úhlem  $7^{\circ}30'$ , vybroušeném na povrchu broušené plochy brousicím

papírem č.600 pod vodou. Byla měřena hodnota mikrotvrdosti podle Vickerse na přídavném zařízení metalografického mikroskopu Jenavert (obr.3.12). Zatěžovací síla byla použita 1.75 N, toto měření ani vyhodnocení není součástí práce a bude zpracováno samostatně.



obr.3.12

Ukládání a zpracování dat do databanky bylo řešeno [ 33 ] a je zahrnuto do architektury databanky. Průběh tvrdosti povrchové vrstvy a odhad průběhu se musí stát nedílnou součástí výstupních parametrů povrchu. Zápis do databanky je prováděn po 25  $\mu\text{m}$  hloubky pod povrchem s hodnotami naměřené mikrotvrdosti :

$h_v0.25 \ h_v0.5 \ h_v0.75 \ h_v1.0 \ h_v1.25 \dots$

Velikost chvění brousicího vřeteníku - byla snímána pro úplnost měření a za účelem dalšího využití při hledání závislostí mezi jednotlivými vlivy procesu broušení. Byly zaznamenány hodnoty zrychlení a rychlosti za současného zápisu průběhu chvění na zapisovači. Veličina byla měřena snímačem chvění 2513 Brüal - Kjaer.

Oba posledně jmenované údaje nesouvisely s cílem práce. Vzhledem k předpokladu, že ve výzkumu budu pokračovat i v budoucnosti, prováděl jsem měření co nejkomplexněji. Předpokládám, že posledně jmenovanými vlivy se budu zabývat dále v souvislosti s řízením cyklu broušení k dosažením určité jakosti povrchové vrstvy po broušení.

Každý jednotlivý pokus byl opakován čtyřikrát na témže vzorku materiálu pro maximální odstraňování nahodilých vlivů a rozptylu podmínek měření. Upínací síla po celou dobu byla konstantní z důvodu minimalizace rozptylu tuhosti soustavy. V rámci možností a přesnosti kontrolních zařízení byly veškeré další vlivy systému i řezných podmínek udržovány jako konstantní, aby bylo možno jednoznačně vytvořit závěry k veličinám proměnlivým.

### 3.5.1 Uchovávání dat

V průběhu řešení byla vyvinuta určitá architektura banky dat, která má v současné době podobu odpovídající řešení systému automatického řízení procesu broušení. Databanka je tvořena čtyřmi skupinami dat :

- a) data vstupní (  $B_s$  ,  $d_{w1}$  ,  $d_s$  ,  $n_w$  ,  $n_s$  ,  $b_d$  ,  $v_{fr}$  , kotouč, obrobek )
- b) data procesní (  $F_t$  ,  $F_n$  ...)
- c) data postprocesní (  $R_a$  ,  $R_z$  ,  $a_e$  ..... )
- d) data analytická (  $d_{eq}$  ,  $h_{eq}$  ,  $V_w$  ,  $V_s$  ,  $Q_s$  ..... )

Pro zajištění dat při jednotlivých měřeních byl od počátku vytvořen tiskopis měření ( příl. 1 ), který obsahoval měřené a vstupní údaje. Na jeho základě se prováděl zápis do banky dat.

Pro ucelenosť banky dat jsou ukládány také hodnoty chvění naměřené na brousicím vřeteníku jako maxima rychlosti a zrychlení, po zapojení počítáče PC je průběh chvění ze snímače 2513 spolu se zápisem časového průběhu závislostí  $F_n - \tau$  ,  $F_t - \tau$  ukládán do paměti počítáče a na diskety.

Ve vytvořené bance dat je evidován maximální počet zjištovaných veličin, které umíme změřit a registrovat v relativně krátké době.

### 3.5.2 Plánování experimentu

Experiment byl naplánován dle kap. 3.3.1.1. Pro základní experiment byly vybrány následující řídící faktory:

brousicí kotouč : 2 typy

broušený materiál : 2 základní druhy

obvodová rychlosť kotouče : 2 ( možnosti stroje )

rychlosť písuvu brousicího vretenku : 2

Jedná se tedy o plán experimentu s počtem pokusů  $N = 2^k$ . Při vytvoření matice plánovaného experimentu jsem vycházel z ortogonálního plánu ( obr.3.5 ) pro čtyři nezávisle proměnné. Vzhledem k možnostem stroje ( limitující počet nastavení ) jsem za základ vzal čtyřbodový ortogonální plán. Na základě tohoto plánu byla sestavena matice plánovaného experimentu ( obr.3.13 ).

Čís.mř.	faktor A	faktor B	faktor C	faktor D	$v_s$	$v_f$	kotouč	mat.obrobku
1.	- 1	- 1	- 1	- 1	33	0.26	A 99	12050.0
2.	+ 1	- 1	- 1	- 1	43	0.26	A 99	12050.0
3.	- 1	+ 1	- 1	- 1	33	0.64	A 99	12050.0
4.	+ 1	+ 1	- 1	- 1	43	0.64	A 99	12050.0
5.	- 1	- 1	+ 1	- 1	33	0.26	27 A	12050.0
6.	+ 1	- 1	+ 1	- 1	43	0.26	27 A	12050.0
7.	- 1	+ 1	+ 1	- 1	33	0.64	27 A	12050.0
8.	+ 1	+ 1	+ 1	- 1	43	0.64	27 A	12050.0
9.	- 1	- 1	- 1	+ 1	33	0.26	A 99	12050.6
10.	+ 1	- 1	- 1	+ 1	43	0.26	A 99	12050.6
11.	- 1	+ 1	- 1	+ 1	33	0.64	A 99	12050.6
12.	+ 1	+ 1	- 1	+ 1	43	0.64	A 99	12050.6
13.	- 1	- 1	+ 1	+ 1	33	0.26	27 A	12050.6
14.	+ 1	- 1	+ 1	+ 1	43	0.26	27 A	12050.6
15.	- 1	+ 1	+ 1	+ 1	33	0.64	27 A	12050.6
16.	+ 1	+ 1	+ 1	+ 1	43	0.64	27 A	12050.6

obr.3.13

Jak již bylo řečeno dříve, byla každá kombinace faktorů opakována 4x z důvodu eliminace vlivů a potvrzení výsledků. Pro potvrzení zkoumaného jevu bylo v závěru experimentu použito náhodného výběru dalších tří materiálů a byl sledován další druh brousicího kotouče s větším zrнем  $\text{Al}_2\text{O}_3$ . Kombinace faktorů zůstala vzhledem ke srovnatelnosti výsledků. Výsledky těchto měření jsou potom použity v závěru práce pro dokreslení a potvrzení domněnky.

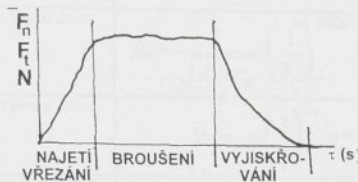
### 3. 5. 3 Nosné veličiny

Prováděné experimenty byly vedeny se záměrem potvrdit vypovídací schopnost časového průběhu závislosti složky řezné sily  $F_n$  a navrhnut aplikaci této závislosti při vlastním procesu broušení. Tento průběh, protože se jedná o časově proměnnou veličinu, má dynamický charakter a měl by, předpokládáme, popsat lépe celý proces broušení než veličiny statické. Od této filosofie jsou odvozeny sledované a vyhodnocované veličiny procesu broušení. Základem řešení, pro poměrně velkou absenci této problematiky v literatuře, je tedy časový průběh normálové složky řezné sily  $F_n$  [25]. V současné době nejznámější přístupy k problematice hodnot drsnosti povrchu a velikosti složek řezné sily shrnují tab.VI a VII.

#### 3.5.3.1 Časová závislost řezné sily

Časová závislost řezné sily je dána průběhem dvou složek řezné sily u zapichovacího broušení a tří složek řezné sily u podélného broušení rotačních ploch. Vzhledem k poměru velikostí jednotlivých složek řezné sily se budeme zabývat závislostí dominantní složky - složkou  $F_n$ . Časová závislost je tvořena [ 25 ], [ 96 ], [ 97 ] třemi oblastmi ( obr. 3.14), kdy v první oblasti dochází k eliminaci vlivů při postupném najetí nástroje do záběru. Dochází k napružení soustavy stroj - nástroj - obrobek - přípravek ( S-N-O-P ), k odstranění nalomených a uvolněných zrn z brousicího kotouče [ 43 ], [ 84 ] a k

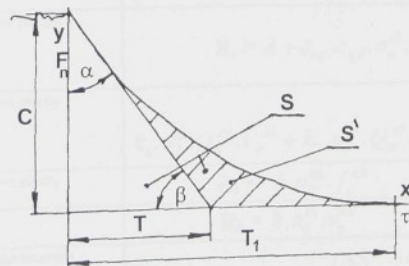
postupnému vřezávání nástroje do obrobku na plnou hloubku záběru. Po této etapě následuje období plného odebírání materiálu obrobku ( pracovní fáze ) s kolísáním velikosti řezné sily, což je dáno morfolo-



obr.3.14

gií brousicího kotouče, nehomogenitou povrchové vrstvy obrobku ( velikost odebírané vrstvy materiálu, vmeštky, tvrdá zrna oxidů, karbidů a pod. ), vlivem tuhosti soustavy a působením okolí na tuto soustavu ( ovlivňuje zejména geometrický tvar obrobené součásti ).

Poslední etapou je fáze vyjiskrování, kdy nástroj teoreticky vyjíždí ze záběru, ve skutečnosti změna hloubky tlísky je dána uvolňováním soustavy a dosažením rovnovážného stavu při nulové hodnotě stykové plochy nástroje a obrobku. Řezání materiálu přechází postupně ve škrábání, plastickou deformaci povrchu s ukončením při nulové hodnotě řezné sily. Podle předpokladu by tato fáze měla mít zásadní vliv na drsnost a kvalitu obrobené plochy časovou délkou etapy a svým průběhem. Fází vyjiskrování lze také charakterizovat řezivost nástroje pro reálné případy [25].



obr.3.15

TAB.VI

D R S N O S T P O V R C H U				
ROK	AUTOR	DRUH BROUŠENÍ	VZTAH	LIT.
1952	Saljé	rovinné broušení	$R_t = \frac{1}{\sqrt{A \cdot \alpha_p}} \cdot \left(\frac{1}{b_s}\right)^{1+1/m} \cdot \left(\frac{1}{q}\right)^{1+1/m} \cdot v_c^{1/m} \cdot a_e^{1+1/m}$	[75]
1969	Brown, Peters	válcové plochy	$R_t = A \cdot \left(\frac{1}{q}\right)^m \cdot a_e^m$	[76]
1974	Snoeys,Peters, Decneut	válcové plochy	$R_a = R_1 \cdot h_{eq}^r$	[76]
1977	Verkerk	válcové plochy	$R_t = \frac{\pi^2 \cdot d_s}{4d_{eq} \cdot (1+q)^2}$	[86]
1978	Bhateja		$R_a = k_0 - k_1 \left(1 + \frac{k_2}{v_s}\right)^{-1}$	[8]
1979	Maslov	válcové plochy	$R_a = \frac{C_{Ra} \cdot v_w^p \cdot a_e^z \cdot f_a^q \cdot k_1 \cdot k_2 \cdot k_3}{v_s^w \cdot d_w^{\mu} \cdot B_s^n}$	[55]
1979	Maslov	diamantový kotouč	$R_a = c_a \cdot v_s^{e1} \cdot v_w^{e2} \cdot a_e^{e3} \cdot v_{fa}^{e4}$	[55]
1986	Kocman	rovinné broušení	$R_a = k \cdot v_{fa}^{k1} \cdot a_e^{k2}$	[41]
1989	Malkin	válcové plochy	$R_a = R_0 \cdot a_d^{e1} \cdot f_d^{e2} \cdot h_{eq}^r$	[53]
1989	König, Knop	válcové plochy	$R_z = A_1 \cdot R_{tsoth}^{e3} \cdot a_e^{e1} \cdot \left(\frac{1}{q}\right)^{e2} \cdot v_c^{e2} \cdot V_w^{e4}$ $+ A_2 \cdot R_{tsoth}^{e7} \cdot a_e^{e5} \cdot \left(\frac{1}{q}\right)^{e6} \cdot v_c^{e6} \cdot V_w^{e8}$	[44]
1992	Tönhof, Peters	válcové plochy	$R_t = c_{wp} \cdot c_{gw} \cdot \left(\frac{1}{q}\right)^{e1} \cdot a_e^{e2} \cdot \left(\frac{1}{d_{eq}}\right)^{e3}$	[79]
1992	Tönhoff, Peters	válcové plochy	$R_z = A + c_{wp} \cdot c_{gw} \cdot a_e^{e1} \cdot \left(\frac{1}{q}\right)^{e2} \cdot v_c^{e3} \cdot V_w^{e4}$	[79]
1994	Rowe,Inasaki,Malkin	válcové plochy	$R_z = k_1 \cdot u_d^{e1} \cdot Q_w^{e2} \cdot V_w^{e3} + k_2 \cdot u_d^{e4} \cdot Q_w^{e5} \cdot (V_w^{e6} + k_3)$	[71]
1995	Rowe,Chen,Mills	válcové plochy	$R_a = k \cdot a_d^{k1} \cdot f_d^{k2}$	[69]
1996	Dubovská		$R_a = k \cdot a_e^{e1} \cdot v_s^{e2}$	[20]
1996	Chen,Duffie	sférické broušení	$R_t = c_w \cdot c_g \cdot \left(\frac{1}{q}\right)^{e1} \cdot a_e^{e2} \cdot \left(\frac{1}{d_{eq}}\right)^{e3}$	[34]

TAB.VII

ŘEZNÉ SÍLY - BROUŠENÍ VÁLCOVÝCH PLOCH			
ROK	AUTOR	VZTAH	LIT.
1971	Lindsay	$F_n = A_1 \cdot \left(\frac{1}{q}\right)^{e1} \cdot a_e^{e2} \cdot d_{eq}^{e3}$	[ 40 ]
1974	Peters, Decneut	$F_t = A \cdot \left(\frac{1}{q}\right)^{2m-1} \cdot a_e^m \cdot d_{eq}^{1-m}$	[ 76 ]
1974	Snoeyes, Peters, Decneut	$F_t = F_1 \cdot h_{eq}^f$ $F_n = \frac{F_1}{\mu} \cdot h_{eq}^f$	[ 76 ]
1979	Maslov	$F_z = p \cdot a \cdot b$ $F_z = c_p \cdot v_w^{e1} \cdot a_e^{e2} \cdot v_{fa}^{e3} \cdot v_s^{e4} \cdot B_s^{e5}$	[ 55 ]
1987	Saljé, Bock	$F_n = A \cdot \left(\frac{1}{q}\right)^m \cdot a_e^{1-m/2} \cdot d_{eq}^{1-m/2}$	[ 73 ]
1988	Rowe	$F_t = \frac{e_c \cdot v_w \cdot a_e}{v_s}$	[ 70 ]
1990		$F_n = k \cdot \frac{Q_w}{v_s}$	[ 99 ]
1992	Tönnhoff	$F_n = c_{wp} \cdot c_{gw} \cdot \left(\frac{1}{q}\right)^{e1} \cdot a_e^{e2} \cdot d_{eq}^{e3}$	[ 79 ]

Rovnice vyjiskřovací křivky ( obr.3.15 ) je dána závislostí [ 72 ] :

$$C_k = F_n \cdot t^k \quad ( 25 )$$

$$y = C \cdot e^{-x/T_1} \quad ( 26 )$$

Nejjednoduššími údaji, které lze použít pro praxi, jsou časové údaje T, T<sub>1</sub>, úhly α, β, popisující fázi " najetí " vyjiskřovací křivky.

Pro potřebu charakterizovat řezivost brousicího kotouče jsou použita kriteria [ 25 ]:

$$\operatorname{tg}\beta = \frac{C}{T} \quad \text{kriterium strmosti} \quad ( 27 )$$

$$U = 10^5 \cdot \frac{\operatorname{tg}\beta}{S} \quad \text{kriterium strmosti práce vyjiskřování} \quad ( 28 )$$

$$R = \frac{10^6}{S \cdot T_1} \quad \text{kriterium časového objemu práce vyjiskřování} \quad ( 29 )$$

$$A = C \cdot T \quad \text{kriterium počátečního impulsu,} \quad ( 30 )$$

kde velikost plochy je dána hodnotou integrálu vyjiskřovací křivky :

$$S = \int_0^T C \cdot e^{-x/T_1} dx \quad ( 31 )$$

Z praktického hlediska a s ohledem na využití zjištěných závislostí a vztahů, jsou nejdůležitějšími údaje popisující kvalitu povrchu obroběné plochy. Z toho důvodu byly zjišťovány vztahy jednotlivých parametrů vyjiskřovací křivky k drsnosti povrchu dané hodnotou R<sub>a</sub>.

Ze souboru charakterizujících veličin C, T, tgα, tgβ, S byly nejlepší výsledky dosaženy při použití hodnot úhlu β, eventuálně tg β ( tgα ). Pro další využití je nevhodnější právě tato snadno odebíratelná a případně ovlivnitelná veličina. V případě velikosti plochy pod křivkou nebo velikosti zbytkové plochy S', bychom museli nejprve určit velikost

této plochy a její hodnotu plošně ovlivňovat v případě použití k řízení procesu.

### 3.5.4 Provedení experimentu.

Při provádění experimentálních měření na brusce byl použit následující standartní postup.

V případě použití nového brousicího kotouče byl měřen jeho průměr pomocí úchylkoměru nastaveného na hodnotu jeho průměru. Velikost naměřené odchylky určila potom průměr kotouče.

Vlastní měření bylo zahájeno kontrolou přesnosti cejchování dynamometru. Následovalo zapnutí stroje a několikanásobné projetí všech funkcí naprázdně. Stroj byl spuštěn 30 minut před vlastním měřením k dosažení provozní teploty a srovnatelného stavu všech měření. Stejnou dobu před měřením byly zapnuty všechny měřící přístroje. U vzorku materiálu byl změřen počáteční průměr mikrometrem, potom byl vzorek upnut do přípravku a s přípravkem mezi hroty brusky. Následovalo najetí brousicího kotouče pro broušení prvního kusu vzorku. Po nastavení rychlosti příslušné brousicího vřeteníku  $v_{fr}$  a tloušťky odebraného materiálu a<sub>e</sub> byl spuštěn pracovní cyklus stroje (otáčky brousicího vřetene i případně otáčky obrobku byly nastavovány vždy předem v závislosti na plánu měření). V průběhu pracovního cyklu byla změřena maximální hodnota obou složek řezné sily -  $F_n$ ,  $F_t$  a doba průběhu cyklu. Po ukončení cyklu bylo měřen konečný průměr obrobku a změřena drsnost povrchu  $R_a$ ,  $R_z$ ,  $R_m$  na třech různých místech vzorku. Postupně následovaly vždy nejméně čtyři pracovní cykly při stejných řezných podmínkách. Pouze v případě nepravidelnosti některých měřených hodnot jsem provedl měření pěti až šesti cyklů.

Po ukončení každého souboru pracovních cyklů jsem provedl stanovení úbytku brousicího kotouče pomocí otisku do ocelové planžety a změřením tohoto otisku pod mikroskopem. Dále odbroušení povrchu vzorku pod úhlem  $7^{\circ}30'$  a stanovení průběhu mikrotvrdosti. Potom byl

orovnán brousicí kotouč a velikost tohoto orovnání určovala také vstupní průměr kotouče pro další měření. Bylo to možné proto, že kotouč šířky 32mm měl pracovní styk se vzorkem šířky pouze 15mm. Poté následoval další soubor pracovních cyklů. V předložené práci jsem vycházel z výsledků 546 experimentálních měření.

Záznam časového průběhu složky  $F_n$  řezné síly byl vyhodnocován po ukončení měření ručně za pomoci dílenského mikroskopu. Zde byla měřena právě velikost úhlu  $\beta$ , který určuje hodnotu strmosti vyjiskřovací křivky.

#### 4.0 VYHODNOCENÍ EXPERIMENTU

Popsaná oblast procesu broušení je příliš široká a bude vyžadovat další roky práce k dosažení plně automatického ( inteligentního ) řízení procesu bez zásahu obsluhy při dosažení požadovaných výstupních parametrů obroběné plochy [ 95 ], [ 97 ]. Tato práce proto řeší část uváděné problematiky a to vztah vyjiskřovací fáze pracovního cyklu a některých veličin broušení.

Mezi tyto veličiny řadíme :

- a) závislost drsnosti povrchu na vyjiskřovací fázi
- b) vztah charakteristické ( - kých ) veličiny vyjiskřovací fáze a veličin pracovní fáze procesu broušení

##### 4.1 Vztah drsnosti povrchu a vyjiskřovací fáze

Základní otázkou je, zda existuje jakákoli souvislost mezi vyjiskřovací křivkou a drsností povrchu. Tuto souvislost lze hledat jako jednoduchou při závislosti na jedné charakteristické veličině vyjiskřovací fáze, nebo závislost vícenásobnou s možností zpřesnění závislosti dalšími veličinami charakterizujícími vlastní proces řezání.

###### 4.1.1 Jednoduchá závislost

Z literatury [ 55 ], [ 79 ] jsou zřejmé některé veličiny ovlivňující finální drsnost povrchu po broušení válcové plochy  $R_a$ . K těmto veličinám můžeme přiřadit také ty, které na základě experimentálních

dat byly vybrány procedurou STEP ( Stepwise Variable Selection ) statistického programového systému Statgraphics jako veličiny ovlivňující drsnost výstupní broušené plochy. Procedura STEP je metodou pro výběr nejlepší podmnožiny vysvětlujících proměnných. Po vyvolání procedury je nutno zadat proměnné daného datového souboru. Zjistil jsem, že je nejvhodnější zadat všechny proměnné, mimo takových, které jsou jinou proměnnou ovlivněny. Například je nesmyslem zadávat velikost průměru obrobku nebo kotouče, přestože dochází k jejich změně v průběhu broušení. Tyto veličiny jsou totiž obsaženy v hodnotách obvodových rychlostí. Po zadání dojde ke spuštění procedury a ta na základě F-rozdělení vybere pouze takové proměnné, které mají nejužší vazbu ke sledované závisle proměnné.

Po proběhnutí procedury byly mezi tyto veličiny jsou zařazeny:

$\operatorname{tg} \beta$  - strmost vyjískrovací křivky

$l_k$  - kinematická délka stykového oblouku

$d_{eq}$  - ekvivalentní průměr

$v_w$  - obvodová rychlosť obrobku

Pokud došlo k výběru více veličin procedurou, byl výběr omezen jen na uvedené veličiny. Dále u nich byl zkoumán vztah k drsnosti povrchu  $R_a$ . Následně budou použity také k vytvoření vícenásobné závislosti ve vztahu k této drsnosti. Jako jednoduché závislosti byly použity :

$$\text{lineární závislost} \quad R_a = k_1 + k_2 \cdot x \quad (32)$$

$$\text{exponenciální} \quad R_a = e^{(k_1 + k_2 \cdot x)} \quad (33)$$

$$\text{multiplikativní} \quad R_a = k_1 \cdot x^{k_2} \quad (34)$$

Výsledné koeficienty případně exponenty těchto veličin pro jednotlivé vztahy ukazuje tab. VIII-IX . Koeficienty a exponenty byly získány pomocí procedury Regression Analysis. Tato procedura na základě zadaného souboru dat vytvoří vybranou závislost v konkrétním tvaru. K výpočtu parametrů funkcí je použita metoda nejmenších čtverců. Pro danou závislost jsou určeny hodnoty konstant a statistické parametry a to především hodnota korelačního koeficientu a koeficient-

TAB.VIII  
 $R_a \sim \operatorname{tg} \beta$

Material	Kotouč	$k_1 + k_2 \cdot x$						$e^{(k_1+k_2 \cdot x)}$					
		$k_1$	$k_2$	Cor. koef.	R-SQ (%)	$k_1$	$k_2$	Cor. koef.	R-SQ (%)	$k_1$	$k_2$	Cor. koef.	R-SQ (%)
12050.1	A99 100J	0.294	0.0081	0.64	41.34	-1.218	0.0234	0.616	37.90	-1.265	0.112	0.526	27.64
12050.4	A99 100J	0.291	0.0035	0.406	16.44	-1.24	0.012	0.41	17.09	-1.335	0.102	0.50	25.05
15241	A99 100J	0.54	-0.019	-0.61	37.07	-0.67	-0.04	-0.59	34.40	-0.386	0.322	-0.69	47.47
17027.0	A99 100J	0.21	0.03	0.57	32.52	-1.37	0.066	0.63	39.99	-2.19	0.66	0.7	49.26
17027.4	A99 100J	0.42	-0.003	0.29	8.35	-0.88	-0.007	-0.26	6.87	-0.786	-0.079	-0.33	11.18
12050.1	27A 100J	0.374	-0.0032	-0.085	0.72	-1.04	-0.0067	-0.061	0.37	-0.97	-0.067	-0.11	1.29
12050.4	27A 100J	0.309	-0.0036	-0.36	13.0	-1.185	-0.0127	-0.35	12.35	1.14	-0.079	-0.33	10.87
15241	27A 100J	0.314	0.0052	0.18	3.38	-1.15	0.0098	0.12	1.44	-1.07	0.0019	0.003	0.0001
17027.0	27A 100J	0.54	0.059	0.19	3.77	-1.13	0.11	0.29	8.28	-1.79	0.79	0.37	13.35
17027.4	27A 100J	0.238	0.011	0.82	67.15	-1.4	0.035	0.82	67.7	-1.566	0.228	0.766	58.68
12050.1	A99 60M	0.677	-0.012	-0.31	9.76	-0.405	-0.018	-0.30	8.97	-0.366	-0.095	-0.366	13.36
12050.4	A99 60M	0.781	0.034	-0.25	6.38	-0.374	0.051	-0.24	5.74	-0.264	-0.275	-0.384	14.74

$R_a \sim k_k$

Material	Kotouč	$k_1 + k_2 \cdot x$						$e^{(k_1+k_2 \cdot x)}$					
		$k_1$	$k_2$	Cor. koef.	R-SQ (%)	$k_1$	$k_2$	Cor. koef.	R-SQ (%)	$k_1$	$k_2$	Cor. koef.	R-SQ (%)
12050.1	A99 100J	0.28	0.164	0.58	33.61	-1.265	0.468	0.55	30.50	-0.92	0.159	0.49	23.82
12050.4	A99 100J	0.306	0.0199	0.06	0.35	-1.2	0.077	0.07	0.48	-1.15	0.02	0.046	0.21
15241	A99 100J	0.71	-0.64	-0.54	28.86	-0.299	-1.169	-0.52	26.61	-1.47	-0.678	-0.52	27.93
17027.0	A99 100J	-0.04	1.135	0.80	64.68	-1.9	2.43	0.86	74.1	0.053	1.04	0.86	73.55
17027.4	A99 100J	0.465	-0.16	-0.36	12.62	-0.77	-0.38	-0.33	10.73	-1.1	-0.19	-0.38	14.13
12050.1	27A 100J	0.116	0.5	0.50	25.26	-1.78	1.47	0.51	26.07	-0.55	0.69	0.51	26.0
12050.4	27A 100J	0.33	-0.12	-0.26	6.73	-1.09	0.41	-0.25	6.39	-1.44	-0.19	-0.25	6.24
15241	27A 100J	0.35	0.009	0.01	0.01	-0.99	-0.15	-0.06	0.42	-1.12	-0.08	-0.07	0.46
17027.0	27A 100J	-1.76	5.41	0.82	66.99	-4.1	7.31	0.88	77.55	2.05	3.46	0.88	77.65
17027.4	27A 100J	0.13	0.4	0.84	0.84	-1.73	1.23	0.85	72.36	-0.69	0.59	0.85	72.52
12050.1	A99 60M	0.72	-0.22	-0.21	4.58	-0.33	-0.34	-0.2	4.10	-0.61	-0.15	-0.2	3.9
12050.4	A99 60M	0.74	-0.2	-0.06	0.38	-0.53	-0.097	-0.02	0.03	-0.63	-0.06	-0.025	0.06

TABLE  
 $R_s \sim d_{eq}$

Materiál	Kotouč	$\mathbf{k}_1 + \mathbf{k}_2 \cdot \mathbf{x}$				$\epsilon^{(k_1+k_2, s)}$				$\mathbf{k}_1 \cdot \mathbf{x}^{k_2}$			
		$k_1$	$k_2$	Cor. koef.	R-SQ (%)	$k_1$	$k_2$	Cor. koef.	R-SQ (%)	$k_1$	$k_2$	Cor. koef.	R-SQ (%)
12050.1	A99100J	0.42	-0.0016	-0.05	0.28	-0.65	-0.09	0.86	0.44	-0.39	-0.08	0.72	
12050.4	A99100J	0.24	0.0015	0.08	0.68	-1.54	0.0076	0.13	1.62	-2.6	0.37	0.13	1.59
15241	A99100J	3.28	-0.05	-0.35	12.31	5.5	-0.11	-0.35	12.43	25.2	-6.48	-0.35	12.29
17027.0	A99100J	0.51	-0.001	-0.015	0.02	-0.36	-0.009	-0.06	0.35	0.94	-0.45	-0.06	0.31
17027.4	A99100J	-2.48	0.05	0.87	75.34	-8.45	0.14	0.87	75.49	-30.86	7.49	0.87	75.48
12050.1	27A100J	-3.83	0.08	0.46	20.73	-12.48	0.22	0.43	18.45	-45.74	11.3	0.43	18.26
12050.4	27A100J	-2.81	0.06	0.69	48.24	-11.97	0.2	0.66	44.09	-43.35	10.63	0.66	43.86
15241	27A100J	-5.75	0.1	0.78	60.58	-18.19	0.29	0.75	56.72	-70.84	17.13	0.75	56.65
17027.0	27A100J	-44.99	0.86	0.56	31.62	-66.49	1.24	0.64	41.41	-262.86	66.03	0.64	41.54
17027.4	27A100J	4.73	-0.08	-0.35	12.41	10.28	-0.21	-0.3	9.15	44.52	-11.43	-0.3	9.20
12050.1	A9960M	2.08	-0.03	-0.18	3.24	1.83	-0.05	-0.18	3.18	8.31	-2.27	-0.17	3.03
12050.4	A9960M	3.93	-0.07	-0.34	28.66	5.19	-0.12	-0.59	34.87	21.9	5.82	-0.58	34.15

Materiál	Kotouč	$\mathbf{k}_1 + \mathbf{k}_2 \cdot \mathbf{x}$				$\epsilon^{(k_1+k_2, s)}$				$\mathbf{k}_1 \cdot \mathbf{x}^{k_2}$			
		$k_1$	$k_2$	Cor. koef.	R-SQ (%)	$k_1$	$k_2$	Cor. koef.	R-SQ (%)	$k_1$	$k_2$	Cor. koef.	R-SQ (%)
12050.1	A99100J	0.337	0.0002	0.085	0.73	-1.1	0.0008	0.11	1.21	-1.15	0.024	0.1	1.09
12050.4	A99100J	0.282	0.001	0.43	18.65	-1.27	0.0036	0.43	18.21	-1.59	0.13	0.46	21.55
15241	A99100J	2.72	-0.1	-0.32	10.39	4.29	-0.24	-0.33	10.62	15.35	-5.26	-0.32	10.46
17027.0	A99100J	0.5	-0.002	-0.01	0.02	-0.44	-0.019	-0.06	0.34	0.26	-0.36	-0.05	0.28
17027.4	A99100J	-2.06	0.117	0.87	75.44	-7.36	0.305	0.87	75.54	-20.41	6.39	0.87	75.51
12050.1	27A100J	-3.32	0.19	0.45	20.45	-11.12	0.51	0.43	18.3	-30.79	9.94	0.43	18.08
12050.4	27A100J	-2.3	0.13	0.68	46.87	-10.19	0.45	0.65	42.70	-27.79	8.86	0.65	42.42
15241	27A100J	-4.5	0.21	0.77	58.77	-14.64	0.59	0.74	54.75	-43.64	13.57	0.74	54.64
17027.0	27A100J	-36.998	1.86	0.56	31.34	-55.03	2.67	0.64	41.10	-165.04	54.56	0.64	41.27
17027.4	27A100J	4.67	-0.208	-0.43	18.73	10.53	-0.56	-0.39	14.84	34.37	-11.68	-0.39	14.92
12050.1	A9960M	1.91	-0.07	-0.19	3.61	1.56	-0.11	-0.19	3.54	5.29	-2.0	-0.18	3.36
12050.4	A9960M	3.4	-0.15	-0.34	29.11	4.26	-0.27	-0.59	35.36	13.5	4.89	-0.59	34.53

tu determinace (R - SQ) což je zahrnuto také ve výše uvedených tabulkách.

Koefficient korelace určuje míru korelace mezi dvěma proměnnými. Koefficient může nabývat hodnot od -1 do 1 vždy na dané hladině významnosti. Je-li jeho hodnota rovna nule, mezi proměnnými není lineární vztah. Čím více se hodnoty blíží 1 zleva i zprava, tím vyšší je stupeň závislosti.

Koefficient determinace R-SQ je dvojmocí koefficientu korelace vynásobeným stem.

Mezi jednotlivými závislostmi je poměrně velký rozptyl hodnot koefficientu korelace, můžeme však jednoznačně potvrdit, že ani jedna z uvedených veličin nevytváří jednoduchou jednoznačně platnou závislost s drsností povrchu  $R_a$ .

#### 4.1.2 Vícenásobná závislost

K vytvoření vícenásobné závislosti vede zejména ta skutečnost, že potřebujeme znát a vyhledat závislost a vliv takových veličin, které můžeme dále použít při řízení v automatickém ( NC ) cyklu a tak umožníme dosáhnout předem stanovenou kvalitu povrchu danou v této fázi její drsnosti.

Důležitým činitelem při hledání závislosti je také typ použitých matematických vztahů. Vyjdeme-li z dostupné literatury, můžeme navrhnout následující modely :

$$R_a = k + k_1 \cdot x + k_2 \cdot y + k_3 \cdot z \quad - \text{lineární} \quad ( 35 )$$

$$R_a = k + k_1 \cdot x \cdot y \cdot z \quad - \text{multiplikativní} \quad ( 36 )$$

$$R_a = k \cdot x^{k_1} \cdot y^{k_2} \cdot z^{k_3} \quad - \text{exponenciální} \quad ( 37 )$$

dále potom kvadratický model, který k popisu broušení použil už R. Kovacevic, H.H. Liaw a J.F. Barrows [ 47 ] :

$$R_a = k + k_1.x + k_2.y + k_3.z + k_4.x^2 + k_5.y^2 + k_6.z^2 + k_7.x.y + \\ + k_8.x.z + k_9.y.z, \quad ( 38 )$$

a také model ve tvaru goniometrické řady :

$$R_a = k + k_1.\cos((\pi/\bar{x}).x) + k_2.\cos((\pi/\bar{y}).y) + k_3.\cos((\pi/\bar{z}).z) + \\ + k_4.\sin((\pi/\bar{x}).x) + k_5.\sin((\pi/\bar{y}).y) + k_6.\sin((\pi/\bar{z}).z) + \\ + k_7.\cos(((\pi/\bar{x}).x).((\pi/\bar{y}).y)) + k_8.\cos(((\pi/\bar{x}).x).((\pi/\bar{z}).z)) + \\ + k_9.\cos(((\pi/\bar{y}).y).((\pi/\bar{z}).z)) + k_{10}.\sin(((\pi/\bar{x}).x).((\pi/\bar{y}).y)) + \\ + k_{11}.\sin(((\pi/\bar{x}).x).((\pi/\bar{z}).z)) + k_{12}.\sin(((\pi/\bar{y}).y).((\pi/\bar{z}).z)) \quad ( 39 )$$

Jako poslední potom model vyvažující odchylky naměřených hodnot :

$$R_a = k + k_1.\log(\Delta x) + k_2.\log(\Delta y) + k_3.\log(\Delta z) + k_4.\Delta x + k_5.\Delta y + \\ + k_6.\Delta z \quad ( 40 )$$

Jednotlivé matematické modely byly zpracovány pro soubory vytvořené z experimentálních měření. Konstanty případně exponenty pro jednotlivé vztahy jsou tabulkově zpracovány ( tab. X.-XIII.).

Uvedené tabulky také obsahují statistické charakteristiky zpracování - R-SQ, SE a MAE.

Koefficient determinace (R-SQ) je druhou mocninou koefficientu vícenásobné korelace. Používá se pro volbu mezi více regresními modely. Volíme ten model, který má nejvyšší koefficient determinace.

TAB.X

$$R_a = k + k_1 \cdot \operatorname{tg} \beta + k_2 \cdot l_k + k_3 \cdot d_{eq}$$

Materiál	Kotouč	konst. k	konst. k <sub>1</sub>	konst. k <sub>2</sub>	konst. k <sub>3</sub>	R - SQ	SE	MAE
<b>12050.1</b>	A99 100J	1.188	0.0018	0.236	-0.019	0.55	0.025	0.018
<b>12050.4</b>	A99 100J	0.38	0.0074	-0.2	-0.0007	0.21	0.037	0.028
<b>15241</b>	A99 100J	8.751	0.026	-2.04	-0.132	0.67	0.076	0.055
<b>17027.0</b>	A99 100J	-1.05	-0.016	1.55	0.018	0.64	0.089	0.06
<b>17027.4</b>	A99 100J	-2.26	0.0057	-0.3	0.05	0.76	0.03	0.023
<b>12050.1</b>	27A 100J	-5.68	-0.011	0.94	0.11	0.72	0.057	0.041
<b>12050.4</b>	27A 100J	-2.85	-0.0012	-0.106	0.061	0.5	0.035	0.02
<b>15241</b>	27A 100J	-6.0	0.028	-0.91	0.11	0.77	0.045	0.029
<b>17027.0</b>	27A 100J	-23.49	-0.216	6.85	0.42	0.76	0.37	0.18
<b>17027.4</b>	27A 100J	4.51	-0.0074	0.62	-0.082	0.62	0.034	0.02
<b>12050.1</b>	A99 60M	0.725	-0.014	0.074	-0.0015	0.1	0.12	0.088
<b>12050.4</b>	A99 60M	3.46	-0.03	0.538	-0.062	0.2	0.3	0.22

$$R_a = k + k_1 \cdot \operatorname{tg} \beta \cdot l_k \cdot d_{eq}$$

Materiál	Kotouč	koef. k	koef. k <sub>1</sub>	R - SQ	SE	MAE
<b>12050.1</b>	A99 100J	0.31	0.00024	0.42	0.028	0.021
<b>12050.4</b>	A99 100J	0.3	0.000085	0.06	0.04	0.03
<b>15241</b>	A99 100J	0.5	-0.00045	0.27	0.11	0.089
<b>17027.0</b>	A99 100J	0.276	0.00088	0.4	0.11	0.072
<b>17027.4</b>	A99 100J	0.41	-0.000069	0.007	0.06	0.05
<b>12050.1</b>	27A 100J	0.335	0.00012	0	0.11	0.087
<b>12050.4</b>	27A 100J	0.302	-0.00009	0.05	0.048	0.042
<b>15241</b>	27A 100J	0.324	0.00012	0	0.097	0.079
<b>17027.0</b>	27A 100J	0.447	0.0028	0	0.77	0.62
<b>17027.4</b>	27A 100J	0.258	0.00031	0.65	0.032	0.024
<b>12050.1</b>	A99 60M	0.66	-0.00035	0.013	0.11	0.09
<b>12050.4</b>	A99 60M	0.737	-0.00096	0.003	0.34	0.28

TAB.XI

$$R_a = k \cdot \operatorname{tg}\beta^{k_1} \cdot l_k^{k_2} \cdot d_{eq}^{k_3}$$

Materiál	Kotouč	koef. k	koef. k <sub>1</sub>	koef. k <sub>2</sub>	koef. k <sub>3</sub>	R - SQ	SE	MAE
<b>12050.1</b>	A99 100J	5.792	-0.024	0.363	-3.596	0.48	0.034	0.027
<b>12050.4</b>	A 99 100J	-1.02	0.193	-0.27	0.155	0.38	0.045	0.037
<b>15241</b>	A99 100J	15.96	-0.338	-0.071	-9.19	0.62	0.079	0.061
<b>17027.0</b>	A99 100J	-2.117	-0.164	1.266	1.374	0.7	0.07	0.047
<b>17027.4</b>	A99 100J	-13.212	0.151	-0.388	7.22	0.76	0.033	0.025
<b>12050.1</b>	27A 100J	-22.713	-0.264	1.376	13.34	0.73	0.07	0.052
<b>12050.4</b>	27A 100J	-20.051	-0.0017	-0.254	11.297	0.44	0.06	0.037
<b>15241</b>	27A 100J	-40.687	0.648	-1.57	22.167	0.78	0.056	0.038
<b>17027.0</b>	27A 100J	-36.543	-1.194	4.17	22.29	0.78	0.2	0.098
<b>17027.4</b>	27A 100J	25.998	-0.35	1.337	-14.86	0.76	0.035	0.023
<b>12050.1</b>	A99 60M	1.682	-0.127	0.161	-1.05	0	0.08	0.058
<b>12050.4</b>	A99 60M	7.114	-0.476	1.288	-3.977	0.4	0.18	0.13

hodnota koeficientu k odpovidá log(k)

$$R_a = k + k_1 \cdot \log(\Delta \operatorname{tg}\beta) + k_2 \cdot \log(\Delta l_k) + k_3 \cdot \log(\Delta d_{eq}) + k_4 \cdot \Delta \operatorname{tg}\beta + k_5 \cdot \Delta l_k + k_6 \cdot \Delta d_{eq}$$

Materiál	Kotouč	koef. k	koef. k <sub>1</sub>	koef. k <sub>2</sub>	koef. k <sub>3</sub>	koef. k <sub>4</sub>	koef. k <sub>5</sub>	koef. k <sub>6</sub>	R - SQ	SE	MAE
<b>12050.1</b>	A99 100J	0.36	0.0036	0.087	-0.012	0.0007	0.0157	-0.0408	0.79	0.017	0.012
<b>12050.4</b>	A 99 100J	0.196	0.006	0.25	0.01	-0.037	-0.0095	0.377	0.34	0.034	0.025
<b>15241</b>	A99 100J	6.49	-0.026	0.014	-0.052	0.05	6.37	-0.032	0.97	0.023	0.013
<b>17027.0</b>	A99 100J	1.243	-0.049	2.36	0.015	0.117	0.758	-0.243	0.84	0.058	0.032
<b>17027.4</b>	A99 100J	0.559	-0.005	0.092	0.049	0.0072	0.179	0.041	0.86	0.022	0.014
<b>12050.1</b>	27A 100J	-1.418	-0.004	0.658	0.158	-0.0195	-1.81	-0.0029	0.67	0.061	0.04
<b>12050.4</b>	27A 100J	0.595	-4.14E-6	0.041	0.07	0.015	0.302	0.06	0.48	0.036	0.019
<b>15241</b>	27A 100J	1.259	0.012	0.017	0.091	0.046	0.96	-0.0086	0.71	0.051	0.028
<b>17027.0</b>	27A 100J	-332.04	-1.18	10.93	7.36	4.76	-345.77	3.36	0.58	0.496	0.144
<b>17027.4</b>	27A 100J	-4.373	-0.015	0.194	-0.03	0.064	-4.82	0.0081	0.91	0.017	0.0047
<b>12050.1</b>	A99 60M	-10.43	0.024	-2.53	0.111	-0.043	-11.176	-0.0044	0.81	0.049	0.031
<b>12050.4</b>	A99 60M	1.99	-0.009	-1.53	0.045	0.016	0.763	-1.81	0.68	0.194	0.128

TAB.XII

$$R_a = k + k_1 \cdot \operatorname{tg} \beta + k_2 \cdot l_k + k_3 \cdot d_{eq} + k_4 \cdot \operatorname{tg}^2 \beta + k_5 \cdot l_k^2 + k_6 \cdot d_{eq}^2 + k_7 \cdot \operatorname{tg} \beta \cdot l_k + k_8 \cdot \operatorname{tg} \beta \cdot d_{eq} + k_9 \cdot l_k \cdot d_{eq}$$

Material	Kotouč	konst. k	konst. k <sub>1</sub>	konst. k <sub>2</sub>	konst. k <sub>3</sub>	konst. k <sub>4</sub>	konst. k <sub>5</sub>	konst. k <sub>6</sub>	konst. k <sub>7</sub>	konst. k <sub>8</sub>	konst. k <sub>9</sub>	R - SQ	SE	MAE
12050.1	A 99 100J	-79,75	0,6	-27,56	3,376	-0,0035	-3,42	-0,036	0,23	-0,013	0,58	0,88	0,013	0,007
12050.4	A 99 100J	1,68	0,236	-10,365	-0,0028	0,00023	2,07	-0,0004	-0,061	-0,004	0,178	0,56	0,027	0,017
15241	A 99 100J	-20,92	-0,8	2,21	0,89	-0,0015	-26,97	-0,01	0,31	0,01	0,39	0,96	0,024	0,01
17027.0	A 99 100J	-523,74	1,42	5573,42	-23,88	0,0011	-0,00013	-0,19	-0,31	-0,025	107,38	0,93	0,038	0,018
17027.4	A 99 100J	62,588	0,365	-19,99	-2,23	0,0015	5,84	0,02	-0,11	-0,0065	0,29	0,91	0,018	0,01
12050.1	27A 100I	-686,15	2,59	-8,14	25,95	0,004	93,04	-0,24	-0,18	-0,049	-1,51	0,77	0,052	0,022
12050.4	27A 100J	-380,97	1,54	-171,74	15,83	0,001	283,17	-0,14	-0,12	-0,029	-1,88	0,78	0,021	0,011
15241	27A 100J	53,16	0,32	-180,07	-0,47	-0,0025	442,31	0,024	0,097	-0,0054	-4,59	0,71	0,051	0,022
12050.1	A 99 60M	-156,94	-2,85	310,18	4,07	0,001	-378,24	-0,049	0,2	0,058	0,71	0,88	0,038	0,019
12050.4	A 99 60M	-216,55	0,75	-378,3	12,39	-0,0036	850,034	-0,089	0,35	-0,019	-8,38	0,66	0,2	0,12

## Koefficienty po provedení kvalitativní selekce

Material	Kotouč	konst.k	konst.k <sub>1</sub>	konst.k <sub>2</sub>	konst.k <sub>3</sub>	konst.k <sub>4</sub>	konst.k <sub>5</sub>	konst.k <sub>6</sub>	konst.k <sub>7</sub>	konst.k <sub>8</sub>	konst.k <sub>9</sub>	R - SQ	SE	MAE
12050.1	A 99 100J	-72,7	0,457	-14,43	3,011			-0,031	0,053	-0,0096	0,28	0,85	0,014	0,0096
12050.4	A 99 100J	1,568	0,218	-9,886		1,8		-0,0004	-0,045	-0,0038	0,17	0,6	0,026	0,017
15241	A 99 100J	2,865	-0,088			-66,265	-0,005	0,14		1,138	0,98	0,02	0,011	
17027.0	A 99 100J	-610,91	1,3	6273,25	-26,02		-1,45	-0,22	-0,025	120,49	0,945	0,035	0,018	
17027.4	A 99 100J	61,288	-2,39	-2,27		2,545	0,021					0,91	0,018	0,013
12050.1	27A 100J	-12,11	0,82	0,24		0,594			-0,016			0,80	0,048	0,033
12050.4	27A 100J	-11,505	-83,88	1,12		213,93				-2,31	0,79	0,022	0,014	
15241	27A 100J	56,65	-245,51			613,12	0,027			-6,41	0,85	0,037	0,024	
12050.1	A 99 60M	-53,607	-0,808	250,63		-275,39		0,017			0,88	0,038	0,027	
12050.4	A 99 60M	-251,41		10,49		49,75	-0,1			-1,0	0,65	0,2	0,155	

TAB.XIII

$$R_a = k + k_1 \cdot \cos((\pi / \overline{tg}\beta) \cdot \overline{tg}\beta) + k_2 \cdot \cos((\pi / \overline{T_k}) \cdot k) + \dots$$

Material	Kotouč	koef. k	koef. k <sub>1</sub>	koef. k <sub>2</sub>	koef. k <sub>3</sub>	koef. k <sub>4</sub>	koef. k <sub>5</sub>	koef. k <sub>6</sub>	koef. k <sub>7</sub>	koef. k <sub>8</sub>	koef. k <sub>9</sub>	koef. k <sub>10</sub>	koef. k <sub>11</sub>	koef. k <sub>12</sub>	R- SQ	SE	MAE
<b>12050.1</b>	A99 100J	1.4	0.018	0.16	1.04	-0.02	0.22	-0.29	-0.003	0.0063	-0.167	0.0022	0.0032	0.00029	0.81	0.016	0.0089
<b>12050.4</b>	A 99 100J	-0.014	-0.247	2.98	-0.031	-0.02	-0.82	0.0106	0.006	0.106	0.0102	0.0085	0.157	0.57	0.027	0.015	
<b>15241</b>	A99 100J	-16.36	-0.01	-18.23	-2.057	0.23	-4.08	8.9	-0.011	-0.06	-0.22	-0.048	-	3.266	0.99	0.013	0.0048
<b>17027.0</b>	A99 100J	27.73	-0.209	-71.5	85.02	-0.202	-1.11	5.72	0.058	0.03	5.66	-0.11	-0.012	4.54	0.99	0.014	0.0047
<b>17027.4</b>	A99 100J	6.23	-0.035	0.88	5.15	-0.05	0.0065	0.005	0.0098	-0.078	-0.29	-0.099	0.029	-0.061	0.97	0.01	0.004
<b>12050.1</b>	27A 100J	-244.65	-0.09	24.04	-266.1	0.014	-1.055	19.4	-0.14	-0.07	-6.81	0.02	0.026	5.56	0.84	0.044	0.016
<b>12050.4</b>	27A 100J	-31.1	-0.037	68.52	-87.04	0.187	6.33	-20.3	0.014	0.0044	-2.59	0.019	0.0078	-7.46	0.92	0.014	0.005
<b>15241</b>	27A 100J	96.09	-0.32	40.097	63.1	-0.83	2.15	-12.79	-0.006	-0.112	-2.57	-0.156	-0.16	-3.76	0.66	0.035	0.0106
<b>12050.1</b>	A99 60M	-20.88	0.139	10.207	-30.47	-0.275	-3.166	8.75	0.071	-0.16	-2.5	-0.134	-0.086	1.72	0.90	0.036	0.013
<b>12050.4</b>	A99 60M	-63.71	0.127	27.255	-87.61	0.04	3.012	-5.96	0.046	-0.05	-1.7	-0.033	-0.056	-2.56	0.51	0.238	0.131

Standartní chyba (SE) je druhou odmocninou rozptylu reziduů, kdy reziduem rozumíme rozdíl čtverců pozorované hodnoty a hodnoty vyhlazené regresním modelem. Nejvhodnější je model s nejnižší hodnotou SE.

Průměrná absolutní chyba (MAE) je průměrnou absolutní hodnotou reziduů.

K vytvoření závislostí byly použity hodnoty strmosti vyjiskřovací křivky  $\text{tg}\beta$ , délky stykového oblouku  $l_k$  a ekvivalentního průměru  $d_{eq}$ . Obvodová rychlosť obrobku jako čtvrtý člen snižovala téměř u všech souborů hodnoty koeficientů R-SQ a zhoršovala výsledný efekt závislostí.

Jestliže provedeme rozbor jednotlivých závislostí, dojdeme k následujícím závěrům :

1. U všech typů rovnic je patrná vysoká závislost drsnosti povrchu  $R_a$  na vybraných veličinách mimo lineární závislost
2. V řadě případů (pro řadu souborů) je možno s úspěchem použít různé typy rovnic
3. Naopak pro některé soubory lze použít pouze jeden matematický vztah. Například se jedná o datový soubor při použití brousicího kotouče A99 60M 8V.
4. Všeobecně nejvhodnější se jeví použití goniometrické řady

Všeobecným závěrem je, že drsnost povrchu  $R_a$  závisí na  $\text{tg } \beta$ ,  $l_k$  a  $d_{eq}$  a tato závislost je nejlépe popsatelná vztahy (38) a (39). Určitým problémem je tepelně zpracovaný materiál 12 050.4, kdy přesnost vztahů je na nižším stupni. Bude nutné v dalším pokračování práce zjistit vliv struktury materiálu a zajistit způsob matematického vyjádření. Tuto nepřesnost nemůžeme řešit prostřednictvím tvrdosti materiálu např. HV, protože např. ocel 17 027.4 (HRC 40) vykazuje vysokou závislost při vyjádření v kvadratickém tvaru i goniometrické řadě.

TAB.XIV

MATERIÁL : 12 050.4  
KOTOUČ : A99 100J 9V

Čís. měř.	R <sub>a</sub> -skutečné μm	J.N. Mastlov			kvadratická závislost			R <sub>a</sub> - modelové goniometr.řada μm			H.K. Tönshoff μm			RO %
		μm	μm	RO %	μm	μm	RO %	μm	μm	RO %	μm	μm	RO %	
( 1 )	0.263	0.310	15.25	0.329	20.014	0.290	9.215	0.302	13.048					
( 2 )	0.3	0.310	3.48	0.333	10.069	0.272	-10.173	0.302	0.906					
( 3 )	0.356	0.310	-14.71	0.350	-1.799	0.323	-10.274	0.304	-17.047					
( 4 )	0.33	0.311	-6.07	0.357	7.664	0.335	1.764	0.304	-8.372					
( 5 )	0.293	0.311	5.76	0.369	20.522	0.323	9.282	0.304	3.600					
( 6 )	0.316	0.311	-1.66	0.375	15.748	0.313	-1.136	0.304	-4.141					
( 7 )	0.34	0.356	4.49	0.428	20.678	0.347	2.066	0.352	3.484					
( 8 )	0.353	0.356	0.75	0.434	18.696	0.351	-0.570	0.353	0.098					
( 9 )	0.34	0.355	4.49	0.476	28.695	0.356	4.634	0.355	4.350					
(10)	0.35	0.355	1.68	0.464	24.693	0.322	-8.385	0.354	1.316					
(11)	0.28	0.294	5.01	0.309	9.464	0.291	4.001	0.291	4.093					
(12)	0.29	0.294	1.65	0.337	13.963	0.303	4.319	0.295	1.703					
(13)	0.3	0.295	-1.64	0.401	25.358	0.296	-1.032	0.295	-1.514					
(14)	0.306	0.295	-3.77	0.373	17.822	0.287	-6.495	0.295	-3.931					
(15)	0.29	0.258	-12.26	0.283	-2.374	0.253	-14.475	0.251	-15.160					
(16)	0.253	0.258	1.99	0.301	15.925	0.253	-0.040	0.252	-0.456					
(17)	0.233	0.258	9.80	0.305	23.703	0.260	10.316	0.252	7.550					
(18)	0.233	0.258	9.88	0.269	13.333	0.271	13.977	0.251	7.272					
(19)	0.363	0.375	3.12	0.386	5.890	0.367	1.249	0.362	-0.115					
(20)	0.376	0.375	-0.35	0.396	5.053	0.369	-1.908	0.363	-3.548					
(21)	0.376	0.375	-0.23	0.438	14.086	0.356	-5.667	0.363	-3.556					
(22)	0.37	0.376	1.66	0.417	11.465	0.368	-0.452	0.363	-1.886					
(23)	0.333	0.319	-4.33	0.330	-0.989	0.335	0.671	0.316	-5.228					
(24)	0.31	0.319	2.97	0.347	10.741	0.313	1.105	0.321	3.452					
(25)	0.306	0.319	4.07	0.357	14.110	0.302	-1.530	0.322	4.806					
(26)	0.303	0.319	5.19	0.372	18.482	0.290	-4.571	0.321	5.742					

RO - relativní odchylka

TAB.XV

MATERIÁL : 12 050.1  
KOTOUČ : A99 100J 9V

Čís. níčk.	R <sub>a</sub> -skutečné μm	J.N.Mastov		kvadrat.závislost		R <sub>t</sub> - modelové		H.K.Tönhoff	
		μm	RO %	μm	RO %	μm	RO %	μm	RO %
( 1 )	0.283	-	-	0.284	0.32	0.282	-0.39	0.287	1.40
( 2 )	0.31	0.283	-9.37	0.283	-9.37	0.287	-7.76	0.292	-6.00
( 3 )	0.273	0.282	3.27	0.282	3.27	0.299	8.72	0.295	7.61
( 4 )	0.273	0.281	2.99	0.281	2.99	0.274	0.46	0.296	7.96
( 5 )	0.346	0.371	6.73	0.348	6.73	0.348	0.42	0.354	2.28
( 6 )	0.39	0.370	-5.23	0.386	-5.23	0.386	-1.03	0.381	-2.22
( 7 )	0.383	0.369	-3.74	0.382	-3.74	0.382	-0.27	0.386	0.77
( 8 )	0.37	0.367	-0.58	0.386	-0.58	0.386	4.35	0.390	5.18
( 9 )	0.363	0.377	3.64	0.363	3.64	0.363	-0.07	0.375	3.29
(10)	0.39	0.375	-3.73	0.390	-3.73	0.390	0.06	0.392	0.75
(11)	0.396	0.374	-5.98	0.386	-5.98	0.386	-2.69	0.388	-2.16
(12)	0.386	0.372	-3.93	0.381	-3.93	0.381	-1.31	0.392	1.52
(13)	0.336	0.328	-2.63	0.341	-2.63	0.341	1.31	0.327	-2.94
(14)	0.326	0.327	0.25	0.327	0.25	0.327	3.09	0.327	0.21
(15)	0.32	0.325	1.83	0.327	1.83	0.327	2.35	0.328	2.48
(16)	0.306	0.324	5.48	0.297	-3.03	0.297	-3.03	0.330	7.31
(17)	0.353	0.370	4.57	0.357	1.14	0.357	1.14	0.371	4.79
(18)	0.373	0.369	-1.05	0.362	-3.09	0.362	-3.09	0.370	-0.83
(19)	0.36	0.368	2.25	0.359	-0.06	0.359	-0.06	0.371	3.06
(20)	0.37	0.366	-0.92	0.357	-3.46	0.357	-3.46	0.368	-0.30
(21)	0.33	0.323	-2.04	0.332	0.332	0.332	0.86	0.350	5.98
(22)	0.326	0.322	-1.25	0.336	0.336	0.336	2.99	0.336	3.04
(23)	0.336	0.321	-4.59	0.330	-2.01	0.330	-2.01	0.337	0.25
(24)	0.326	0.321	-1.73	0.321	-1.73	0.321	-1.51	0.339	3.64

RO - relativní odchylka

TAB.XVI

MATERIAĽ : 12 050.4  
KOTOUČ : 27A 120J 8V

Čís. mř.	$R_s$ - skutečné $\mu\text{m}$	kvadratzávislost				$R_s$ - modelové				H.K. Tönshoff			
		μm	RO %	μm	RO %	μm	RO %	μm	RO %	μm	RO %	μm	RO %
( 1 )	0.233	-	-	0.245	5.05	-	-	0.262	11.03	-	-	0.251	7.08
( 2 )	0.253	-	-	0.236	-6.94	-	-	0.270	6.36	-	-	0.240	-5.50
( 3 )	0.256	-	-	0.252	-1.68	-	-	0.281	8.82	-	-	0.238	-7.59
( 4 )	0.236	-	-	0.239	1.12	-	-	0.259	8.80	-	-	0.237	0.14
( 5 )	0.28	-	-	0.252	-10.91	-	-	0.271	-3.10	-	-	0.236	-18.64
( 6 )	0.206	-	-	0.235	12.07	-	-	0.202	-2.21	-	-	0.234	11.87
( 7 )	0.213	-	-	0.206	-3.07	-	-	0.193	-10.48	-	-	0.223	4.56
( 8 )	0.223	-	-	0.223	0.01	-	-	0.207	-7.44	-	-	0.220	-1.20
( 9 )	0.366	-	-	0.361	-1.39	-	-	0.373	1.86	-	-	0.353	-3.81
(10)	0.346	-	-	0.354	2.19	-	-	0.362	4.46	-	-	0.337	-2.63
(11)	0.336	-	-	0.316	-6.24	-	-	0.355	5.33	-	-	0.335	-0.30
(12)	0.306	-	-	0.319	4.09	-	-	0.314	2.33	-	-	0.325	5.79
(13)	0.3	-	-	0.307	2.39	-	-	0.289	-3.48	-	-	0.301	0.35
(14)	0.29	-	-	0.292	0.75	-	-	0.289	-0.28	-	-	0.297	2.45
(15)	0.323	-	-	0.302	-6.87	-	-	0.295	-9.33	-	-	0.293	-10.16
(16)	0.286	-	-	0.293	2.27	-	-	0.273	-4.80	-	-	0.294	2.76

RO - relativní odchylka

TAB.XVII

MATERIÁL : 12 050.1  
KOTOUČ : 27A 120J 8V

Čís. měř.	$R_a$ skutečné $\mu\text{m}$	$R_a$ - kvadrat.závislost		$R_a$ - modelové		$R_a$ - H.K.Tönshoff	
		$\mu\text{m}$	RO %	$\mu\text{m}$	RO %	$\mu\text{m}$	RO %
( 1 )	0.27	0.275	1.89	0.268	-0.69	0.229	-17.77
( 2 )	0.203	0.244	16.78	0.185	-9.70	0.231	12.20
( 3 )	0.21	0.210	0.16	0.188	-11.69	0.233	10.24
( 4 )	0.213	0.219	2.92	0.168	-26.64	0.223	4.47
( 5 )	0.306	0.376	18.58	0.291	-5.25	0.294	-4.13
( 6 )	0.306	0.281	-8.79	0.328	6.63	0.300	-2.02
( 7 )	0.316	0.318	0.58	0.292	-8.12	0.306	-3.19
( 8 )	0.333	0.323	-3.18	0.339	1.87	0.326	-2.18
( 9 )	0.383	0.438	12.60	0.388	1.33	0.362	-5.72
(10)	0.38	0.379	-0.02	0.372	-1.95	0.366	-3.76
(11)	0.4	0.357	-12.03	0.430	7.06	0.393	-1.65
(12)	0.376	0.321	-17.05	0.338	-11.32	0.375	-0.30
(13)	0.58	0.576	-0.55	0.545	-6.36	0.526	-10.23
(14)	0.416	0.417	0.22	0.422	1.31	0.502	17.02
(15)	0.456	0.461	0.95	0.414	-10.19	0.489	6.73
(16)	0.52	0.491	-5.72	0.480	-8.12	0.499	-4.07

RO - relativní odchylka

Pro srovnání výsledků vybraných matematických modelů pro popis drsnosti povrchu  $R_a$  slouží porovnání skutečně dosažených hodnot procesu broušení a hodnot stanovených těmito modely. K porovnání byly použity vztahy pro drsnost J.N.Maslova a H.K.Tönshoffa. Na základě relativních odchylek modelových a skutečných hodnot ( tab. XIV.-XVII.) musím konstatovat, že nově zjištěné závislosti ve vztahu k  $\operatorname{tg}\beta$  jsou plnohodnotné srovnávacím vztahům. Vliv nižší hodnoty R-SQ se neprokazuje.

#### 4.2 Závislost strmosti vyjiskřovací křivky

Jestliže tedy v předešlé části byla prokázána závislost drsnosti povrchu na strmosti vyjiskřovací křivky a kinematických veličinách řezného procesu (  $l_k$ ,  $d_{eq}$  ) je nutné, pro další využití této závislosti, zjistit vztah strmosti vyjiskřovací křivky  $\operatorname{tg}\beta$  a dalších veličin provázejících řezný proces..

Na základě experimentálně získaných hodnot byla provedena selekce jednotlivých charakteristických veličin procesu broušení a došlo tak k přiblížení se platné závislosti strmosti a dalších veličin.

Výběr členů závislosti byl opět prováděn pomocí programu STEP. Jednotlivé veličiny ve vztahu ke strmosti vyjiskřovací křivky daném  $\operatorname{tg}\beta$  byly zobrazovány také graficky, pro úplnost znalosti o jejich vlivu bylo provedeno zjištění jejich jednoduchých, případně vícenásobných závislostí.

##### 4.2.1 Jednoduché závislosti

V průběhu výběru nezávislých veličin bylo zjištěno, že nejvhodnější kombinací strmost ovlivňujících veličin je normálová složka řezné síly  $F_n$  , kinematická délka stykového oblouku  $l_k$  , obvodová rychlosť brousicího kotouče  $v_s$  a obvodová rychlosť obrobku  $v_w$ . U těchto veličin byla současně zjišťována jednoduchá závislost k  $\operatorname{tg}\beta$  ( tab. XVIII-XIX.). Z uvedených tabulek je zřejmé, že  $\operatorname{tg}\beta$  je silně

TAB.XVIII

$\tan \beta \sim F_n'$		Kotouč		$k_1 + k_2, x$		$e^{(k_1+k_2,x)}$		$k_1, x^{k_2}$	
Material		$k_1$	$k_2$	Cor koef.	R-SQ (%)	$k_1$	$k_2$	Cor koef.	R-SQ (%)
12050.1	A99 100J	1.163	1.325	0.74	54.33	0.788	0.242	0.76	57.11
12050.4	A99 100J	-1.59	2.13	0.70	49.58	0.339	0.345	0.81	65.91
12050.1	A99 100J	1.19	1.44	0.78	61.08	0.84	0.23	0.82	66.47
15241	A99 100J	-0.14	2.33	0.77	58.63	1.21	0.236	0.70	48.99
17027.4	A99 100J	-3.94	3.52	0.96	91.41	0.51	0.402	0.95	90.34
12050.1	27A 100J	-1.83	2.64	0.91	82.24	-0.168	0.51	0.95	89.94
12050.4	27A 100J	-1.12	2.74	0.95	90.26	0.526	0.398	0.92	84.54
15241	27A 100J	-0.787	2.37	0.92	85.36	0.759	0.33	0.93	85.62
17027.0	27A 100J	-3.26	3.23	0.93	86.27	0.167	0.53	0.86	74.4
17027.4	27A 100J	-1.995	3	0.87	76.39	0.46	0.45	0.91	83.48
12050.1	A99 60M	-1.017	1.39	0.93	86.18	-0.011	0.33	0.92	85.12
12050.4	A99 60M	-0.678	1.357	0.90	80.27	-0.28	0.416	0.92	84.24

 $\tan \beta \sim k_b$ 

$\tan \beta \sim k_b$		Kotouč		$k_1 + k_2, x$		$e^{(k_1+k_2,x)}$		$k_1, x^{k_2}$	
Material		$k_1$	$k_2$	Cor koef.	R-SQ (%)	$k_1$	$k_2$	Cor koef.	R-SQ (%)
12050.1	A99 100J	-1.94	19.78	0.89	78.94	0.280	3.467	0.87	76.46
12050.4	A99 100J	-5.18	29.297	0.75	56.98	-0.020	4.091	0.75	56.09
15241	A99 100J	-10.14	35.53	0.95	89.99	-0.8	5.31	0.94	87.56
17027.0	A99 100J	-9.40	41.80	0.96	91.89	-0.17	4.90	0.98	95.99
17027.4	A99 100J	-2.79	18.4	0.70	48.55	0.07	3.35	0.69	47.76
12050.1	27A 100J	-11.432	41.51	0.92	84.79	-0.92	5.92	0.87	76.55
12050.4	27A 100J	-5.68	26.05	0.91	82.01	0.058	3.67	0.91	83.68
17027.0	27A 100J	-8.1	32.36	0.96	91.8	-0.34	4.63	0.95	90.98
17027.4	27A 100J	-5.12	21.14	0.77	59.88	-0.93	4.89	0.75	56.49
12050.1	A99 60M	-4.686	19.14	0.78	61.19	-1.46	5.75	0.78	61.57
12050.4	A99 60M	-4.686	19.14	0.78	61.19	-1.46	5.75	0.78	61.57

TAB.XIX

 $\tan\beta \sim v_3$ 

Material	Kotouč	$k_1 + k_2 \cdot x$				$e^{(k_1+k_2 \cdot x)}$				$k_1 \cdot x \cdot k_2$			
		$k_1$	$k_2$	Cor.koef.	R-SQ (%)	$k_1$	$k_2$	Cor.koef.	R-SQ (%)	$k_1$	$k_2$	Cor.koef.	R-SQ (%)
<b>12050.1</b>	A99 100J	2.03	0.115	0.22	4.72	0.93	0.02	0.23	5.23	-1.13	0.795	0.23	5.29
<b>12050.4</b>	A99 100J	-4.08	0.298	0.36	12.64	0.44	0.034	0.29	8.36	-2.8	1.25	0.29	8.41
<b>15241</b>	A99 100J	0.81	0.18	0.26	6.60	0.74	0.03	0.28	7.77	-2.12	1.104	0.28	7.74
<b>17027.0</b>	A99 100J	12.87	-0.13	-0.24	5.87	2.46	-0.011	-0.19	3.68	3.55	-0.416	-0.19	3.73
<b>17027.4</b>	A99 100J	2.70	0.18	0.16	2.67	0.96	0.029	0.23	5.28	-1.85	1.08	0.23	5.28
<b>12050.1</b>	27A 100J	-1.19	0.19	0.37	13.59	0.199	0.039	0.41	16.91	-3.64	1.46	0.41	16.97
<b>12050.4</b>	27A 100J	7.35	0.027	0.031	0.10	1.79	0.003	-0.023	0.05	1.50	0.110	-0.022	0.05
<b>15241</b>	27A 100J	13.54	-0.144	-0.24	5.98	2.34	-0.009	-0.11	1.30	3.26	-0.35	-0.11	1.28
<b>17027.0</b>	27A 100J	-3027.7	70.16	0.80	64.62	-544.69	12.64	0.82	67.38	-2055.76	546.2	0.82	67.37
<b>17027.4</b>	27A 100J	-1472.16	34.19	0.96	91.99	-209.55	4.88	0.95	91.06	-794.76	211.45	0.95	91.06
<b>12050.1</b>	A99 60M	-3.23	0.20	0.40	16.11	-0.79	0.05	0.45	20.67	-6.28	2.08	0.45	20.66
<b>12050.4</b>	A99 60M	-0.83	0.119	0.26	6.57	-0.87	0.05	0.36	12.88	-5.90	1.91	0.36	12.89

závislý ať už lineárně, exponenciálně nebo multiplikativně na vztazné složce řezné sily  $F_n'$  a délce stykového oblouku  $l_k$ . Naopak nízká závislost je zjištěna u rychlostí  $v_s$ ,  $v_f$ . Přesto je jisté, že tyto rychlosti zpřesňují ve vícenásobné závislosti vztah pro určení strmosti vyjiskřovací křivky.

Závislost  $\operatorname{tg}\beta$  a  $F_n'$  potvrzuje také literatura [ 79 ], kdy je vytvářen syntetický matematický model pro  $F_n'$  ve tvaru :

$$F_n' = F_s' \cdot c_{wp} \cdot c_{gw} \cdot a_e^{e1} \cdot (1/q)^{e2} \cdot v_c^{e3} \cdot V_w^{e4} \quad (41)$$

a syntetický matematický model pro drsnost povrchu definovanou  $R_t$  a  $R_z$  :

$$R_t = c_{wp} \cdot c_{gw} \cdot (1/q)^{e1} \cdot a_e^{e2} \cdot (1/d_{eq})^{e3} \quad (42)$$

$$R_z = A + c_{wp} \cdot c_{gw} \cdot a_e^{e1} \cdot (1/q)^{e2} \cdot v_c^{e3} \cdot V_w^{e4} \quad (43)$$

Zde vidíme zřejmou závislost mezi  $F_n'$  a  $R_z$  ( $R_t$ ) - veličiny  $a_e$ ,  $1/q$ ,  $v_c$ ,  $V_w$ . Toto současně dokazuje oprávněnost existence vztahu :

$$\operatorname{tg}\beta = k \cdot F_n'^q, \quad (44)$$

který byl vytvořen na základě experimentů. Uvedená závislost je základem, kdy zařazením dalších ovlivňujících veličin se vztah podařilo zpřesnit. Z předešlých odstavců je zároveň zřejmé, že  $\operatorname{tg}\beta$  je veličinou související s hodnotou drsnosti povrchu ve vícenásobné závislosti spolu s  $l_k$  a  $d_{eq}$ . Z uvedených vztahů vyplývá, že  $\operatorname{tg}\beta$  by zde měl vytvářet závislost spolu se složkou řezné sily a rychlostními parametry ( $v_c$ ,  $v_f$ ).

#### 4.2.2 Vícenásobná závislost

K vytvoření vícenásobné závislosti byly použity stejné tvary matematických modelů jako v případě hledání závislosti drsnosti povrchu a strmosti vyjiskřovací křivky. V případě vícenásobné závislosti byla provedena grafická přiblížení závislosti ( obr.4.1 až obr.4.10 ), kdy byla vyjádřena závislost  $\operatorname{tg}\beta = f_1(F_n')$ ,  $\operatorname{tg}\beta = f_2(F_n', l_k, v_s)$ ,  $\operatorname{tg}\beta = f_3(F_n', l_k, v_f)$  a stav nejlépe popisující závislost  $\operatorname{tg}\beta = f_4(F_n', l_k, v_f, v_s)$ . Na obr.4.11 je znázorněna linearizace vztahu, další grafy ukazují závislost nalezenou pro jednotlivé materiálové soubory v logaritmických

souřadnicích. U uvedených grafů je na vodorovnou osu vynášena hodnota naměřené velikosti tangenty úhlu  $\beta$ , na svislou osu je vynesena hodnota tangenty zjištěná výpočtem.

Jednotlivé závislosti jsou zpracovány ve formě tabulek s hodnotami konstant a exponentů (tab.XX.-XXIV.). Při použití matematických vztahů lze konstatovat, že závislost  $\operatorname{tg}\beta$  na třech i čtyřech veličinách charakterizujících proces broušení je ve většině případů velmi těsná. To znamená kvadratická forma závislosti, včetně této formy po odstranění nejméně ovlivňujících členů rovnice i vztahy další vykazují vysokou závislost uvedených veličin.

Po zhodnocení všech závislostí můžeme uvést jako platnou výslednou závislost :

$$\operatorname{tg}\beta = k \cdot (F_n \cdot l_k \cdot v_s)^{k^1} \quad (45)$$

nebo :

$$\operatorname{tg}\beta = k \cdot F_n^{k^1} \cdot l_k^{k^2} \cdot v_s^{k^3} \cdot v_f^{k^4} \quad (46)$$

#### 4.2.3 Jiné závislosti

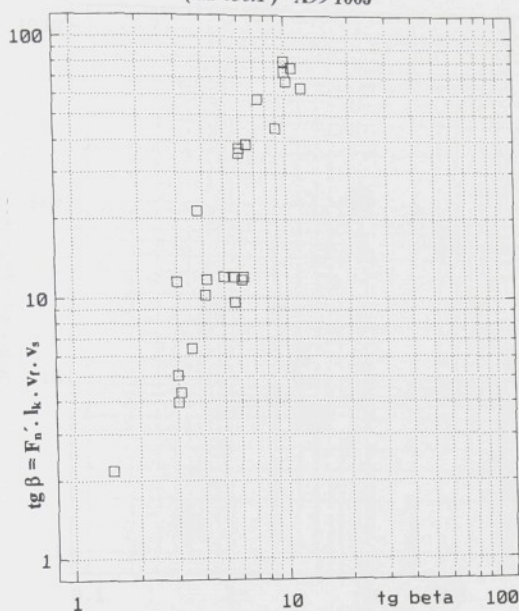
Pro dokumentování problematiky použití vyjiskřovací křivky v oblasti broušení byly také vytvořeny, v současné době snad nejuznávanější, diagramy broušení ( příl. 3 ) některých souborů. Při použití hodnot  $\operatorname{tg}\beta$  byla pozorována lineární závislost  $h_{eq} - \operatorname{tg}\beta$  v těchto diagramech, to znamená že také platí :

$$\operatorname{tg}\beta = \operatorname{tg}\beta_1 \cdot h_{eq}^{k^1} \quad (47)$$

V závislosti na drsnosti povrchu v těchto diagramech má průběh  $\operatorname{tg}\beta$  klesající tendenci vůči  $R_a$ , to znamená, že s poklesem strmosti vyjiskřovací křivky roste kvalita plochy v hodnotách  $R_a$ . Protože však veličina  $h_{eq}$  je veličinou tvořenou třemi hodnotami reálného procesu jak bylo již v úvodních kapitolách deklarováno, diagramy musí zachovávat konstantní hodnoty řady dalších veličin např.  $V_w'$ ,  $d_{eq}$ , tlak a množství

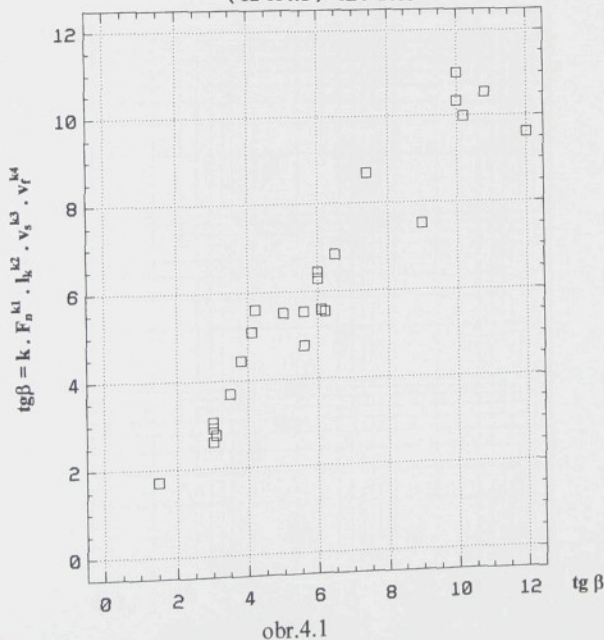
ZÁVISLOST  $\operatorname{tg}\beta$  -  $\operatorname{tg}\beta = f(F_n', l_k, v_r, v_s)$

( 12 050.1 ) - A99 100J



ZÁVISLOST  $\operatorname{tg}\beta$  -  $\operatorname{tg}\beta = f(F_n', l_k, v_r, v_s)$

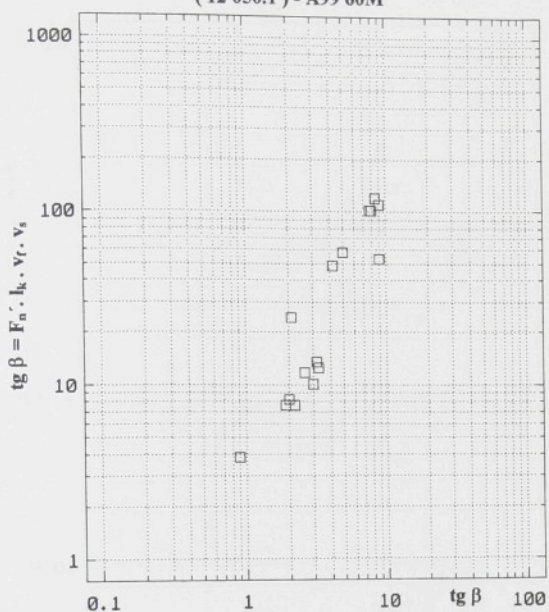
( 12 050.1 ) - A99 100J



obr.4.1

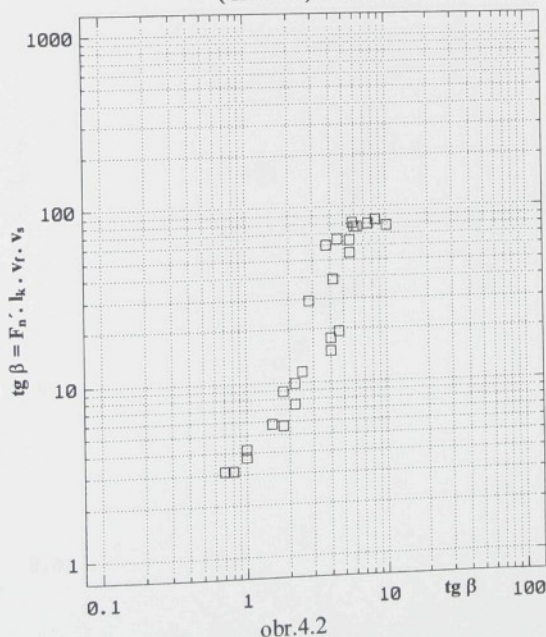
ZÁVISLOST  $\operatorname{tg}\beta$  -  $\operatorname{tg}\beta = f(F_n', l_k, v_f, v_s)$

( 12 050.1 ) - A99 60M



ZÁVISLOST  $\operatorname{tg}\beta$  -  $\operatorname{tg}\beta = f(F_n', l_k, v_f, v_s)$

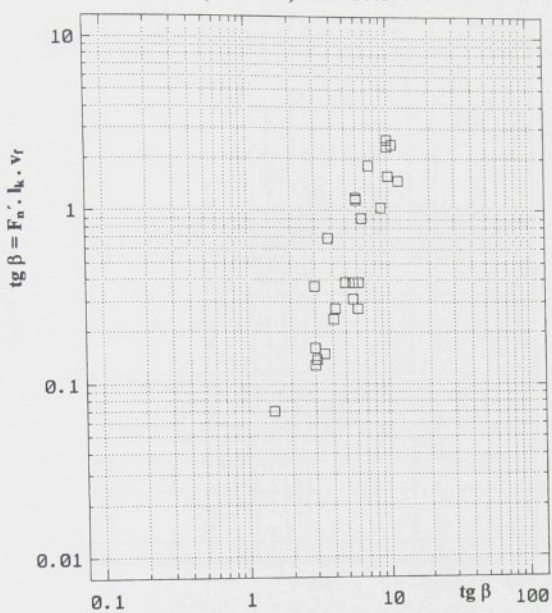
( 12 050.4 ) - A99 60M



obr.4.2

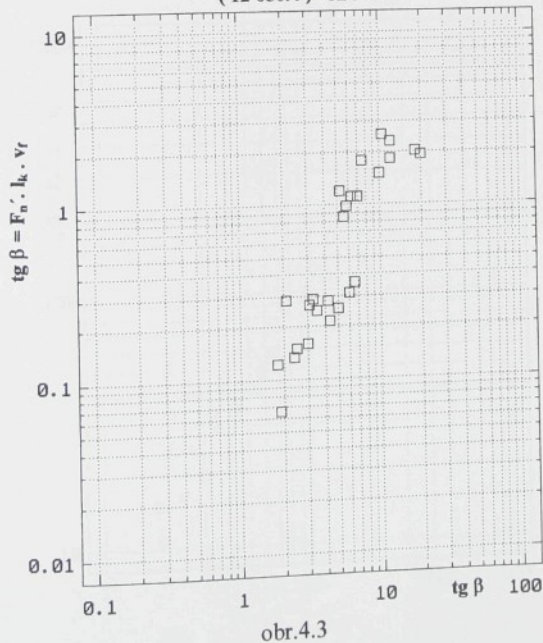
ZÁVISLOST  $\operatorname{tg}\beta$  -  $\operatorname{tg}\beta = f(F_n', l_k, v_f)$

( 12 050.1 ) - A99 100J



ZÁVISLOST  $\operatorname{tg}\beta$  -  $\operatorname{tg}\beta = f(F_n', l_k, v_f)$

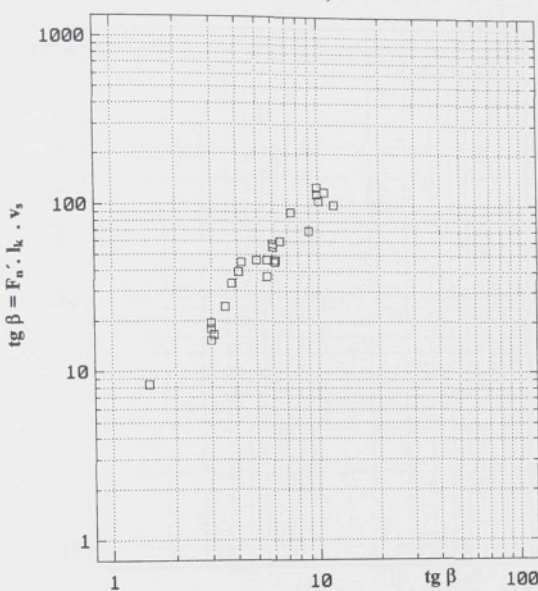
( 12 050.4 ) - A99 100J



obr.4.3

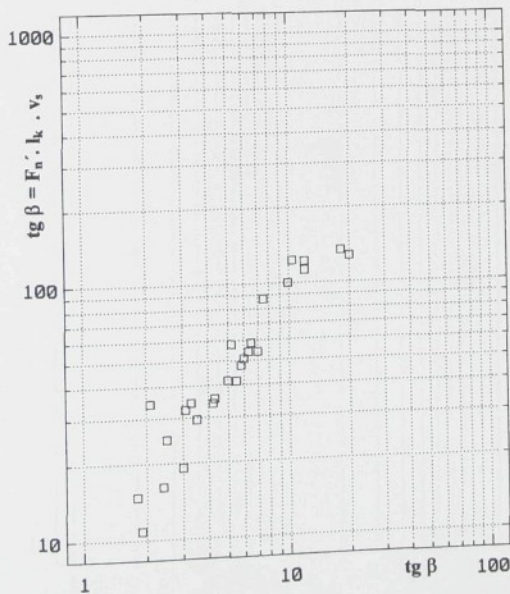
ZÁVISLOST  $\operatorname{tg}\beta - \operatorname{tg}\beta = f(F_n', l_k, v_s)$

( 12 050.1 )



ZÁVISLOST  $\operatorname{tg}\beta - \operatorname{tg}\beta = f(F_n', l_k, v_s)$

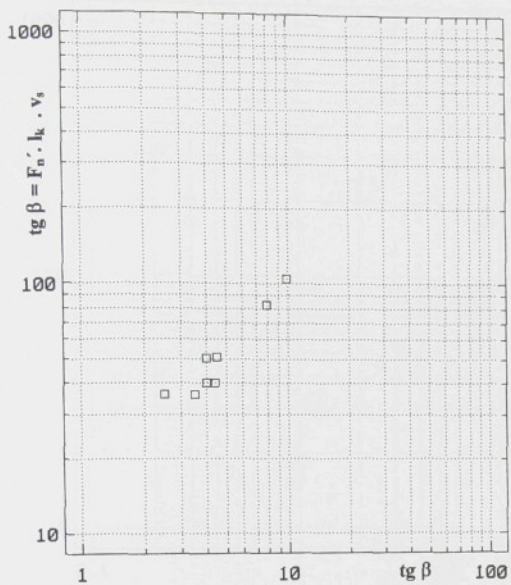
( 12 050.4 ) - A99 100J



obr.4.4

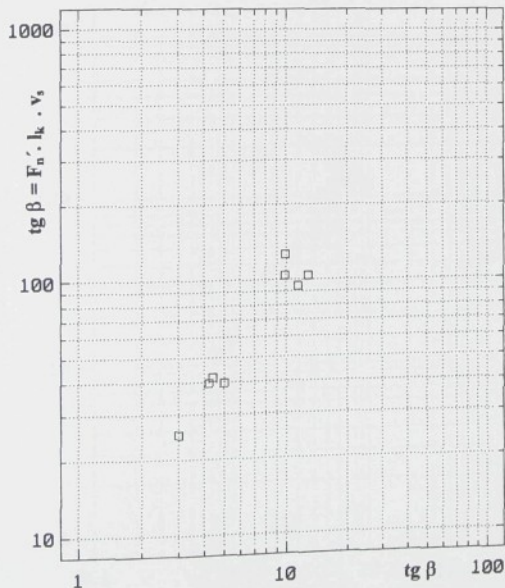
ZÁVISLOST  $\operatorname{tg}\beta - \operatorname{tg}\beta = f(F_n', l_k, v_s)$

(17 027.0) - monocr. 26A



ZÁVISLOST  $\operatorname{tg}\beta - \operatorname{tg}\beta = f(F_n', l_k, v_s)$

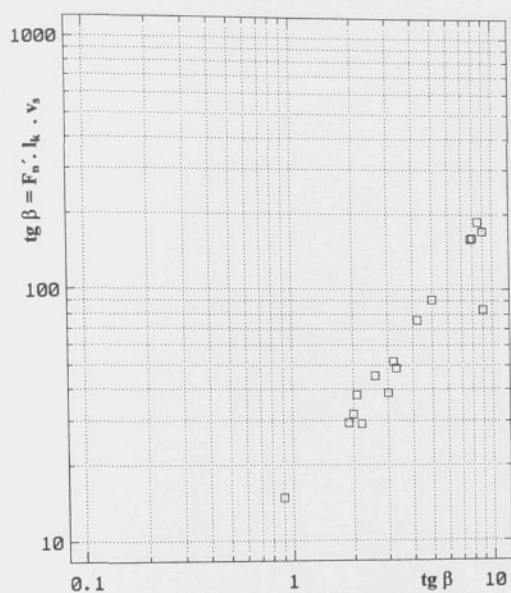
(17 027.2) - monocr. 26A



obr.4.5

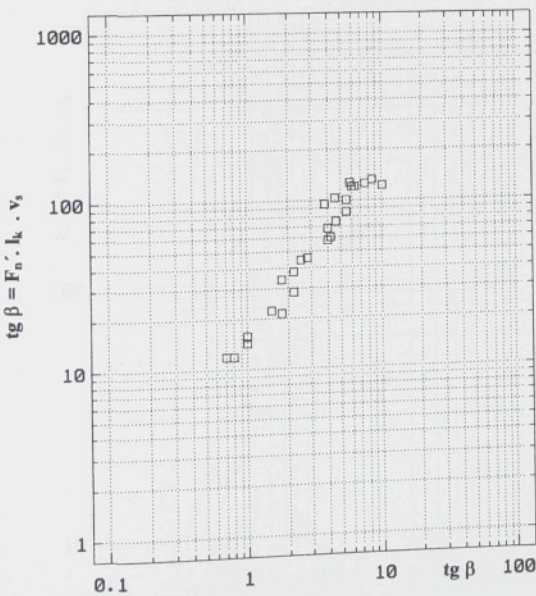
ZÁVISLOST  $\operatorname{tg}\beta - \operatorname{tg}\beta = f(F_n', l_k, v_s)$

( 12 050.1 ) - A99 60M



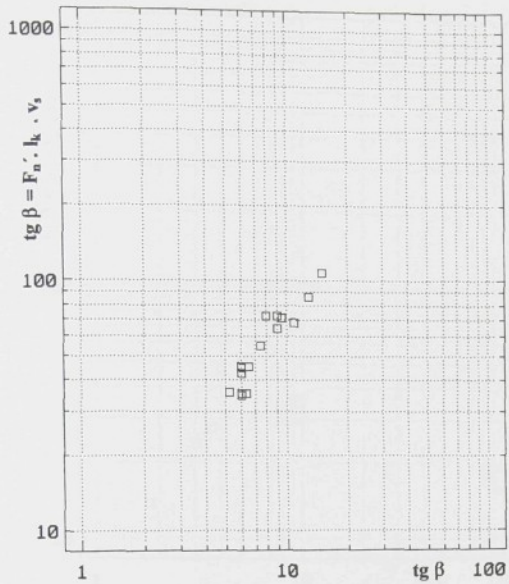
ZÁVISLOST  $\operatorname{tg}\beta - \operatorname{tg}\beta = f(F_n', l_k, v_s)$

( 12 050.4 ) - A99 60M

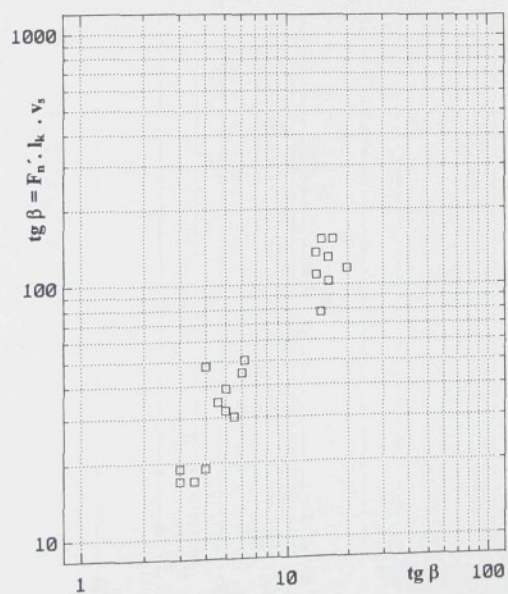


obr.4.6

ZÁVISLOST  $\operatorname{tg}\beta - \operatorname{tg}\beta = f(F_n', l_k, v_s)$   
 (17 027.0) - A99 100J



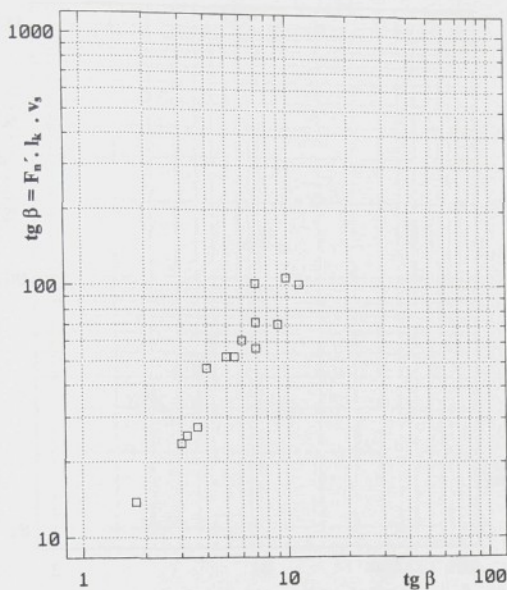
ZÁVISLOST  $\operatorname{tg}\beta - \operatorname{tg}\beta = f(F_n', l_k, v_s)$   
 (17 027.2) - A99 100J



obr.4.7

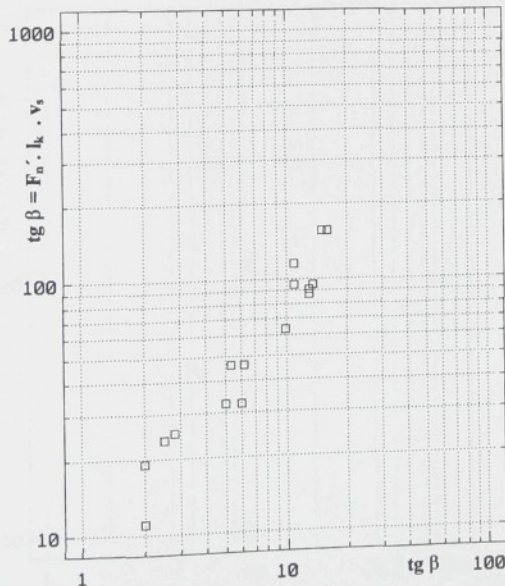
ZÁVISLOST  $\operatorname{tg}\beta - \operatorname{tg}\beta = f(F_n', l_k, v_s)$

(12 050.1) - monocr. 26A



ZÁVISLOST  $\operatorname{tg}\beta - \operatorname{tg}\beta = f(F_n', l_k, v_s)$

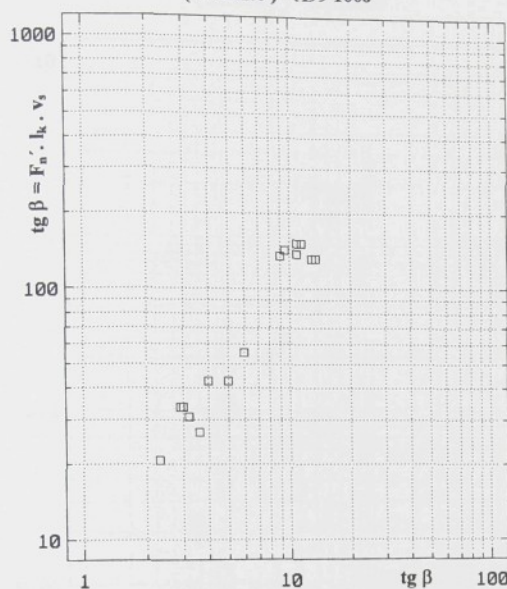
(12 050.4) - monocr. 26A



obr.4.8

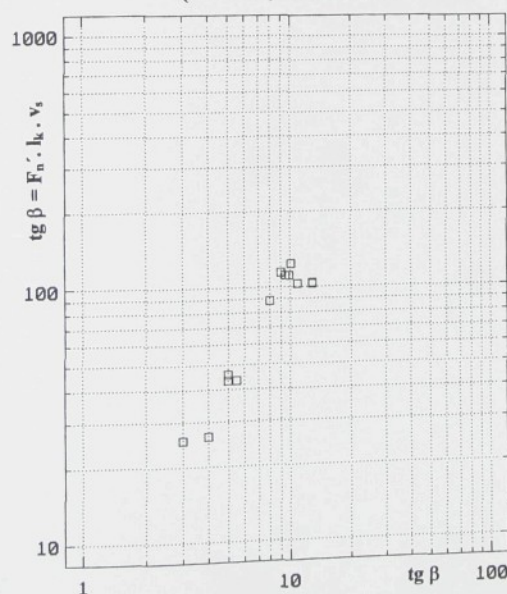
ZÁVISLOST  $\operatorname{tg}\beta$  -  $\operatorname{tg}\beta = f(F_n', l_k, v_s)$

( 15 241.6 ) - A99 100J



ZÁVISLOST  $\operatorname{tg}\beta$  -  $\operatorname{tg}\beta = f(F_n', l_k, v_s)$

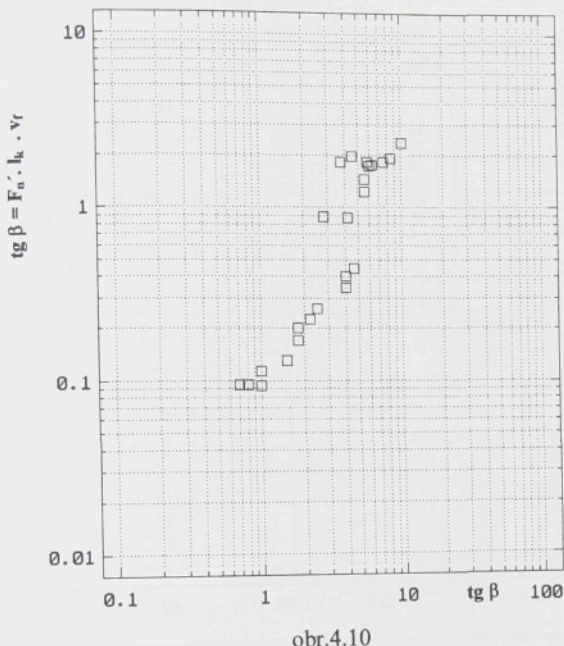
( 15 241.6 ) - monocr. 26A



obr.4.9

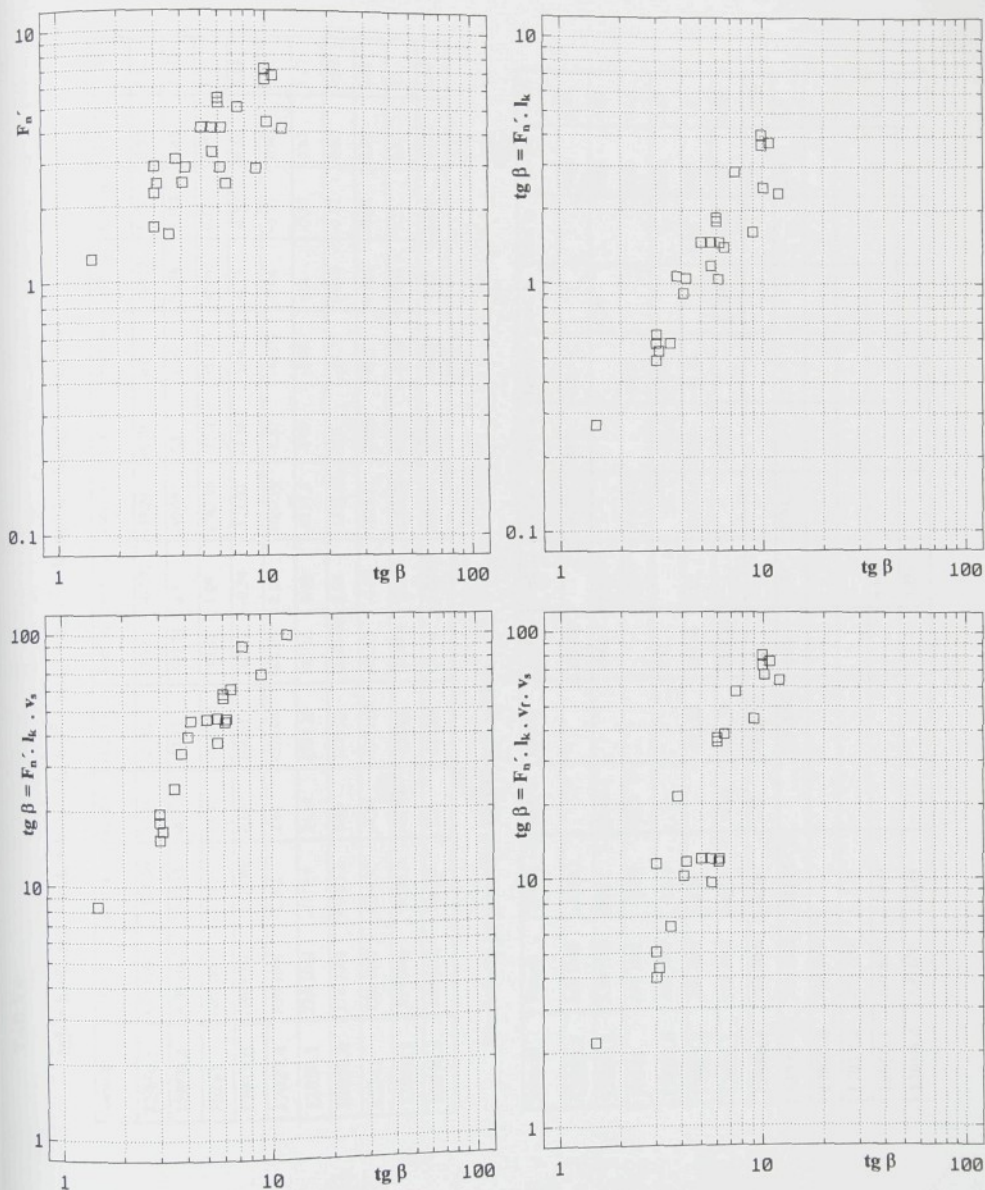
ZÁVISLOST  $\operatorname{tg}\beta - \operatorname{tg}\beta = f(F_n', l_k, v_t)$

(12 050.1) - A99 60M



obr.4.10

VÝVOJ ZÁVISLOSTI  $\operatorname{tg}\beta - \operatorname{tg}\beta = f(F_n', l_k, v_r, v_s)$   
 ( 12 050.1 ) - A99 100J



obr.4.11

TAB. XX

$$\operatorname{tg}\beta = k + k_1 \cdot \operatorname{tg}\beta + k_2 \cdot l_k + k_3 \cdot y + k_4 \cdot \operatorname{tg}\beta^2 + k_5 \cdot l_k^2 + k_6 \cdot y^2 + k_7 \cdot \operatorname{tg}\beta \cdot l_k + k_8 \cdot \operatorname{tg}\beta \cdot y + k_9 \cdot l_k \cdot y$$

Materiál	Kotouč	koef. k	koef. k <sub>1</sub>	koef. k <sub>2</sub>	koef. k <sub>3</sub>	koef. k <sub>4</sub>	koef. k <sub>5</sub>	koef. k <sub>6</sub>	koef. k <sub>7</sub>	koef. k <sub>8</sub>	koef. k <sub>9</sub>	R - SQ	SE
<b>12050.1</b>	A99 100J	-0(35)26	0.624	-29.83	57.99	-0.177	-39.29	0.79	6.0	-0.017	1.33	0.92	0.8
<b>12050.4</b>	A 99 100J	7349.58	-8.075	-37.46	-407.71	0.3	-49.05	5.5	1.25	0.198	3.124	0.89	1.61
<b>15241</b>	A99 100J	-2.076	17.97	-1199.16	116.42	1.09	1463.95	-15.75	-51.18	-0.065	0.72	0.99	0.5
<b>17027.0</b>	A99 100J	-1914.09	2.19	186.55	102.54	-0.34	-171.32	-1.36	14.415	-0.13	-1.87	0.84	1.14
<b>17027.4</b>	A99 100J	-1.205	2.46	-579.68	664.97	2.85	1067.29	-8.87	-46.07	-0.04	-5.77	0.96	1.11
<b>12050.1</b>	27A 100J	-8159.9	34.94	4354.26	383.16	4.48	-4151.3	-4.97	-54.9	-0.8	-7.36	0.85	1.17
<b>12050.4</b>	27A 100J	41267.3	5.99	1311.27	-2229.06	0.58	-1125.07	29.3	-17.75	0.016	-5.57	0.97	0.87
<b>15241</b>	27A 100J	1294.92	-4.54	-1751.09	-46.33	-3.67	1625.51	0.606	49.3	0.116	-0.68	0.96	0.69
<b>12050.1</b>	A99 60M	70528.0	-31.04	-5568.5	-3674.8	-2.259	570.76	47.66	45.04	0.704	5.25	0.33	2.1
<b>12050.4</b>	A99 60M	556.39	7.35	-322.85	-26.44	1.089	280.54	0.331	-18.57	-0.12	3.233	0.703	1.86

#### Koefficienty po provedení kvalitativní selekcí

Materiál	Kotouč	koef. k	koef. k <sub>1</sub>	koef. k <sub>2</sub>	koef. k <sub>3</sub>	koef. k <sub>4</sub>	koef. k <sub>5</sub>	koef. k <sub>6</sub>	koef. k <sub>7</sub>	koef. k <sub>8</sub>	koef. k <sub>9</sub>	R - SQ	SE
<b>12050.1</b>	A99 100J	-2754.1		153.03		-16.03	-2.07	2.9				0.94	0.73
<b>12050.4</b>	A 99 100J	18.81	-9.42	-0.44	0.43				0.24			0.88	1.62
<b>15241</b>	A99 100J	-45.59	23.3		1.79		364.27		-78.0			0.98	0.65
<b>17027.0</b>	A99 100J	-3.014		0.12				4.198				0.91	0.87
<b>17027.4</b>	A99 100J	-1.24		-573.22	684.46	2.72	1071.84	-9.13	-41.92	-6.48	0.97	1.0	
<b>12050.1</b>	27A 100J	-8.57	14.45	3621.34	4558.84		-59.31		-0.334	-106.02	0.94	0.69	
<b>12050.4</b>	27A 100J	-6.78	1.72	19.28								0.95	1.056
<b>15241</b>	27A 100J	385.56		-1568.56	-0.19	-3.93	1399.78		53.14			0.98	0.5
<b>17027.0</b>	27A 100J												
<b>17027.4</b>	27A 100J												
<b>12050.1</b>	A99 60M	1.9669					0.106					0.49	1.83
<b>12050.4</b>	A99 60M	0.849					0.237					0.66	1.98

TAB.XXI

$$\operatorname{tg}\beta = k + k_1 \cdot F_n' + k_2 \cdot l_k + k_3 \cdot v_s$$

Materiál	Kotouč	koef. k	koef. k <sub>1</sub>	koef. k <sub>2</sub>	koef. k <sub>3</sub>	R - SQ	SE
<b>12050.1</b>	A99 100J	-5.61	0.885	12.03	0.1	0.87	1.06
<b>12050.4</b>	A 99 100J	-17.175	1.91	12.26	0.32	0.8	2.14
<b>15241</b>	A99 100J	-16.23	0.195	31.79	0.191	0.95	0.98
<b>17027.0</b>	A99 100J	-10.235	2.11	14.46	0.123	0.87	1.0
<b>17027.4</b>	A99 100J	-3.84	1.906	21.37	-0.099	0.94	1.44
<b>12050.1</b>	27A 100J	-4.75	2.1	6.62	0.036	0.82	1.22
<b>12050.4</b>	27A 100J	-8.58	1.72	19.26	0.047	0.95	1.06
<b>15241</b>	27A 100J	-3.99	1.55	10.59	0.018	0.85	1.31
<b>17027.0</b>	27A 100J	-4528.1	1.76	-15.24	104.94	0.98	0.39
<b>17027.4</b>	27A 100J	-2.29	0.74	-480.42	534.24	0.88	1.33
<b>12050.1</b>	A99 60M	-3.25	1.136	5.62	0.018	0.84	1.14
<b>12050.4</b>	A99 60M	-5.04	1.02	6.74	0.06	0.83	1.036

$$\operatorname{tg}\beta = k + k_1 \cdot F_n' \cdot l_k \cdot v_s$$

Materiál	Kotouč	koef. k	koef. k <sub>1</sub>	R - SQ	SE
<b>12050.1</b>	A99 100J	1.733	0.078	0.89	0.96
<b>12050.4</b>	A 99 100J	-0.066	0.11	0.87	1.73
<b>15241</b>	A99 100J	1.215	0.073	0.88	1.48
<b>17027.0</b>	A99 100J	0.889	0.126	0.89	0.93
<b>17027.4</b>	A99 100J	1.54	0.11	0.85	2.31
<b>12050.1</b>	27A 100J	1.065	0.087	0.81	1.23
<b>12050.4</b>	27A 100J	1.66	0.098	0.87	1.75
<b>15241</b>	27A 100J	1.64	0.08	0.79	1.52
<b>17027.0</b>	27A 100J	-0.29	0.098	0.95	0.545
<b>17027.4</b>	27A 100J	1.106	0.091	0.81	1.69
<b>12050.1</b>	A99 60M	0.968	0.046	0.82	1.22
<b>12050.4</b>	A99 60M	0.23	0.056	0.86	0.96

TAB.XXII

$$\operatorname{tg} \beta = k \cdot F_n^{-k_1} \cdot l_k^{k_2} \cdot v_f^{k_3}$$

Materiál	Kotouč	koef. k	koef. k <sub>1</sub>	koef. k <sub>2</sub>	koef. k <sub>3</sub>	R - SQ	SE	MAE
<b>12050.1</b>	A99 100J	0.85	0.52	1.04	-0.096	0.90	0.07	0.053
<b>12050.4</b>	A 99 100J	0.82	0.7	1.0	0.15	0.81	0.13	0.09
<b>15241</b>	A99 100J	5.12	0.49	35.73	-16.83	0.95	0.06	0.044
<b>17027.0</b>	A99 100J	-0.067	0.81	-4.1	2.57	0.88	0.048	0.036
<b>17027.4</b>	A99 100J	1.26	0.77	4.14	-1.515	0.95	0.069	0.048
<b>12050.1</b>	27A 100J	-1.17	0.96	-11.285	5.88	0.91	0.069	0.048
<b>12050.4</b>	27A 100J	-1.32	0.76	-14.86	8.1	0.93	0.087	0.061
<b>15241</b>	27A 100J	-0.434	0.94	-7.9	4.2	0.92	0.058	0.037
<b>17027.0</b>	27A 100J	10.65	0.7	77.03	-38.67	0.97	0.033	0.019
<b>17027.4</b>	27A 100J	-3.505	0.534	-33.64	17.53	0.94	0.06	0.036
<b>12050.1</b>	A99 60M	-2.5	1.22	-15.99	8.28	0.93	0.078	0.047
<b>12050.4</b>	A99 60M	0.453	1.0	1.8	-0.53	0.92	0.093	0.063

$$\operatorname{tg} \beta = k \cdot (F_n^{-} \cdot l_k \cdot v_f)^{k_1}$$

Materiál	Kotouč	koef. k	koef. k <sub>1</sub>	R - SQ	SE	MAE
<b>12050.1</b>	A99 100J	0.85	0.43	0.78	0.106	0.08
<b>12050.4</b>	A 99 100J	0.876	0.546	0.79	0.13	0.103
<b>15241</b>	A99 100J	0.86	0.49	0.85	0.109	0.095
<b>17027.0</b>	A99 100J	0.97	0.35	0.84	0.055	0.045
<b>17027.4</b>	A99 100J	1.03	0.48	0.95	0.068	0.049
<b>12050.1</b>	27A 100J	0.85	0.46	0.74	0.117	0.087
<b>12050.4</b>	27A 100J	0.97	0.58	0.91	0.098	0.068
<b>15241</b>	27A 100J	0.91	0.42	0.89	0.068	0.049
<b>17027.0</b>	27A 100J	0.81	0.45	0.65	0.11	0.091
<b>17027.4</b>	27A 100J	0.94	0.5	0.93	0.06	0.046
<b>12050.1</b>	A99 60M	0.67	0.56	0.80	0.134	0.1
<b>12050.4</b>	A99 60M	0.66	0.6	0.85	0.128	0.098

hodnota koeficientu k odpovídá log(k)

TAB.XXIII

$$\operatorname{tg}\beta = k \cdot F_n^{k1} \cdot I_k^{k2} \cdot v_s^{k3}$$

Materiál	Kotouč	koef. k	koef. k <sub>1</sub>	koef. k <sub>2</sub>	koef. k <sub>3</sub>	R - SQ	SE
<b>12050.1</b>	A99 100J	-0.519	0.68	0.69	0.77	0.93	0.06
<b>12050.4</b>	A 99 100J	-1.825	0.95	0.72	1.51	0.90	0.091
<b>15241</b>	A99 100J	-1.48	0.63	1.23	1.47	0.98	0.04
<b>17027.0</b>	A99 100J	-0.04	0.78	0.84	0.53	0.87	0.05
<b>17027.4</b>	A99 100J	1.346	0.73	1.16	-0.28	0.95	0.07
<b>12050.1</b>	27A 100J	-0.219	1.0	0.56	0.43	0.905	0.07
<b>12050.4</b>	27A 100J	0.029	0.79	1.22	0.52	0.92	0.09
<b>15241</b>	27A 100J	-0.046	0.95	0.47	0.33	0.91	0.06
<b>17027.0</b>	27A 100J	-1722.98	0.58	-1.73	1053.25	0.88	0.066
<b>17027.4</b>	27A 100J	-5714.8	0.73	-35.3	3485.9	0.93	0.065
<b>12050.1</b>	A99 60M	-0.454	1.07	0.55	0.39	0.91	0.088
<b>12050.4</b>	A99 60M	-1.01	0.96	0.79	0.83	0.95	0.077

$$\operatorname{tg}\beta = k \cdot (F_n \cdot I_k \cdot v_s)^{kl}$$

Materiál	Kotouč	koef. k	koef. k <sub>1</sub>	Cor. koef.	R - SQ (%)
<b>12050.1</b>	A99 100J	-0.939	0.69	0.97	93.54
<b>12050.4</b>	A 99 100J	-1.77	0.9	0.95	89.74
<b>15241</b>	A99 100J	-1.62	0.82	0.97	94.1
<b>17027.0</b>	A99 100J	-1.24	0.82	0.94	87.94
<b>17027.4</b>	A99 100J	-1.21	0.81	0.95	90.2
<b>12050.1</b>	27A 100J	-1.49	0.81	0.96	91.2
<b>12050.4</b>	27A 100J	-1.65	0.90	0.96	92.4
<b>15241</b>	27A 100J	-1.25	0.77	0.95	90.6
<b>17027.0</b>	27A 100J	-2.62	1.06	0.95	89.8
<b>17027.4</b>	27A 100J	-1.74	0.88	0.97	93.2
<b>12050.1</b>	A99 60M	-2.29	0.88	0.96	92.4
<b>12050.4</b>	A99 60M	-2.455	0.91	0.98	95.1

TAB.XXIV

$$\operatorname{tg} \beta = k \cdot F_n^{-k1} \cdot l_k^{k2} \cdot v_s^{k3} \cdot v_t^{k4}$$

Materiál	Kotouč	koef. k	koef. k <sub>1</sub>	koef. k <sub>2</sub>	koef. k <sub>3</sub>	koef. k <sub>4</sub>	R - SQ	SE	MAE
<b>12050.1</b>	A99 100J	-0.52	0.68	0.69	0.77	-0.00004	0.92	0.063	0.046
<b>12050.4</b>	A 99 100J	-2.155	0.8	0.34	1.79	0.43	0.93	0.079	0.05
<b>15241</b>	A99 100J	-0.37	0.63	7.67	1.26	-3.17	0.98	0.041	0.027
<b>17027.0</b>	A99 100J	0.028	0.81	-8.55	-0.54	4.9	0.87	0.049	0.035
<b>17027.4</b>	A99 100J	1.27	0.49	-12.32	-1.21	6.89	0.95	0.068	0.048
<b>12050.1</b>	27A 100J	-1.17	0.96	-11.3	-0.00065	5.89	0.90	0.072	0.048
<b>12050.4</b>	27A 100J	-1.42	0.75	-17.15	-0.13	9.24	0.92	0.09	0.06
<b>15241</b>	27A 100J	-0.87	0.9	-25.2	-0.91	12.91	0.92	0.058	0.039
<b>17027.0</b>	27A 100J	587.27	0.87	85.38	-351.78	-42.47	0.96	0.037	0.017
<b>17027.4</b>	27A 100J	-4236.2	0.66	-54.55	2581.9	14.39	0.93	0.063	0.03
<b>12050.1</b>	A99 60M	-2.86	1.12	-15.4	0.34	8.07	0.93	0.079	0.044
<b>12050.4</b>	A99 60M	-1.066	0.97	0.56	0.84	0.11	0.94	0.079	0.055

hodnota koeficientu k odpovídá log(k)

kapaliny , je nutné toto brát pouze jako důkaz platnosti zjištěných závislostí  $\operatorname{tg}\beta$  a  $R_s$ .  $\operatorname{tg}\beta$  je tedy exponenciální závislostí  $h_{eq}$ , kdy se jedná v podstatě o závislost na  $v_s$ ,  $v_w$ , a  $a_e$  , což tedy potvrzuje přímou závislost  $\operatorname{tg}\beta$  na těchto veličinách.

#### 4.3 Aplikace a využití nových poznatků

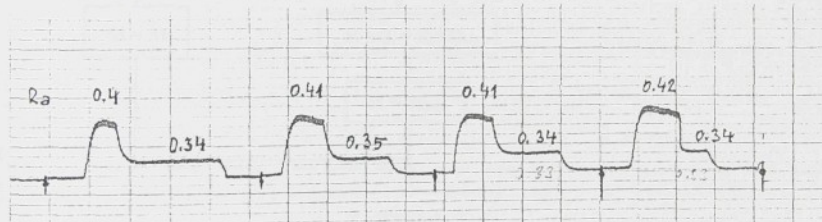
Při zjišťování vztahu vyjiskřovací křivky a kvality povrchu po broušení byla nalezena závislost mezi strmostí vyjiskřovací křivky a drsností povrchu danou hodnotou  $R_s$ . Současně bylo zjištěno, že strmost vyjiskřovací křivky je závislá na velikosti normálové složky řezné sily  $F_n'$ , kinematické délce stykového oblouku  $l_k$  a rychlostech  $v_s$  a  $v_f$ .

Tyto závěry je nutno dále rozvinout a zejména aplikovat pro vlastní proces broušení. V kap. 3.1 byly popsány do současnosti vyvinuté, případně zkoumané, systémy pro řízení procesu broušení. Se znalostí těchto systémů lze tedy využít v práci uvedené výsledky a aplikovat je prakticky dvěma způsoby :

1. Nepřímo v expertním systému, kdy za pomoci banky dat zjistíme konstanty a platné závislosti pro dané materiály, při kontrole normálové složky řezné sily je možno dodržovat takovou její hodnotu, která odpovídá výstupní drsnosti povrchu ( při dodržení ostatních podmínek daných závislostí )
2. Přímo v tzv. inteligenčním systému řízení ( GICS - Grinding Intelligent Control System ), kdy počítač bude sledovat strmost vyjiskřovací křivky a regulaci  $v_f$  , případně  $v_s$  , doveď řezný proces k požadované drsnosti povrchu. Tento systém vychází z údajů již proběhlých cyklů, které jsou uloženy v bance dat. Po vložení údajů o broušeném materiálu použije řídící systém postupně matematické modely k určení výstupních parametrů broušené plochy. Na základě dat uložených v bance dat stanoví hodnoty konstant a exponentů. Následně stanoví maximální odchylku daného modelu při použití výstupních hodnot banky dat např.  $R_s$ . Stejným postupem určí odchylky při použití

ostatních vložených matematických modelů. Model s nejmenší odchylkou pro daný materiál použije řídící systém k dalšímu řízení vlastního procesu broušení. V souvislosti s tím stanoví technickou charakteristiku brousicího kotouče. Vlastní řízení bude prováděno podle vyspělosti systému jednou ( např. axiálním posuvem ) nebo více veličinami (  $n_s$ ,  $n_w$ ,  $v_{fa}$ ,  $v_{fr}$  ). Tato veličina je nazývána veličinou řídící. Při řízení bude limitován požadovanými výstupními parametry broušené plochy.

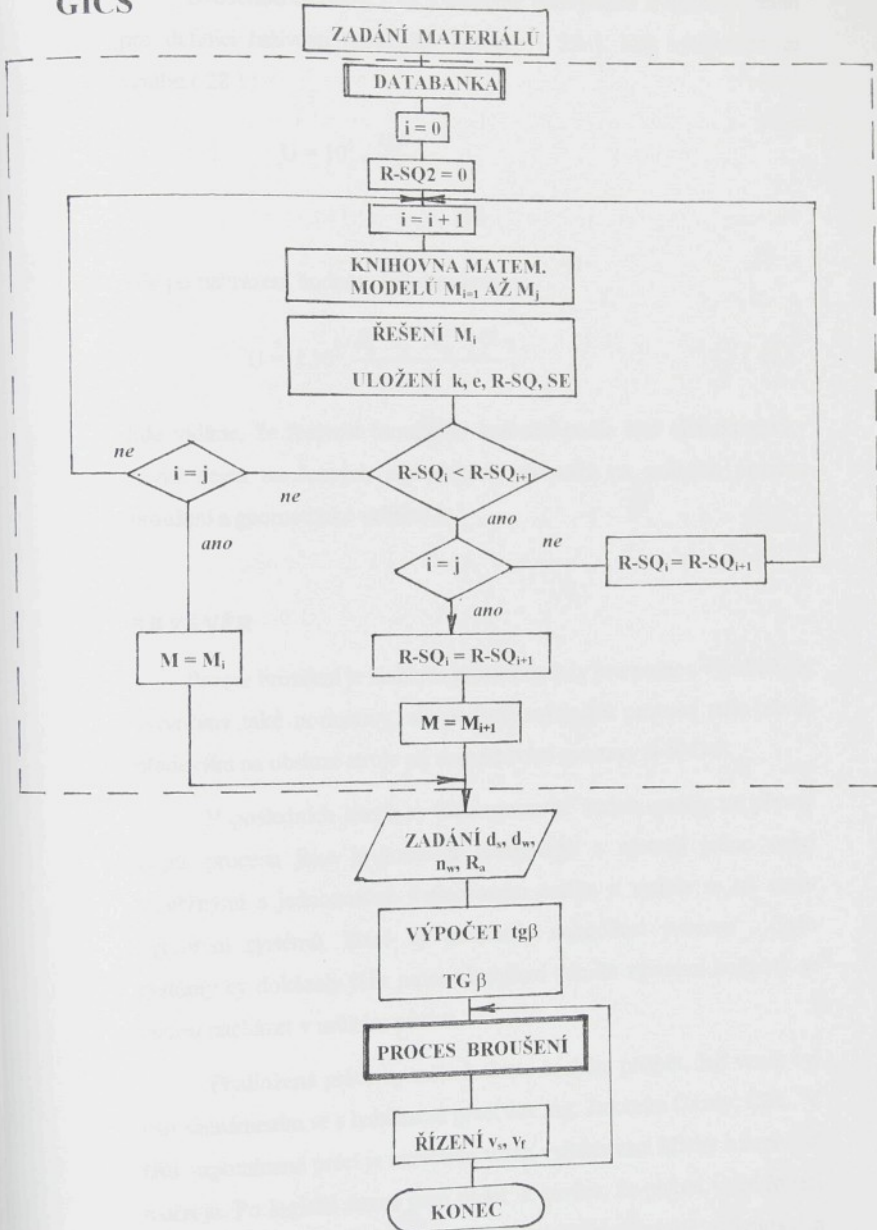
Možnost regulace a vliv této regulace je prokázán stanovenými matematickými závislostmi v předložené práci, ať už se jedná o jednoznačně potvrzenou závislost  $R_a$  a  $\operatorname{tg}\beta$ , tak i závislost  $\operatorname{tg}\beta$ ,  $v_f$  a  $v_s$ . Důkazem je také obr. 4.12, kdy při několika ověřovacích cyklech byla regulována rychlosť přísvu u zapichovacího broušení. V horní části časových závislostí jsou dosažené drsnosti povrchu bez stupňové regulace, v dolní části potom dosažená drsnost s regulací. Tato regulace byla prováděna ručně.



obr.4.12

Systém GICS budu nutno ještě doplnit o závislosti a znalosti průběhu tvrdosti povrchové vrstvy a průběhu napětí v povrchové vrstvě. Potom budeme moci hovořit o plně automatickém systému, který vlastně provede optimalizaci, za pomoci banky dat a daných matematických závislostí, na základě stěžejní (limitní) požadované výstupní veličiny. Touto veličinou je např. drsnost povrchu  $R_a$ , hodnota výstupní veličiny. V jednotlivých případech budou tvrdosti povrchové vrstvy atd. samozřejmě potlačeny limitní hodnoty ostatních výstupních veličin, případně některé z nich, protože by jinak nebylo možné najít řešení. Vývojový diagram systému je na obr. 4.13.

## GICS



obr.4.13

Uvedenou závislost ( 46 ) můžeme také použít k úpravě vztahu pro definici řezivosti brousícího kotouče [ 25 ], kdy vycházíme ze vztahu ( 28 ) :

$$U = 10^5 \cdot \frac{\operatorname{tg}\beta}{S} ,$$

kde po nahrazení hodnoty  $\operatorname{tg}\beta$  dostáváme :

$$U = k \cdot 10^5 \cdot \frac{F_n^{k1} \cdot I_k^{k2} \cdot v_s^{k3} \cdot v_f^{k4}}{S} , \quad ( 48 )$$

kde vidíme, že řezivost brousícího kotouče podle této charakteristiky závisí nejen na řezných podmínkách, ale také na průběhu procesu broušení a geometrické veličině  $I_k$ .

## 5.0 ZÁVĚR

Proces broušení je složitým procesem, kdy pro pomoc výrobě byly vytvořeny také normativy, ale podstata výsledků procesu stále závisí především na obsluze stroje při respektování soustavy S-N-O-P.

V posledních létech se řada pracovišť vzdala naděje na přesný popis procesu jako je tomu u technologií s nástroji jedno nebo vícebřitými s jednoznačně definovaným ostřím a vydala se na cestu vytvoření systémů, které by odstranily nahodilost procesu . Tyto systémy by dokázaly řídit proces broušení tak, že výstupní hodnoty se budou nacházet v určitém pásmu.

Předložená práce by měla k těmto snahám přispět. Její vznik byl dán seznámením se s habilitační prací doc.ing. Jaromíra Gazdy, CSc.. V této vzpomínанé práci je rozebírána vztah vyjiskrovací křivky a řezivosti nástroje. Po logické úvaze jsem došel k závěru, že pokud vyjiskrovací křivka souvisí s řezivostí brousícího kotouče, musí nutně ovlivňovat a být obrazem kvality výsledné plochy.

Protože se tyto předpoklady potvrdily, alespoň je to můj názor podepřený řadou experimentů a jejich zpracováním, lze je dále aplikovat, tak jak bylo navrženo v kap.4. Práce zároveň vytvořila typ závislostí drsnosti povrchu  $R_a$  na strmosti vyjiskřovací křivky a závislosti strmosti této křivky na vlastním řezném procesu.

Objevuje se však i řada otázek, kdy mezi nimi je podíl materiálů nástroje a obrobku na hodnotách konstant a exponentů, jak se jejich hodnoty změní při použití jiného řezného prostředí a podobně. A nesmíme ani zapomenout na tuhost soustavy S-N-O-P a její ovlivnění těchto závislostí. Myslím však, že nic nebrání tomu, aby výsledky práce byly využity pro další práce v oblasti automatizace procesu broušení.

V rámci interního grantu řeším v současné době úkol přímého ukládání hodnot z procesu do databáze ACCESS přes interface ADDA ISES Professional. Část tohoto úkolu je již vyřešena. Celý úkol tvoří:

- a) zápis a ukládání vstupních hodnot
- b) snímání a ukládání procesních hodnot
- c) zápis a ukládání postprocesních hodnot

Na závěr práce a této kapitoly bych chtěl poděkovat zvláště panu doc.ing. Jaromíru Gazdovi, CSc. a doc.ing. Vladimíru Gabrielovi, CSc. za cenné rady, připomínky, náměty a poskytnutí vlastních zkušeností, mnohdy i povzbuzení. Dále bych rád poděkoval katedře technické výchovy UJEP za všechnou pomoc včetně pomoci při pracích spojených s prováděním experimentů a to zvláště ing. Ladislavu Stančíkovi.

## LITERATURA.

1. Armarego, E.J.A. , Braun, R.H. : Obrabotka metallov rezaniem. Mašinostroenie, Moskva 1977
2. Allanson, D.R., Kelly,S., Terry, S., Moruzzi, J.L., Rowe, W.B.:Coping with Compliance in the Control of Grinding Processes. CIRP, 38/1/1989, str. 311-314
3. Backer,W.R., Marshall,E.R., Shaw,M.C.: The Size Effect in Metal Cutting. Transactions of the ASME. Series B, January 1952, s.61-72
4. Backer,W.R., Merchant,M.E.: On the Basic Mechanics of the Grinding Process. Transactions of the ASME. Series B, January 1958, str. 141-148
5. Békés,J.,Andonov,I.: Analýza a syntéza strojárskych objektov a procesov. Alfa, Bratislava 1986
6. Bhateja,C.P.,Chisholm,A.W.J.,Pattinson,E.J.: A Computer - Aided Study of the Texture of the Working Surfaces of Grinding Wheels. Proceedings of the 12th International Machine Tool Design and Research Conference, Mac Millan Press Ltd., Publishers
7. Bokučava, T.V.: Šlifovanie metallov s podačej ochlaždajušcej židkosti čerez pory šlifovalnovu kruga. Moskva 1959
8. Bhateja,Ch.P.: A Proposal for Some Functional Characteristic Parameters of Abrasive Grinding Wheels. CIRP Annals, vol.27,No.1/1978, s.237-241
9. Bhateja,Ch.P.: The Intrinsic Characteristics of Ground Surfaces. Grinding, Theory, Techniques and Troubleshooting, SME, Michigan 1982, str.139-147
10. Brinksmeier,E.,Werner,F.: Monitoring of Grinding Wheel Wear. Annals of the CIRP, vol.41/1/1992, str.373-376
11. Buda,J., Souček,J., Vasilko,K. : Teória obrábania. Alfa, Bratislava 1983
12. Bumbálek,B.,Odvody,V.,Oštádal,B.: Drsnost povrchu. SNTL, Praha 1989
13. Bumbálek,B.,Ondra,J.: Metodika sestavování modelu obrobiteľnosti materiálu na základě jeho strukturné mechanických vlastností. Strojirenství č.8/1987, str.447-449
14. Černý,V., Pospíšil,L. : Brusivo a brusné nástroje. SNTL, Praha 1967
15. Daněk,R., Laštovička,Z.: Broušení modifikovaných tvarů oběžných drah a opěrných čel vnitřních kroužků kuželkových ložisek. Stroj. výroba 7/1984, str. 485-487
16. Dostál, F. : Drsnost obrobených ploch. SNTL, Praha 1962

17. Dong, W.P., Webster, J.A.: Assessment of Frequency Characteristics of Acoustic Emission in Grinding. Proceedings IMEC'96, Storrs, 1996, str.34-37
18. Dráb,V. a kol.: Technologie I.- Návody ke cvičení. VŠST, Liberec 1987
19. Drastík,F.: Technické kreslení podle mezinárodních norem I. Montanex, Ostrava 1994
20. Dubovská, R.: Matematické modelovanie mikrogeometrie brúseného povrchu. Sborník vedecké konference, Košice 1996, str.32-35
21. Furukawa, Y., Ohiski, S., Shiozaki, S.: Selection of Creep Feed Grinding Conditions in View of Workpiece Burning. CIRP, 28/1/1979, str. 213-218
22. Gašpárek,J.: Dokončovacie sposoby obrábania. Alfa, Bratislava 1979
23. Garšin, A.P. a kol.: Abrazívne materiály. Leningrad 1983
24. Gazda,J. a kol.: Teorie obrábění - řezné síly při obrábění. VŠST, Liberec 1993
25. Gazda,J.: Řezivost brusných kotoučů. Habilitační práce, VŠST, Liberec 1979
26. Gazda,J.: Modelování brusného procesu. KDP, VŠST, Liberec 1973
27. Gazda,J., Janoušek,J.: Nástroje a podmínky pro broušení slitin niklu. Stroj. výroba, sv.34/1986, č.3, s.171-174
28. Gu, D.Y., Wager, J.G.: Further Evidence on the Contact Zone in Surface Grinding. CIRP, 39/1/1990, str.349-352
29. Hahn,R.S.,Lindsay,R.P.: Principles of Grinding. Machinery Magazine, July 1971, str.55 - 63
30. Hahn,R.S.,Lindsay,R.P.: Principles of Grinding-the Metal Removal Parameter. Machinery Magazine, August 1971, str.33-39
31. Hahn, R.S., Lindsay, R.P.: Principles of Grinding - the Wheel Removal Parameter. Machinery Magazine, September 1971, str. 33-39
32. Hahn, R.S., Lindsay, R.P.: Principles of Grinding - Surface Finish, Geometry, Integrity. Machinery Magazine, October 1971, str.57-67
33. Chaloupková, J.: Brúsenie-moderná výrobná a dokončovacia metóda. Dipl. práce, UJEP Ústí n.L., 1996
34. Chen, C.A., Duffie, N.A.: A Process Model of Spherical Grinding Tools for Automated Surface Finishing Processes. Manufacturing Engineering.: 2000 and Beyond, Freund Publishing, London, 1996, str.31-33
35. Jakubcová, H.: Elektrická měření neelektrických veličin. ČVUT, Praha 1983

36. Jenčík,J., Kühn,L. : Technická měření ve strojírenství. SNTL, Praha 1982
37. Jersák,J.: Matematické modelování kinematiky procesu broušení. KDP, VŠST, Liberec 1987
38. Jersák,J.: Orovňávání brousicích kotoučů polykrystalickými diamantovými orovnavači. Stroj. výroba, č.8-9/1992, str.12-14
39. Jevsejev,D.G.: Formirovanje svojstv poverchnostnych slojev pri abrazivnoj obrabotke. Šaratov, 1975
40. Lindsay,R.P.: Principles Of Grinding: Four Years Later. Grinding, Theory, Techniques and Troubleshooting, SME, Michigan 1982, str.42-50
41. Kocman,K.: Řezné podmínky pro rovinné broušení s aplikací na celostátní normativy. Stroj. výroba, č. 11/1986, str. 868-873
42. Kissoczy,Š.: Striedná hrúbka triesky pri brúsení. KDP, SVŠT,Bratislava 1962
43. Kissoczy, Š.: Vplyv sposobu orovnávania brúsneho kotúča na brúsny proces. Sborník vedeckých prác stroj. fakulty SVŠT, zväzok 5, Bratislava 1965, s. 45-49
44. Knop, M.: Rechnergeföhrte Stellgrößenauswahl beim Außenrundeinstechschleifen - Abrichteinfluss und Temperaturberechnung. Dr.-Ing.Diss., RWTH Aachen 1989
45. König, W., Cronjäger, L., Spur, G.: Machining of New Materials. CIRP Annals vol. 39/2/1990, str. 673-681
46. König, W., Arciszewski, A.: Continuous Dressing - Dressing Conditions Determine Material Removal Rates and Workpiece Quality. Annals of the CIRP, vol.37/1/1988, str.303-307
47. Kovacevic,R.,Liaw,H.H., Barrows,J.F.: Surface Roughness and its Relationship to Cutting Parameters in Abrasive Waterjet Cutting. The Proceeding Third International Grinding Conference, Fontana, October 1988, str. 589/1 - 589/15
48. Kysilka,J.: Vliv podmínek orovnání brousicího kotouče na výsledek broušení. Stroj. výroba, č.7/1985, str. 514-515
49. Lurje,G.B.: Šlifovanie metallov. Moskva, Mašinostrojenie 1969
50. Mádl,J.: Experimentální metody v teorii obrábění. ČVUT, Praha 1987
51. Maksoud,T.M.A.,Dean,C., Jones,T., Howes,T.D.: Theoretical and Experimental Investigation Into the Effect of Lateral Oscillation in Cylindrical Grinding. SME, Dearborn, 1988, str. 601/1 - 601/17
52. Malkin,S.: Comparison of Single Point and Rotary Dressing of Grinding Wheels. Grinding, Theory, Techniques and Troubleshooting, SME, Michigan 1982, str.130-136

53. Malkin,S.: Grinding of Metals : Theory and Application. Journal of Applied Metalworking, January 1984, str.95 - 109
54. Marinescu, I.D., Zeng, R.: Acoustic Emission Investigation of Ceramic Lapping Process. Proceedings IMEC'96, Storrs, 1996, str.65-69
55. Maslov, J.N.: Teorie broušení kovů. SNTL, Praha 1979
56. Mouka,E., Chladil,J. : Teorie obrábění. VUT, Brno 1989
57. Neckář,F., Kvasnička,I.: Vybrané statě z úběru materiálu. 1.vydání,ČVUT, Praha 1991
58. Novák,Z.,Bumbálek,B.: Broušení a jakost povrchu plazmaticky stříkaných povlaků. Sborník konference Brúsenie IV, Brno 1994, str.74-80
59. Němec, J.: Odpovorové tenzometry v praxi. SNTL, Praha 1967
60. Ondráček,E.,Janiček,P.: Výpočtové modely v technické praxi. SNTL, Praha 1990
61. Oštádal,B.: Broušení slitiny EI 698-D. Strojírenství č.9/1985, str.505-508
62. Oštádal,B.: Problematika stanovení řezivosti brousicích kotoučů. Stroj. výroba, č.7/1986, str. 556-557
63. Oštádal,B.: Využití diagramů broušení pro stanovení obrobitevnosti materiálu a řezivosti brousicích kotoučů. Strojírenství č.5/1985, str.298-303
64. Peklenik,J.:Contribution to a Correlation Theory for the Grinding Process. Transactions of the ASME, vol.86/1964, str.97-106
65. Příkryl,Z., Musílková,R.: Teorie obrábění. Třetí vydání. SNTL, Praha 1982
66. Noboru,U. Obuchi, Y., Matsuo, T., Nomura, H.: Expert System for Grinding. Proceeding Third International Grinding Conference, Fontana 1988, s. 622/1-11
67. Reinhold,R., Clausnitzer,M.: Schleifen. 1.vydání, VEB Verlag Technik, Berlin 1988
68. Roček,V.: Technologie rychlostního broušení do plna. Stroj.výroba, sv. 36/1988, č.2, s.149-152
69. Rowe,W.B., Chen, X., Mills,B.: Towards an Adaptive Strategy for Dressing in Grinding Operations. Proceedings of the 31st International Matador Conference
70. Rowe,W.B., Pettit, J.A., Boyle,A., Moruzzi, J.L.: Avoidance of Thermal Damage in Grinding and Prediction of the Damage Threshold. Annals of the CIRP, vol.37/1/1988, str.327-330
71. Rowe, W.B., Inasaki, I., Malkin, S.: Applications of Artificial Intelligence in Grinding. Annals of the CIRP, vol.43/2/1994, str.1-11

72. Říčka J.: Řezivost brusného nástroje jako funkce jeho stavu a podmínek broušení. Strojírenství, č.9/1971, str.540-545
73. Saljé, E., Paulmann, R.: Relations Between Abrasive Processes. Annals of the CIRP, vol.37/2/1988, str.641-648
74. Saljé, E.: Grinding Processes Considered as Feedback Control Systems. Annals of the CIRP, vol.17/1/1978, str.205-210
75. Saljé, E.: Gesetzmäßigkeiten und Kennzahlen beim Schleifen. Dr.-Ing.Diss., TH Aachen 1952
76. Snoeys,R.,Peters,J.,Decneut,A.: The Significance of Chip Thickness in Grinding. Annals of the CIRP, vol. 23/2/1974, str. 227-237
77. Šlesár,M., Vasilko,K.,Fyzikálno-metalurgické pohlady na proces tvorenia triesky. Strojírenství č.7/1988, str.426-431
78. Tiep,V.N.: Obrobiteľnosť kovových materiálov broušením. KDP, VŠST, Liberec 1984
79. Tönshoff, H.K., Peters, J., Inasaki, I., Paul, T.: Modelling and Simulation of Grinding Processes. Annals of the CIRP, vol.41/2/1992, str.677-688
80. Tönshoff, H.K., Wulfberg, J.P., Kals, H.J.J., König, W.: Developments and Trends in Monitoring and Control of Machining Processes. Annals of the CIRP, vol.37/2/1988, str.611-622
81. Tönshoff,H.K., Foth,M.: In - Process Detection and Reduction of Workpiece Waviness Caused by Vibrations in External Plunge Grinding. SME 620/1-620/15
82. Werner,G.: Influence of Work Material on Grinding Forces. Annals of the CIRP. Vol.:27/1/1978, str.243-248
83. Vasilko,K. a kol.: Brúsenie a ostrenie rezných nástrojov. Alfa, Bratislava 1984
84. Vasilko,K., Bokučava, G.: Brúsenie kovových materiálov. Alfa, Bratislava 1988
85. Venk,S.,Govind,R.: An Expert System Approach to Optimization of the Centerless Grinding Process. Annals of the CIRP, vol.39/1, 1990, s. 489-496
86. Verkerk,J.,Pekelharing, A.J.: Characterization of Wheelwear in Plunge Grinding. Annals of the CIRP, vol.25/1/1977, str.127-131
87. Yamamoto,Y., Horike,M.: A Study on the Temperature Variation of Workpieces during Cylindrical Plunge Grinding Process. Annals of the CIRP. Vol. 25/1/1977, str. 151-154
88. Yoshikawa,H., Peklenik,J.: Three-dimensional Simulation Techniques of the Grinding Process. Advances in Manufacturing Systems. Pergamon Press, 1971
89. Zehnula,K. : Snímače neelektrických veličin. SNTL,Praha 1977

90. Holešovský,F., Stančík,L.: Dosažení vysoké kvality povrchu při broušení ocelí tř.16 220. Výzkumná zpráva pro Desta a.s., UJEP Ústí nad Labem 1991
91. Holešovský,F., Stančík, L.: Vliv brousicího kotouče a řezných podmínek na drsnost povrchu při broušení válcových ploch. Strojírenská výroba č.11-12/1995, str.38-40
92. Holešovský,F.: Broušení ocelí kotouči  $\text{Al}_2\text{O}_3$  a monokrystalickým  $\text{Al}_2\text{O}_3$ . Přednáška mezinár.konference "Brúsenie IV", Brno 1994
93. Holešovský,F.: Broušení korozivzdorných ocelí tř.17. Technika a trh, č.2/1995, str.16-20
94. Holešovský,F.: Matematické modelování některých charakteristik broušení. Sborník mezinár.vědecké konference, Ostrava 1995, s.72-76
95. Holešovský,F.: Monitorování procesu broušení pro řízení pracovního cyklu. Sborník mezinár. vědecké konference, Košice 1996, str. 16-20
96. Holešovský,F.: The Grinding Process Mathematical Modelling and Expert System. Proceedings International Manufacturing Engineering Conference, Storrs 1996, str.50-52
97. Holešovský,F.: Význam časové závislosti řezné sily v procesu broušení. Strojírenská technologie č.1/1996, str.22-25
98. Katalog brousicích nástrojů Carborundum Electrite
99. Studer : Studer - Schleifdaten, katalog
100. Schaudt: Leitfaden der Schleiftechnik. Schaudt Maschinenbau GmbH, 1988
101. ČSN ISO 3002-1 až 3002-5

## PŘÍLOHY.

BROUSÍCÍ KOTOUČ

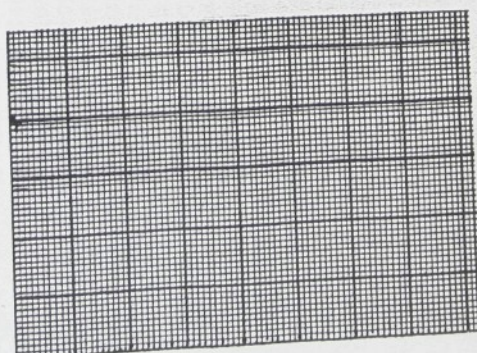
MATERIÁL OBROBKU

DRUH	
OZNAČENÍ	
OTÁCKY	min <sup>-1</sup>
PRUMĚR	mm
OROVNÁNÍ	mm
V <sub>s</sub>	m.s <sup>-1</sup>

MATERIÁL	
OTÁČKY	min <sup>-1</sup>
PŘÍSUV	mm. ot <sup>-1</sup>
ŠÍRKA VZORKU	mm
tvrdost	

## EXPERIMENT - NAMĚŘENÉ HODNOTY

### Průběh mikrotvrdoosti povrchové vrstvy :



## FILE: A50A

Fri Jan 31 1997 02:13:53 PM

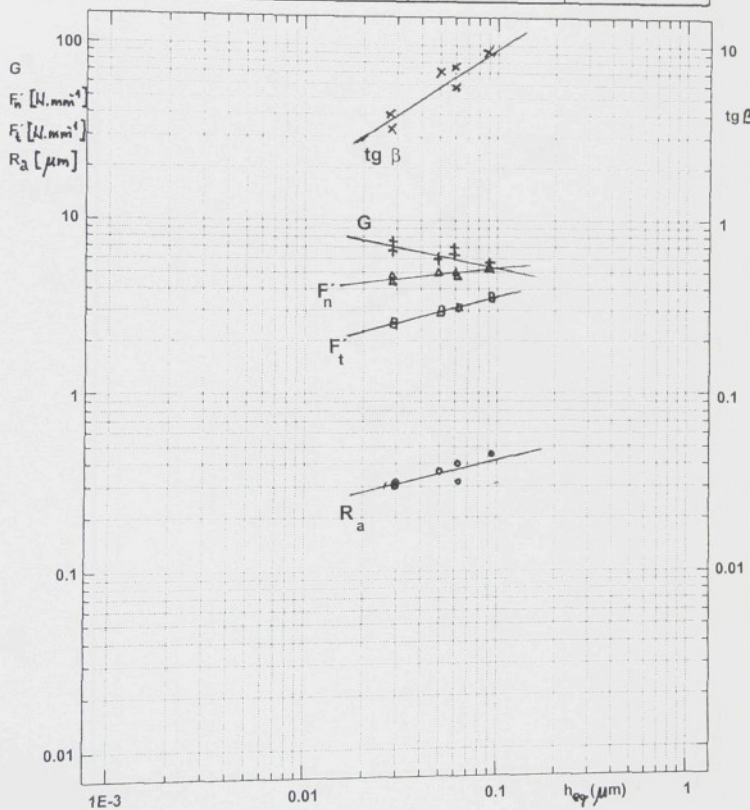
Row	bd	ds	dw	a	rs	vfr	Ra1	Ra2	Ra3	Rz1
1	15.0	289.760	62.40	1.00000E-1	6.00000E-4	.26	.22	.30	.33	1.66
2	15.0	289.759	62.20	1.00000E-1	4.50000E-4	.26	.27	.29	.37	2.09
3	15.0	289.758	62.00	1.00000E-1	4.50000E-4	.26	.28	.27	.27	2.22
4	15.0	289.757	61.80	1.00000E-1	5.00000E-4	.26	.26	.27	.29	2.07
5	15.1	288.340	61.10	1.00000E-1	6.00000E-3	.64	.36	.35	.33	2.55
6	15.1	288.328	60.90	1.00000E-1	4.50000E-3	.64	.34	.42	.41	2.53
7	15.1	288.319	60.70	1.50000E-1	5.00000E-3	.64	.31	.43	.41	2.28
8	15.1	288.309	60.40	2.00000E-1	4.50000E-3	.64	.35	.33	.43	2.52
9	15.0	284.360	61.10	1.00000E-1	6.00000E-3	.64	.30	.38	.41	2.53
10	15.0	284.348	60.90	1.50000E-1	5.00000E-3	.64	.40	.37	.40	2.78
11	15.0	284.338	60.60	2.00000E-1	5.00000E-3	.64	.44	.37	.38	3.13
12	15.0	284.328	60.20	2.00000E-1	5.00000E-3	.64	.37	.42	.42	2.52
13	15.1	284.060	58.60	5.00000E-2	1.00000E-3	.26	.30	.34	.37	2.29
14	15.1	284.058	58.50	1.50000E-1	2.00000E-3	.26	.34	.33	.31	2.55
15	15.1	284.054	58.20	1.50000E-1	1.50000E-3	.26	.30	.31	.35	2.09
16	15.1	284.051	57.90	1.50000E-1	1.50000E-3	.26	.29	.29	.34	2.05
17	15.0	283.760	59.80	7.50000E-2	1.50000E-3	.64	.34	.40	.32	3.22
18	15.0	283.757	59.65	1.00000E-1	1.50000E-3	.64	.35	.41	.36	2.70
19	15.0	283.754	59.45	1.50000E-1	2.00000E-3	.64	.35	.38	.35	2.42
20	15.0	283.750	59.15	2.00000E-1	2.50000E-3	.64	.37	.37	.37	2.61
21	15.1	283.460	57.60	7.50000E-2	5.00000E-3	.26	.31	.40	.28	2.49
22	15.1	283.450	57.45	7.50000E-2	4.00000E-3	.26	.31	.38	.29	2.26
23	15.1	283.442	57.30	7.50000E-2	3.50000E-3	.26	.30	.38	.33	2.15
24	15.1	283.435	57.15	1.50000E-1	4.00000E-3	.26	.32	.34	.32	2.16

12 050.4

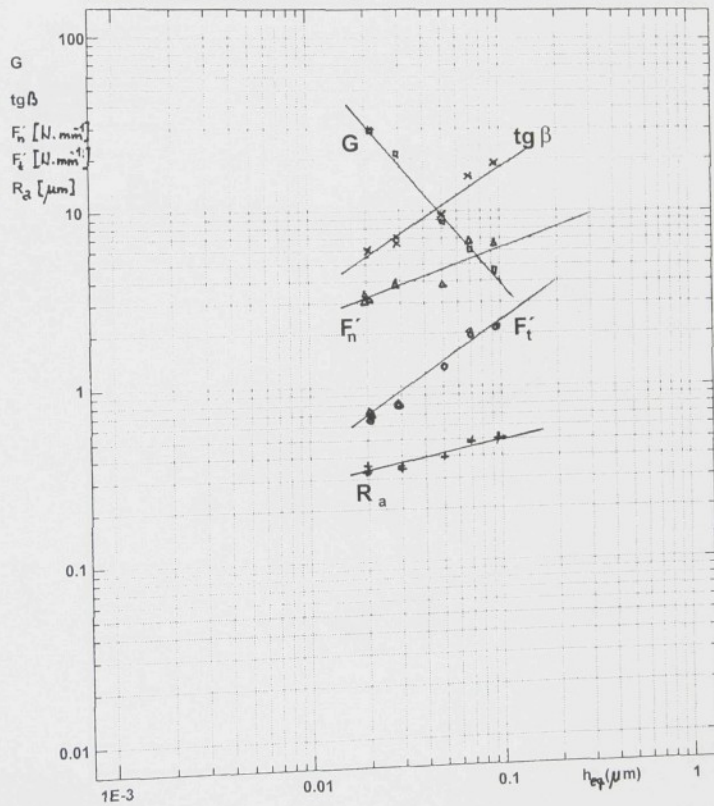
A99 100J 9V

 $E: 44.236 \text{ kN/mm}^2$  $d_1(\text{mm}): 283-286$  $d_2(\text{mm}): 58-62$  $d_3(\text{mm}): 48-50$  $b_2(\text{mm}): 15$  $v_s(\text{m/s}): 31-42$  $q: 33-104-132$  $V_a(\text{mm}): 430$ 

ROBOL 2%

 $Q_f (\text{l/min.mm}): 2$  $\theta_0(\text{mm/s}): 0.4$  $a_d(\mu\text{m}): 50+25$ 

17 027.0	A99 100J 9V	E: 44.236 kN/mm <sup>2</sup>
$d_s$ (mm): 288-291	$v_g$ (m/s): 32-42	ROBOL 2%
$d_d$ (mm): 63-66	q : 90-130	$V_g$ (mm <sup>3</sup> ): 0.4
$d_{dp}$ (mm): 52-55	$V_g$ (min.mm): 470	$a_g$ (l/min.mm): 2
$t_g$ (mm): 15.1		$a_g$ (μm): 50+25



12 050.1		A99 60M 8V	
$d_s$ (mm): 299	$v_s$ (m/s): 33-44		$E: 63.2 \text{ kN/mm}^2$
$d_w$ (mm): 56-58	$q$ : 112-145	ROBOL 2%	$U$ (mm/s): 0.4
$d_p$ (mm): 47-49	$V_w$ (mm $^3$ ): 540	$Q_f$ (l/min.mm): 2	$a_d$ ( $\mu\text{m}$ ): 50+25
$b_d$ (mm): 15			

